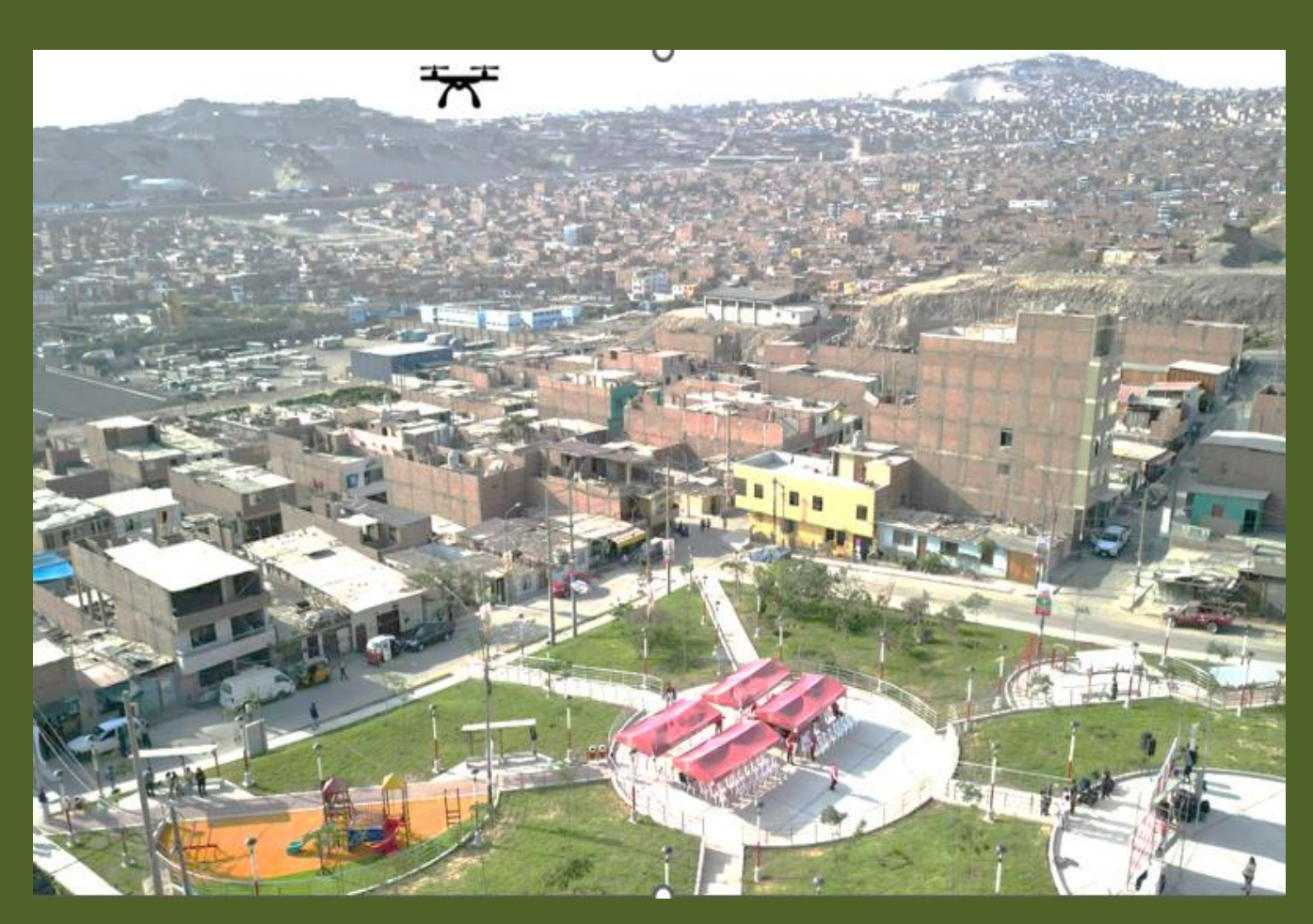


INFORME DE EVALUACIÓN DE RIESGOS POR SISMO EN EL ASENTAMIENTO HUMANO VIRGEN DE GUADALUPE, DISTRITO DE MI PERÙ, PROVINCIA CONSTITUCIONAL DEL CALLAO, REGIÓN CALLAO.





INFORME DE EVALUACIÓN DE RIESGOS POR DESLIZAMIENTO EN EL ASENTAMIENTO HUMANO VIRGEN DE GUADALUPE, PROVINCIA CONSTITUCIONAL DEL CALLAO

CONTENIDO

PRESENTACIÓNINTRODUCCIÓN	
CAPITULO I: ASPECTOS GENERALES	
1.1. OBJETIVO GENERAL	7
1.2. OBJETIVO ESPECIFICOS	7
1.3. FINALIDAD	
1.4. JUSTIFICACIÓN	
1.5. ANTECEDENTES	
1.6. MARCO NORMATIVO	8
CAPITULO II: CARACTERIZACION GENERALES DEL ÀREA DE ESTUDIO	
2.1. UBICACIÓN GEOGRÁFICA	
2.2. LIMITES	
2.3. VIAS DE ACCESO AL ÁREA DE ESTUDIO	
2.4. BASE TOPOGRÁFICA	
2.4.1. VUELO FOTOGRAMÉTRICO	
2.5. CARACTERISTICAS SOCIOECONÒMICAS DEL ÁREA DE ESTUDIO	
2.5.1. ASPECTOS SOCIALES	
2.5.1.1. VIVIENDA	
2.5.1.2. POBLACIÓN	
2.5.2. ASPECTOS ECONÓMICOS	
2.6. CARACTERISTICAS FÍSICAS DEL ÁREA DE ESTUDIO	
2.6.1. ASPECTOS FÍSICOS	24
2.6.2. CLIMA	
2.6.3. CARACTERISTICAS GEOLOGICAS	
2.6.4. CARACTERISTICAS GEOMORFOLOGICAS	29
2.6.5. PENDIENTE	
2.6.6. MICROZONIFICACIÓN SÍSMICA	32
CAPITULO III: DETERMINACIÓN DE PELIGRO	
3.1. METODOLOGÍA PARA LA DETERMINACIÓN DEL PELIGRO	34
3.2. RECOPILACIÓN Y ANÁLISIS DE INFORMACIÓN	
	35
3.3. IDENTIFICACIÓN DEL PELIGRO	
3.4. CARACTERIZACIÓN DEL PELIGRO	35 35
	35 35
3.4. CARACTERIZACIÓN DEL PELIGRO	35 35 37
3.4. CARACTERIZACIÓN DEL PELIGRO	35 37 40
3.4. CARACTERIZACIÓN DEL PELIGRO 3.5. CONDICIONES SISMICAS 3.6. INTENSIDADES SISMICAS 3.7. MAGNITUD DE SISMO EN LIMA 3.8. PELIGRO POR DESLIZAMIENTO	35 37 40 42
3.4. CARACTERIZACIÓN DEL PELIGRO 3.5. CONDICIONES SISMICAS 3.6. INTENSIDADES SISMICAS 3.7. MAGNITUD DE SISMO EN LIMA 3.8. PELIGRO POR DESLIZAMIENTO 3.8.1. PARAMETROS DEL PELIGRO	35 35 37 40 42 42
3.4. CARACTERIZACIÓN DEL PELIGRO 3.5. CONDICIONES SISMICAS 3.6. INTENSIDADES SISMICAS 3.7. MAGNITUD DE SISMO EN LIMA 3.8. PELIGRO POR DESLIZAMIENTO 3.8.1. PARAMETROS DEL PELIGRO 3.8.2. PONDERACIÓN DE LOS PARAMETROS DE PELIGRO	35 37 40 42 42 42
3.4. CARACTERIZACIÓN DEL PELIGRO 3.5. CONDICIONES SISMICAS 3.6. INTENSIDADES SISMICAS 3.7. MAGNITUD DE SISMO EN LIMA 3.8. PELIGRO POR DESLIZAMIENTO 3.8.1. PARAMETROS DEL PELIGRO 3.8.2. PONDERACIÓN DE LOS PARAMETROS DE PELIGRO 3.8.3. PARAMETROS DE EVALUACIÓN	35 37 40 42 42 43
3.4. CARACTERIZACIÓN DEL PELIGRO 3.5. CONDICIONES SISMICAS 3.6. INTENSIDADES SISMICAS 3.7. MAGNITUD DE SISMO EN LIMA 3.8. PELIGRO POR DESLIZAMIENTO 3.8.1. PARAMETROS DEL PELIGRO 3.8.2. PONDERACIÓN DE LOS PARAMETROS DE PELIGRO 3.8.3. PARAMETROS DE EVALUACIÓN 3.8.4. SUSCEPTIBILIDAD DEL TERRITORIO	35 37 40 42 42 42 43 43
3.4. CARACTERIZACIÓN DEL PELIGRO 3.5. CONDICIONES SISMICAS 3.6. INTENSIDADES SISMICAS 3.7. MAGNITUD DE SISMO EN LIMA 3.8. PELIGRO POR DESLIZAMIENTO 3.8.1. PARAMETROS DEL PELIGRO 3.8.2. PONDERACIÓN DE LOS PARAMETROS DE PELIGRO 3.8.3. PARAMETROS DE EVALUACIÓN 3.8.4. SUSCEPTIBILIDAD DEL TERRITORIO 3.8.4.1. ANALISIS DEL FACTOR DESENCADENANTE	35 37 40 42 42 43 43 44
3.4. CARACTERIZACIÓN DEL PELIGRO 3.5. CONDICIONES SISMICAS 3.6. INTENSIDADES SISMICAS 3.7. MAGNITUD DE SISMO EN LIMA 3.8. PELIGRO POR DESLIZAMIENTO 3.8.1. PARAMETROS DEL PELIGRO 3.8.2. PONDERACIÓN DE LOS PARAMETROS DE PELIGRO 3.8.3. PARAMETROS DE EVALUACIÓN 3.8.4. SUSCEPTIBILIDAD DEL TERRITORIO 3.8.4.1. ANALISIS DEL FACTOR DESENCADENANTE 3.8.4.2. ANALISIS DE LOS FACTORES CONDICIONANTES	35 37 40 42 42 43 43 44 44
3.4. CARACTERIZACIÓN DEL PELIGRO 3.5. CONDICIONES SISMICAS 3.6. INTENSIDADES SISMICAS 3.7. MAGNITUD DE SISMO EN LIMA 3.8. PELIGRO POR DESLIZAMIENTO 3.8.1. PARAMETROS DEL PELIGRO 3.8.2. PONDERACIÓN DE LOS PARAMETROS DE PELIGRO 3.8.3. PARAMETROS DE EVALUACIÓN 3.8.4. SUSCEPTIBILIDAD DEL TERRITORIO 3.8.4.1. ANALISIS DEL FACTOR DESENCADENANTE 3.8.4.2. ANALISIS DE LOS FACTORES CONDICIONANTES 3.8.4.3. ANALISIS DE LOS PARAMETROS DE LOS FACTORES CONDICIONANTES	35 37 40 42 42 43 43 44 44 45
3.4. CARACTERIZACIÓN DEL PELIGRO. 3.5. CONDICIONES SISMICAS 3.6. INTENSIDADES SISMICAS 3.7. MAGNITUD DE SISMO EN LIMA. 3.8. PELIGRO POR DESLIZAMIENTO. 3.8.1. PARAMETROS DEL PELIGRO. 3.8.2. PONDERACIÓN DE LOS PARAMETROS DE PELIGRO 3.8.3. PARAMETROS DE EVALUACIÓN 3.8.4. SUSCEPTIBILIDAD DEL TERRITORIO. 3.8.4.1. ANALISIS DEL FACTOR DESENCADENANTE. 3.8.4.2. ANALISIS DE LOS PARAMETROS DE LOS FACTORES CONDICIONANTES 3.8.4.3. ANALISIS DE LOS PARAMETROS DE LOS FACTORES CONDICIONANTES. 3.9. DEFINICIÓN DEL ESCENARIO.	35 37 40 42 42 43 43 44 45 48
3.4. CARACTERIZACIÓN DEL PELIGRO. 3.5. CONDICIONES SISMICAS 3.6. INTENSIDADES SISMICAS. 3.7. MAGNITUD DE SISMO EN LIMA. 3.8. PELIGRO POR DESLIZAMIENTO. 3.8.1. PARAMETROS DEL PELIGRO. 3.8.2. PONDERACIÓN DE LOS PARAMETROS DE PELIGRO 3.8.3. PARAMETROS DE EVALUACIÓN 3.8.4. SUSCEPTIBILIDAD DEL TERRITORIO. 3.8.4.1. ANALISIS DEL FACTOR DESENCADENANTE. 3.8.4.2. ANALISIS DE LOS FACTORES CONDICIONANTES 3.8.4.3. ANALISIS DE LOS PARAMETROS DE LOS FACTORES CONDICIONANTES. 3.9. DEFINICIÓN DEL ESCENARIO. 3.10. NIVELES DE PELIGRO.	35 37 40 42 42 43 43 44 45 48 48
3.4. CARACTERIZACIÓN DEL PELIGRO. 3.5. CONDICIONES SISMICAS 3.6. INTENSIDADES SISMICAS 3.7. MAGNITUD DE SISMO EN LIMA. 3.8. PELIGRO POR DESLIZAMIENTO. 3.8.1. PARAMETROS DEL PELIGRO. 3.8.2. PONDERACIÓN DE LOS PARAMETROS DE PELIGRO 3.8.3. PARAMETROS DE EVALUACIÓN 3.8.4. SUSCEPTIBILIDAD DEL TERRITORIO. 3.8.4.1. ANALISIS DEL FACTOR DESENCADENANTE. 3.8.4.2. ANALISIS DE LOS PARAMETROS DE LOS FACTORES CONDICIONANTES 3.8.4.3. ANALISIS DE LOS PARAMETROS DE LOS FACTORES CONDICIONANTES. 3.9. DEFINICIÓN DEL ESCENARIO.	35 37 40 42 42 43 43 44 45 48 48 48
3.4. CARACTERIZACIÓN DEL PELIGRO. 3.5. CONDICIONES SISMICAS 3.6. INTENSIDADES SISMICAS 3.7. MAGNITUD DE SISMO EN LIMA. 3.8. PELIGRO POR DESLIZAMIENTO. 3.8.1. PARAMETROS DEL PELIGRO. 3.8.2. PONDERACIÓN DE LOS PARAMETROS DE PELIGRO. 3.8.3. PARAMETROS DE EVALUACIÓN. 3.8.4. SUSCEPTIBILIDAD DEL TERRITORIO. 3.8.4.1. ANALISIS DEL FACTOR DESENCADENANTE. 3.8.4.2. ANALISIS DE LOS FACTORES CONDICIONANTES. 3.8.4.3. ANALISIS DE LOS PARAMETROS DE LOS FACTORES CONDICIONANTES. 3.9. DEFINICIÓN DEL ESCENARIO. 3.10. NIVELES DE PELIGRO. 3.11. ESTRATIFICACIÓN DEL NIVEL DE PELIGRO 3.12. ANALISIS DE ELEMENTOS EXPUESTOS.	35 37 40 42 42 43 43 44 45 48 48 48
3.4. CARACTERIZACIÓN DEL PELIGRO 3.5. CONDICIONES SISMICAS 3.6. INTENSIDADES SISMICAS 3.7. MAGNITUD DE SISMO EN LIMA 3.8. PELIGRO POR DESLIZAMIENTO 3.8.1. PARAMETROS DEL PELIGRO 3.8.2. PONDERACIÓN DE LOS PARAMETROS DE PELIGRO 3.8.3. PARAMETROS DE EVALUACIÓN 3.8.4. SUSCEPTIBILIDAD DEL TERRITORIO 3.8.4.1. ANALISIS DEL FACTOR DESENCADENANTE 3.8.4.2. ANALISIS DE LOS FACTORES CONDICIONANTES 3.8.4.3. ANALISIS DE LOS PARAMETROS DE LOS FACTORES CONDICIONANTES 3.9. DEFINICIÓN DEL ESCENARIO 3.10. NIVELES DE PELIGRO 3.11. ESTRATIFICACIÓN DEL NIVEL DE PELIGRO 3.12. ANALISIS DE LEMENTOS EXPUESTOS.	35 37 40 42 42 43 44 45 48 48 49 51
3.4. CARACTERIZACIÓN DEL PELIGRO 3.5. CONDICIONES SISMICAS 3.6. INTENSIDADES SISMICAS 3.7. MAGNITUD DE SISMO EN LIMA 3.8. PELIGRO POR DESLIZAMIENTO 3.8.1. PARAMETROS DEL PELIGRO 3.8.2. PONDERACIÓN DE LOS PARAMETROS DE PELIGRO 3.8.3. PARAMETROS DE EVALUACIÓN 3.8.4. SUSCEPTIBILIDAD DEL TERRITORIO 3.8.4.1. ANALISIS DEL FACTOR DESENCADENANTE 3.8.4.2. ANALISIS DE LOS FACTORES CONDICIONANTES 3.8.4.3. ANALISIS DE LOS PARAMETROS DE LOS FACTORES CONDICIONANTES 3.9. DEFINICIÓN DEL ESCENARIO 3.10. NIVELES DE PELIGRO 3.11. ESTRATIFICACIÓN DEL NIVEL DE PELIGRO 3.12. ANALISIS DE ELEMENTOS EXPUESTOS. CAPITULO IV: ANÁLISIS DE LA VULNERABILIDAD 4.1. METODOLOGIÍA PARA EL ANÁLISIS DE LA VULNERABILIDAD	35 37 40 42 42 43 43 44 45 48 48 49 51
3.4. CARACTERIZACIÓN DEL PELIGRO 3.5. CONDICIONES SISMICAS 3.6. INTENSIDADES SISMICAS 3.7. MAGNITUD DE SISMO EN LIMA 3.8. PELIGRO POR DESLIZAMIENTO 3.8.1. PARAMETROS DEL PELIGRO 3.8.2. PONDERACIÓN DE LOS PARAMETROS DE PELIGRO 3.8.3. PARAMETROS DE EVALUACIÓN 3.8.4. SUSCEPTIBILIDAD DEL TERRITORIO 3.8.4.1. ANALISIS DEL FACTOR DESENCADENANTE 3.8.4.2. ANALISIS DE LOS FACTORES CONDICIONANTES 3.8.4.3. ANALISIS DE LOS PARAMETROS DE LOS FACTORES CONDICIONANTES 3.9. DEFINICIÓN DEL ESCENARIO 3.10. NIVELES DE PELIGRO 3.11. ESTRATIFICACIÓN DEL NIVEL DE PELIGRO 3.12. ANALISIS DE LEMENTOS EXPUESTOS.	35 37 40 42 42 43 43 44 45 48 48 48 49 51
3.4. CARACTERIZACIÓN DEL PELIGRO. 3.5. CONDICIONES SISMICAS. 3.6. INTENSIDADES SISMICAS. 3.7. MAGNITUD DE SISMO EN LIMA. 3.8. PELIGRO POR DESLIZAMIENTO. 3.8.1. PARAMETROS DEL PELIGRO. 3.8.2. PONDERACIÓN DE LOS PARAMETROS DE PELIGRO 3.8.3. PARAMETROS DE EVALUACIÓN. 3.8.4. SUSCEPTIBILIDAD DEL TERRITORIO. 3.8.4.1. ANALISIS DEL FACTOR DESENCADENANTE. 3.8.4.2. ANALISIS DE LOS FACTORES CONDICIONANTES. 3.8.4.3. ANALISIS DE LOS PARAMETROS DE LOS FACTORES CONDICIONANTES. 3.9. DEFINICIÓN DEL ESCENARIO. 3.10. NIVELES DE PELIGRO. 3.11. ESTRATIFICACIÓN DEL NIVEL DE PELIGRO 3.12. ANALISIS DE ELEMENTOS EXPUESTOS. CAPITULO IV: ANÁLISIS DE LA VULNERABILIDAD 4.1. METODOLOGIÍA PARA EL ANÁLISIS DE LA VULNERABILIDAD. 4.2. ANALISIS DE LA DIMENSIÒN SOCIAL	35 37 40 42 42 43 43 44 45 48 48 48 49 51
3.4. CARACTERIZACIÓN DEL PELIGRO 3.5. CONDICIONES SISMICAS 3.6. INTENSIDADES SISMICAS 3.7. MAGNITUD DE SISMO EN LIMA 3.8. PELIGRO POR DESLIZAMIENTO 3.8.1. PARAMETROS DEL PELIGRO 3.8.2. PONDERACIÓN DE LOS PARAMETROS DE PELIGRO 3.8.3. PARAMETROS DE EVALUACIÓN 3.8.4. SUSCEPTIBILIDAD DEL TERRITORIO 3.8.4.1. ANALISIS DEL FACTOR DESENCADENANTE 3.8.4.2. ANALISIS DEL SACTORES CONDICIONANTES 3.8.4.3. ANALISIS DE LOS FACTORES CONDICIONANTES 3.8.4.3. ANALISIS DE LOS PARAMETROS DE LOS FACTORES CONDICIONANTES 3.9. DEFINICIÓN DEL ESCENARIO 3.10. NIVELES DE PELIGRO 3.11. ESTRATIFICACIÓN DEL NIVEL DE PELIGRO 3.12. ANALISIS DE ELEMENTOS EXPUESTOS. CAPITULO IV: ANÁLISIS DE LA VULNERABILIDAD 4.1. METODOLOGIÍA PARA EL ANÁLISIS DE LA VULNERABILIDAD 4.2. ANALISIS DE LA DIMENSIÒN SOCIAL 4.2.1. ANÁLISIS DE LA FRAGILIDAD SOCIAL	35 37 40 42 42 43 43 44 45 48 48 48 49 51
3.4. CARACTERIZACIÓN DEL PELIGRO. 3.5. CONDICIONES SISMICAS. 3.6. INTENSIDADES SISMICAS. 3.7. MAGNITUD DE SISMO EN LIMA. 3.8. PELIGRO POR DESLIZAMIENTO. 3.8.1. PARAMETROS DEL PELIGRO. 3.8.2. PONDERACIÓN DE LOS PARAMETROS DE PELIGRO 3.8.3. PARAMETROS DE EVALUACIÓN. 3.8.4. SUSCEPTIBILIDAD DEL TERRITORIO. 3.8.4.1. ANALISIS DEL FACTOR DESENCADENANTE. 3.8.4.2. ANALISIS DE LOS FACTORES CONDICIONANTES. 3.8.4.3. ANALISIS DE LOS PARAMETROS DE LOS FACTORES CONDICIONANTES. 3.9. DEFINICIÓN DEL ESCENARIO. 3.10. NIVELES DE PELIGRO. 3.11. ESTRATIFICACIÓN DEL NIVEL DE PELIGRO 3.12. ANALISIS DE LEMENTOS EXPUESTOS. CAPITULO IV: ANÁLISIS DE LA VULNERABILIDAD 4.1. METODOLOGIÍA PARA EL ANÁLISIS DE LA VULNERABILIDAD 4.2. ANALISIS DE LA DIMENSIÒN SOCIAL 4.2.1. ANÁLISIS DE LA RESILENCIA SOCIAL	35 37 40 42 42 43 43 44 45 48 48 49 51
3.4. CARACTERIZACIÓN DEL PELIGRO 3.5. CONDICIONES SISMICAS 3.6. INTENSIDADES SISMICAS 3.7. MAGNITUD DE SISMO EN LIMA 3.8. PELIGRO POR DESLIZAMIENTO 3.8.1. PARAMETROS DEL PELIGRO 3.8.2. PONDERACIÓN DE LOS PARAMETROS DE PELIGRO 3.8.3. PARAMETROS DE EVALUACIÓN 3.8.4. SUSCEPTIBILIDAD DEL TERRITORIO 3.8.4.1. ANALISIS DEL FACTOR DESENCADENANTE 3.8.4.2. ANALISIS DE LOS FACTORES CONDICIONANTES 3.8.4.3. ANALISIS DE LOS PARAMETROS DE LOS FACTORES CONDICIONANTES 3.9. DEFINICIÓN DEL ESCENARIO 3.10. NIVELES DE PELIGRO 3.11. ESTRATIFICACIÓN DEL NIVEL DE PELIGRO 3.12. ANALISIS DE LOS HACTORES CONDICIONANTES CAPITULO IV: ANÁLISIS DE LA VULNERABILIDAD 4.1. METODOLOGIÍA PARA EL ANÁLISIS DE LA VULNERABILIDAD 4.2. ANALISIS DE LA FRAGILIDAD SOCIAL 4.2.1. ANÁLISIS DE LA FRAGILIDAD SOCIAL 4.3. ANALISIS DE LA DIMENSIÒN SOCIAL 4.3. ANALISIS DE LA PERAGILIDAD SOCIAL 4.3. ANALISIS DE LA PERAGILIDAD SOCIAL 4.3. ANALISIS DE LA PERAGILIDAD SOCIAL 4.3. ANÁLISIS DE LA PERAGILIDAD ECONÓMICA 4.3.1. ANÁLISIS DE LA PRAGILIDAD ECONÓMICA	35 35 40 42 43 43 44 45 48 48 49 51
3.4. CARACTERIZACIÓN DEL PELIGRO 3.5. CONDICIONES SISMICAS 3.6. INTENSIDADES SISMICAS 3.7. MAGNITUD DE SISMO EN LIMA 3.8. PELIGRO POR DESLIZAMIENTO 3.8.1. PARAMETROS DEL PELIGRO 3.8.2. PONDERACIÓN DE LOS PARAMETROS DE PELIGRO 3.8.3. PARAMETROS DE EVALUACIÓN 3.8.4. SUSCEPTIBILIDAD DEL TERRITORIO 3.8.4.1. ANALISIS DEL FACTOR DESENCADENANTE 3.8.4.2. ANALISIS DE LOS FACTORES CONDICIONANTES 3.8.4.3. ANALISIS DE LOS PARAMETROS DE LOS FACTORES CONDICIONANTES 3.9. DEFINICIÓN DEL ESCENARIO 3.10. NIVELES DE PELIGRO 3.11. ESTRATIFICACIÓN DEL NIVEL DE PELIGRO 3.12. ANALISIS DE LEMENTOS EXPUESTOS CAPITULO IV: ANÁLISIS DE LA VULNERABILIDAD 4.1. METODOLOGIÍA PARA EL ANÁLISIS DE LA VULNERABILIDAD 4.2. ANALISIS DE LA DIMENSIÓN SOCIAL 4.2.1. ANÁLISIS DE LA PRAGILIDAD SOCIAL 4.2.2. ANÁLISIS DE LA RESILENCIA SOCIAL 4.3. ANALISIS DE LA DIMENSION ECONÓMICA 4.3.1. ANÁLISIS DE LA EXPOSICIÓN ECONÓMICA	35 35 40 42 43 43 44 45 48 48 49 51



INFORME DE EVALUACIÓN DE RIESGOS POR DESLIZAMIENTO EN EL ASENTAMIENTO HUMANO VIRGEN DE GUADALUPE, PROVINCIA CONSTITUCIONAL DEL CALLAO

4.4.1. ANALISIS DE LA EXPOSICIÓN AMBIENTAL	70
4.4.2. ANALISIS DE LA FRAGILIDAD AMBIENTA	66
4.4.3. ANALISIS DE LA RESILIENCIA AMBIENTAL	
4.5. ANALISIS DE LA DIMENSIÓN AMBIENTAL	
4.5.1. ANALISIS DE LA EXPOSICIÓN AMBIENTAL	
4.5.2. ANALISIS DE LA FRAGILIDAD AMBIENTAL	71
4.5.3. ANALISIS DE LA RESILIENCIA AMBIENTAL	
4.6. NIVEL DE VULNERABILIDAD	
4.7. ESTRATIFICACIÓN DE LA VULNERABILIDAD ANTE DESLIZAMIENTO	
4.8. ESTRATIFICACIÓN DE LA VULNERABILIDAD ANTE CAIDA DE ROCAS	74
CAPITULO V: DETERMINACIÓN DEL RIESGO	
5.1. METODOLOGÍA PARA LA DETERMINACIÓN DE LOS NIVELES DE RIESGO	
5.2. DETERMINACIÓN DE LOS NIVELES DE RIESGO	
5.2.1. NIVELES DE RIESGO	
5.2.2. MATRIZ DE RIESGO	
5.2.3. ESTRATIFICACIÓN DEL NIVEL DEL RIESGO	
5.3. CALCULO DE POSIBLES PERDIDAS	
5.4. MEDIDAS DE PREVENCIÓN Y REDUCCIÓN DEL RIESGO	
5.4.1. DE ORDEN ESTRUCTURAL	
5.4.2. DE ORDEN NO ESTRUCTURAL	87
CARITURO VIL CONTROL DEL DIFECCO	
CAPITULO VI: CONTROL DEL RIESGO 6.1. ACEPTABILIDAD O TOLERANCIA DEL RIESGO	-
6.1. ACEPTABILIDAD O TOLERANCIA DEL RIESGO	90
CAPITULO VII: CONCLUSIONES Y RECOMENDACIONES	
7.1. CONCLUSIONES	04
7.1. CONCLOSIONES	
7.2.1. MEDIDAS ESTRUCTURALES	
7.2.1.1. DE ORDEN ESTRUCTURAL	
7.2.1.2. ANTE LLUVIAS	
7.2.1.Z. ANTE LLUVIAS	
BIBLIOGRAFÍA	
DIBLIOGRAFIA	5/







PRESENTACIÓN

El Perú, debido a su compleja y accidentada geografía, está expuesto a múltiples peligros naturales como sismos, tsunamis, deslizamientos, caída de rocas e inundaciones. Estos fenómenos representan una amenaza constante para una población altamente vulnerable, y su materialización puede ocasionar pérdidas humanas, afectaciones a la salud pública, daños al medio ambiente y significativas pérdidas económicas.

En el análisis del área de estudio se identificaron diversos peligros de origen natural que podrían impactar negativamente la zona. Cabe destacar que el territorio peruano se encuentra ubicado en el denominado Cinturón de Fuego del Pacífico, una de las regiones de mayor actividad sísmica y volcánica en el mundo. Esta situación se debe al proceso de subducción de la Placa de Nazca (placa oceánica) debajo de la Placa Sudamericana (placa continental), fenómeno conocido como convergencia de placas.

Dicho proceso genera sismos de distintas magnitudes y profundidades. Aquellos de mayor magnitud e intensidad representan una amenaza considerable para la integridad física de la población, así como para la infraestructura urbana, servicios básicos y el desarrollo económico del país.

El presente informe de Evaluación del Riesgo por Fenómenos de Origen Natural tiene como finalidad analizar el peligro sísmico potencial en el área de estudio, identificando los impactos que podrían derivarse de este evento, especialmente en contextos donde existe una notoria ausencia de medidas preventivas o de mitigación. Esta situación incrementa la vulnerabilidad de la población y compromete la estabilidad física del entorno, afectando tanto a las personas como a sus medios de vida.

En ese sentido, es fundamental incorporar medidas estructurales de carácter civil que contribuyan a reducir los niveles de exposición y mejorar la capacidad de respuesta frente a un evento sísmico. Para ello, el análisis y las recomendaciones presentadas en este informe se desarrollan tomando como referencia la metodología del "Manual para la Evaluación del Riesgo Originado por Fenómenos Naturales" – Segunda Versión, documento técnico que orienta la identificación, análisis y evaluación de los peligros naturales y sus efectos sobre el entorno físico y social.

El Gobierno Regional del Callao, dentro de su injerencia realiza la contratación para la elaboración del presente Informe de Evaluación del Riesgo, el cual constituye un procedimiento técnico para realizar el estudio de la evaluación de riesgo en el AA. HH Virgen de Guadalupe; así como analizar la vulnerabilidad y determinar los niveles de riesgos ante la ocurrencia de peligros de origen natural; así como la identificación de las medidas de prevención y reducción del riesgo de desastres.









Asimismo, se informa que, en base a la inspección de campo realizada en las inmediaciones del A.A.HH. Virgen de Guadalupe, los días 15 y 20 de junio, así como al análisis de información y productos técnicos disponibles —entre ellos, mapas geológicos, mapas geomorfológicos, mapas de pendientes y mapas de microzonificación sísmica— se ha desarrollado el presente Informe de Evaluación del Riesgo. Estos insumos constituyen la base técnica fundamental para el análisis de peligros y la identificación de escenarios de riesgo en la zona.

De acuerdo con lo establecido en el Reglamento de la Ley N.º 29664 del Sistema Nacional de Gestión del Riesgo de Desastres (SINAGERD), aprobado mediante el Decreto Supremo N.º 048-2011-PCM y actualizado por el D.S. N.º 060-2024-PCM, los gobiernos regionales y locales tienen la responsabilidad de identificar el nivel de riesgo existente dentro de sus respectivas jurisdicciones. En ese marco, deben aplicar medidas de gestión del riesgo, tanto correctivas como preventivas, con un enfoque de permanencia e integralidad, incorporándolas en los procesos de desarrollo e inversión pública y privada.







INTRODUCCIÓN

La Gerencia Regional de Defensa Nacional, Defensa Civil y Seguridad Ciudadana del Gobierno Regional del Callao, en el marco de su compromiso con la gestión del riesgo de desastres, viene desarrollando estudios técnicos y ejecutando obras orientadas a fortalecer los procesos de prevención, reducción y respuesta ante emergencias. Estas acciones buscan traducir dicha misión en intervenciones concretas que contribuyan a mejorar las condiciones de vida de la población, especialmente en zonas de alta vulnerabilidad.

El territorio Peruano se encuentra expuesto a diversos eventos geodinámicos internos y externos, debido a los factores condicionantes como la geología, pendiente, geomorfología, y microzonificación sísmica del terreno que presenta un área geográfica, y los factores determinantes que los originan (sismicidad, precipitaciones pluviales y actividades inducidas por la acción humana), pudiendo generar los denominados peligros naturales, los cuales generan impactos significativos y daños en las poblaciones e infraestructura física, así como en las actividades productivas y medios de vida. Estos procesos generan o construyen desastres, principalmente relacionados al asentamiento de la población, otro problema que afecta a la población es la contaminación ambiental por el uso de suelo destinado a canteras y otra a zonas industriales. En la zona de estudio se evidencia infraestructuras autoconstruidas y ocupación no planificada del territorio y con problemas de uso del suelo, volviendo cada vez más frágil en la construcción de las edificaciones producto de la informalidad e improvisación de poblaciones y la falta de conocimiento sobre la importancia en la Prevención y Reducción del Riesgo de Desastres.

Asimismo, se hace mención que, en base al escenario que presenta por sismo y al factor desencadenante de la magnitud del sismo la información fue tomada del Instituto Geofísico del Perú en el año 2020; indican que, en la Provincia Constitucional del Callao podría ocurrir un sismo de magnitud igual o mayor a 8.5 Mw. En base a estudios realizados usando datos de GPS muestran la presencia de áreas de acoplamiento sísmico máximo o aspereza sobre la superficie de fricción entre las placas de Nazca y Sudamericana, coincidiendo su ubicación con las áreas de ausencia de sismicidad, las cuales se sitúan frente al departamento de Lima, la aspereza tiene un área de 400x150 km2, cuyo desplazamiento a producirse y la energía a liberarse podría dar origen a un sismo con magnitud igual o mayor a 8.5 Mw. Considerando las características de este sismo probable, se ha elaborado el presente Informe de Evaluación de riesgos, a fin de identificar las posibles áreas a ser afectadas.

La ocurrencia de los desastres es uno de los factores que mayor destrucción causa debido a la ausencia de medidas y/o acciones que puedan garantizar las condiciones de estabilidad física en su hábitat.

CPSeo-Velera fracerta Proppie Sancza IMPresa Evaluador de Resigos R J Nº 141-2021 CENEPREDIA



INFORME DE EVALUACIÓN DE RIESGOS POR SISMO EN EL ASENTAMIENTO HUMANO VIRGEN DE GUADALUPE DISTRITO DE MI PERÙ, PROVINCIA CONSTITUCIONAL DEL CALLAO

Se ha elaborado el presente informe a fin de identificar ante la ocurrencia del escenario sísmico en mención; el cual comprende la determinación del peligro, en el cual se identifica el área de influencia en función a sus factores condicionantes y desencadenante para la definición de sus niveles, representados en el mapa de peligro. Además, comprende el análisis de la vulnerabilidad de la infraestructura la dimensiones social, económica y ambiental. Cada dimensión de la vulnerabilidad se evalúa con sus respectivos factores: exposición, fragilidad y resiliencia, para definir los niveles de vulnerabilidad y mapa respectivo.

Posteriormente, se desarrolla el procedimiento para el cálculo del riesgo, el cual permite determinar el nivel de riesgo asociado al escenario sísmico en las inmediaciones del A.A.HH. Virgen de Guadalupe. Como parte de este análisis, se elabora el mapa de riesgo, resultado de la evaluación conjunta del peligro y la vulnerabilidad. Asimismo, se realiza la evaluación del control del riesgo, con el fin de determinar su aceptabilidad o tolerancia.

Finalmente, el presente informe servirá como base técnica para la identificación e implementación de medidas de prevención y reducción del riesgo, orientadas a mitigar la vulnerabilidad de la población asentada en zonas altamente susceptibles a la ocurrencia de sismos.







CAPITULO I: ASPECTOS GENERALES







CAPITULO I: ASPECTOS GENERALES

1.1. OBJETIVO GENERAL

Determinar el nivel de riesgo por sismo en el A.A.HH. Virgen de Guadalupe, distrito de Mi Perú, Provincia Constitucional del Callao, considerando un escenario de gran magnitud (8.0 a 9.0 Mw) originado por la liberación de energía debido al proceso de subducción entre las placas de Nazca y Sudamericana.

1.2. OBJETIVOS ESPECÍFICOS

- Realizar la caracterización social, económica y ambiental de la zona de estudio.
- Identificar y establecer los niveles de peligro existente en la zona de estudio y elaborar el mapa de peligros respectivo.
- Analizar y establecer los niveles de vulnerabilidad que presenta la zona de estudio y elaborar el mapa de vulnerabilidad respectivo.
- Analizar y establecer los niveles de riesgo que presenta la zona de estudio y elaborar el mapa de riesgo respectivo.
- Formular medidas estructurales y no estructurales identificadas como parte de este estudio orientadas a la reducción del riesgo de desastre por deslizamiento en la zona de estudio.

1.3. **FINALIDAD**

Elaborar un documento técnico que oriente a la población y autoridades locales y regionales en el marco de la Ley SINAGERD, la Política Nacional de GRD al 2050 y la Política de estado N° 32, cuyo fin es salvaguardar a la población y sus medios de vida facilitando la toma de decisiones para la prevención y reducción de riesgos de desastres mediante procesos de planificación estratégica y articulada.

1.4. **JUSTIFICACIÓN**

El escaso conocimiento sobre la gestión del riesgo ante fenómenos naturales incide negativamente en el área de estudio, principalmente debido a la alta exposición de la población a peligros como los sismos. Por esta razón, resulta fundamental caracterizar los peligros naturales a los que están expuestos tanto la población como la infraestructura pública, así como estimar los niveles de riesgo asociados, con el objetivo de generar información técnica que contribuya eficazmente a la gestión del riesgo de desastres.







INFORME DE EVALUACIÓN DE RIESGOS POR SISMO EN EL ASENTAMIENTO HUMANO VIRGEN DE GUADALUPE DISTRITO DE MI PERÙ, PROVINCIA CONSTITUCIONAL DEL CALLAO

Cabe señalar que el área de estudio se encuentra ubicada en el distrito del Callao, considerado una de las zonas con mayor actividad sísmica del país. En ese contexto, se vuelve prioritario conocer y evaluar los riesgos derivados de la posible ocurrencia de eventos sísmicos de gran magnitud.

1.5. ANTECEDENTES

Lima Metropolitana y el Callao muestran un índice alto de pérdidas asociadas a sismos en el periodo reciente, como lo muestran los registros históricos desde el siglo XVI (IGP, 2005). La informalidad y la autoconstrucción de las viviendas sumado a la ubicación en que se encuentran expuestas sus viviendas a peligro por sismo en zonas de laderas y debido a la cercanía de las costas del Perú a la zona de subducción, es decir a causa de la interacción de las placas de Nazca y Sudamericana.

Lima y el Callao han soportado a lo largo de su historia eventos naturales desastrosos como terremotos y tsunamis. Los más importantes fueron los terremotos de 1586, 1609, 1655, 1687, 1746, 1940, 1966 y 1974, que causaron pánico y destrucción de viviendas e infraestructura, especialmente en zonas donde las condiciones geológicas son menos favorables y donde viven las poblaciones más pobres y por ende más vulnerables.

De acuerdo con el estudio ante sismo de Lima Metropolitana (INDECI, 2017), hay una gran probabilidad de que ocurra un terremoto de una magnitud mayor a 8.5 Mw, tomando en cuenta los silencios sísmicos de los últimos años. En este contexto, las instituciones vinculadas con la temática han sido conscientes de su responsabilidad frente a la elaboración, implementación y actualización de instrumentos que permitan la previsión y la reducción de condiciones de riesgo, así como la preparación y la organización ante situaciones de desastres.

Finalmente, se puede evidenciar que el Asentamiento Humano Virgen de Guadalupe se encuentra expuesto a peligros de origen geológico. Como antecedente, el sismo ocurrido el 15 de julio, con una magnitud de 6.1, provocó la caída de material arenoso y levantó una gran polvareda proveniente de las canteras cercanas, afectando directamente a la población colindante. Esta situación ha sido registrada y puede observarse en las imágenes adjuntas. Ver Imagen Nº1.







Imagen Nº 1: Se evidencio rajadura en zona de cantera producto del sismo registrado el día 15 de julio.







del La disposición material suelto y rocas de tamaños diferentes sugiere un entorno de cantera zona 0 intervenida por actividades extractivas.

indica

Fuente: Información evidenciada por la población del AA.HH. Virgen de Guadalupe.







Imagen Nº 2: Reporte complementario sismo de magnitud 6.1 con epicentro en el mar a 30 km al so de la provincia constitucional del callao – Lima.



Fuente: Información del reporte complementario n.º 6623 - INDECI 15/6/2025.







1.6. MARCO NORMATIVO

- Ley N° 29664, que crea el Sistema Nacional de Gestión del Riesgo de Desastres SINAGERD.
- Decreto Supremo N° 048-2011-PCM, Reglamento de la Ley del Sistema Nacional de Gestión del Riesgo de Desastres.
- Ley N° 27867, Ley Orgánica de los Gobiernos Regionales y su modificatorias dispuesta por Ley N° 27902.
- Ley N° 27972, Ley Orgánica de Municipalidades y su modificatoria aprobada por Ley N° 28268.
- Ley N° 29869, Ley de Reasentamiento Poblacional para Zonas de Muy Alto Riesgo No Mitigable.
- D.S. 020-2015-VIVIENDA, que modifica el art. 10º del Reglamento de Formalización de la Propiedad a cargo de COFOPRI.
- Decreto Supremo N° 115-2013-PCM, aprueba el Reglamento de la Ley N° 29869.
- Decreto Supremo N° 126-2013-PCM, modifica el Reglamento de la Ley N° 29869.
- Resolución Jefatural N°112 2014 CENEPRED/J, que aprueba el "Manual para la Evaluación de Riesgos originados por Fenómenos Naturales", 2da Versión.
- Resolución Ministerial N° 334-2012-PCM, que Aprueba los Lineamientos Técnicos del Proceso de Estimación del Riesgo de Desastres.
- Resolución Ministerial N° 222-2013-PCM, que Aprueba los Lineamientos Técnicos del Proceso de Prevención del Riesgo de Desastres.
- Resolución Ministerial N° 220-2013-PCM, Aprueba los Lineamientos Técnicos del Proceso de Reducción del Riesgo de Desastres.
- Decreto Supremo Nº 111–2012–PCM, de fecha 02 de noviembre de 2012, que aprueba la Política Nacional de Gestión del Riesgo de Desastres.
- Resolución ministerial Nº 147-2016-PCM, de fecha 18 de julio 2016, que aprueba los Lineamientos para la implementación del Proceso de reconstrucción.
- DS. 115-2022-PCM: Aprobación del Plan Nacional de Gestión del Riesgo de Desastres
 PLANAGERD 2022 2030.
- DS Nº 060-2024-PCM.







CAPITULO II: CARACTERISTICAS GENERALES DEL ÀREA DE ESTUDIO





CAPITULO II: CARACTERISTICAS GENERALES DEL AREA DE ESTUDIO

2.1. UBICACIÓN GEOGRÁFICA

El AA.HH. Virgen de Guadalupe está ubicado en el distrito de Mi Perú, Provincia Constitucional del Callao.

Se ubica sobre la coordenada UTM zona 18 S (268834.00 m E, 8687912.00 m S).

Cuadro N. º1: Coordenada UTM

Geográficas		UTM	
Latitud	Longitud	Este	Norte
11°51'40.40"S	77° 7'19.23"O	268834.00 m E	8687912.00 m S

2.2. LÍMITES

Del AA.HH. VIRGEN DE GUADALUPE sus límites son los siguientes:

Por el Norte : JR. Cusco Por el Sur : Calle 7

Por el Este : Terreno eriazo

Por el Oeste : Zona industrial - Distrito de Ventanilla

2.3 VÍAS DE ACCESO AL ÁREA DE ESTUDIO

Desde el Gobierno Regional Del Callao

El acceso se realiza a través desde Ovalo La Perla, cruzando la Av. Guardia Chalaca hasta doblar con calle los topacios siguiendo hasta el ovalo Centenario entrando a la avenida Néstor Gambetta hasta llegar el distrito de Ventanilla hasta donde el cruce con la Avenida. Cusco y siguiendo esa ruta entrando al distrito de Mi Perú se dobla por la Av. Cuzco y dobla a la derecha en la intersección con la Av. Virgen de Guadalupe hasta llegar al AAHH. Virgen de Guadalupe.







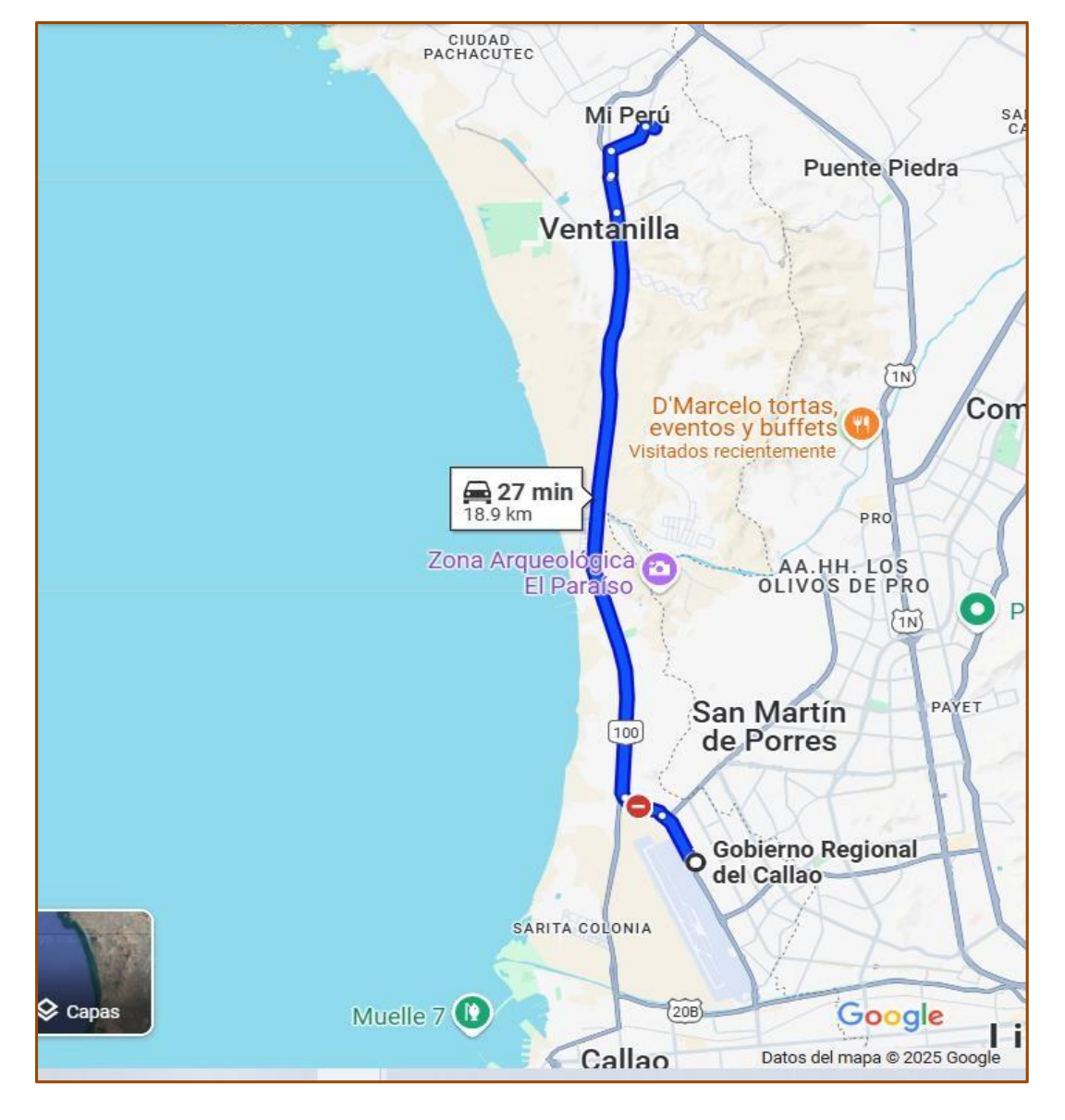


Figura N°1. Vía de acceso al AA. HH. VIRGEN DE GUADALUPE

Fuente: Google Maps 2025







AAHL VIRGENDE GUADALUPE

Figura N°2. Vía de acceso al AA. HH. Virgen de Guadalupe

Fuente: Elaboración propia con información del Google Earth.







Mapa N.º 1: Ubicación del Asentamiento Humano Virgen de Guadalupe

Fuente: Elaboración propia y la ortofoto del año 2025.







2.4 BASE TOPOGRÁFICA

El vuelo fue planificado previamente en gabinete, teniendo en cuenta todos los parámetros necesarios para obtener una ortofoto de alta resolución. Se llevó a cabo un vuelo fotogramétrico del ámbito de estudio. Para este propósito, se seleccionó el equipo dron DJI 3 Enterprise. La elección de este equipo se basó en su capacidad para ofrecer una precisión centimétrica, lo que garantiza resultados precisos y confiables.



Figura 3: Modelo de dron DJI 3 Enterprise

El vuelo se llevó a cabo a una altitud de 80 metros, asegurando una cobertura adecuada y cumpliendo con todas las condiciones climáticas necesarias para realizar los vuelos de manera segura y efectiva.

Además del procesamiento de imágenes, se llevó a cabo un exhaustivo análisis de los datos obtenidos para identificar y evaluar posibles riesgos y desafíos en el área de estudio. Esto incluyó la identificación de áreas vulnerables a Sismo, así como la evaluación de la infraestructura existente y su susceptibilidad a daños.







2.4.1 Vuelo Fotogramétrico

Una vez obtenidas las imágenes, es necesario determinar su posición, orientación y características intrínsecas de la cámara (calibración).



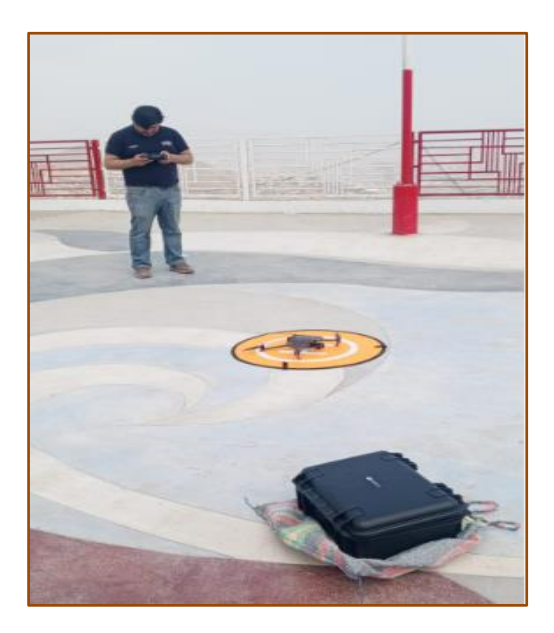


Figura 4: Sobrevuelo con dron DJI 3 Enterprise

Utilizando nube de puntos orientada, se genera un modelo digital de superficie, para genera la orto rectificación ortogonal de cada fotografía, que en conjunto conformarán el Ortomosaico (Ortofoto)

El Modelo Digital del Terreno es el conjunto de capas (generalmente ráster) que representan las distintas características de la superficie terrestre permitiendo generar el modelo de elevación (MDE) y pendientes.

2.4.2 Modelo Digital de Elevación

Uno de los elementos básicos de cualquier representación digital de la superficie terrestre son los Modelos Digitales de Elevación del Terreno.

Un modelo digital de elevación es una representación visual y matemática de los valores de altura con respecto al nivel medio del mar, que permite caracterizar las formas del relieve y los elementos presentes en el mismo.

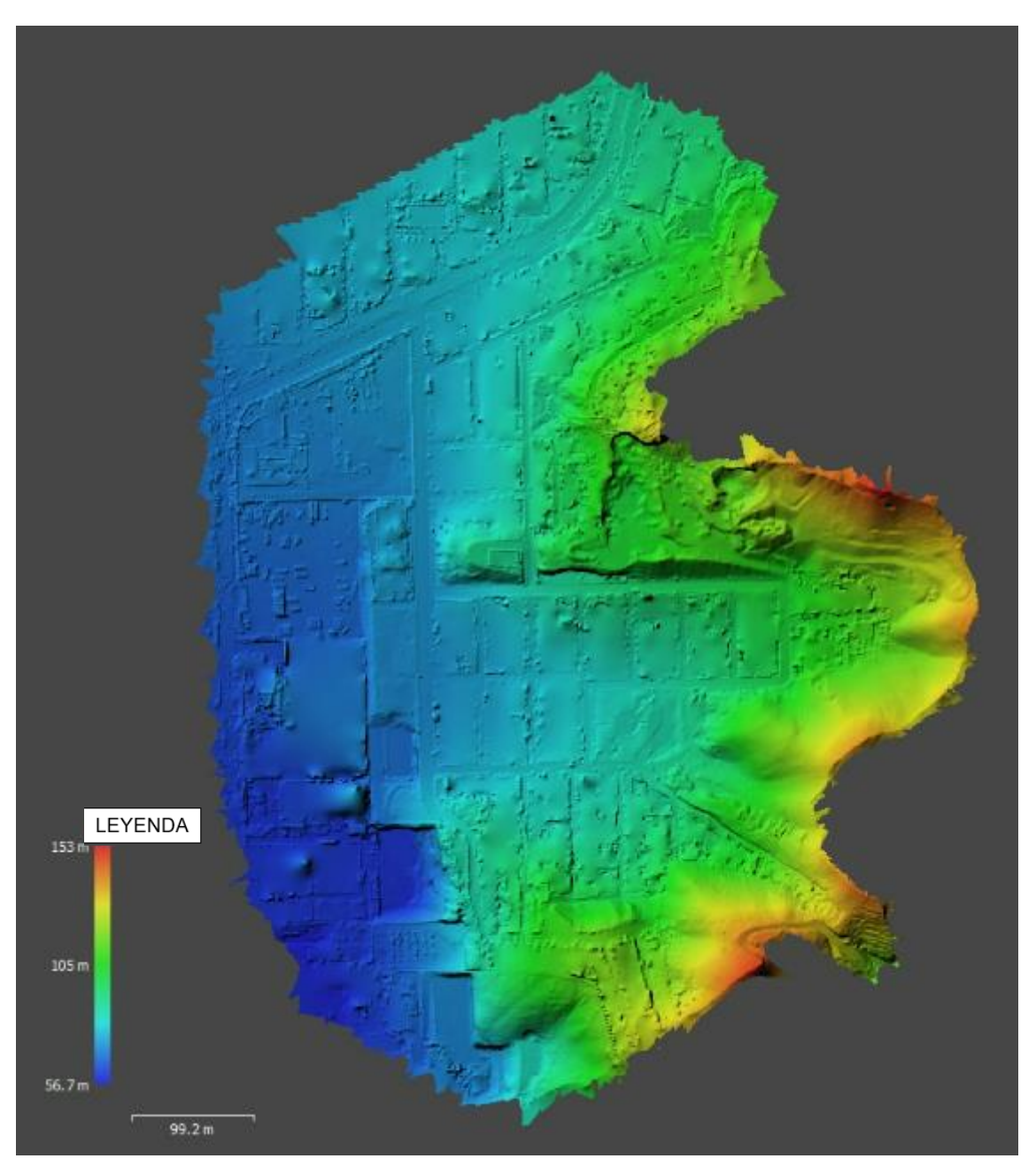
En la actualidad los modelos constituyen un medio para lograr la representación del relieve muy versátil y funcional ya que a partir del mismo se puede conocer la conformación o morfología del terreno (MDT) e incluso para recrear escenarios virtuales en 3D del territorio.







Figura 5: Modelo digital de elevación sobre el área del AA. HH Virgen de Guadalupe



Fuente: Elaboración propia.



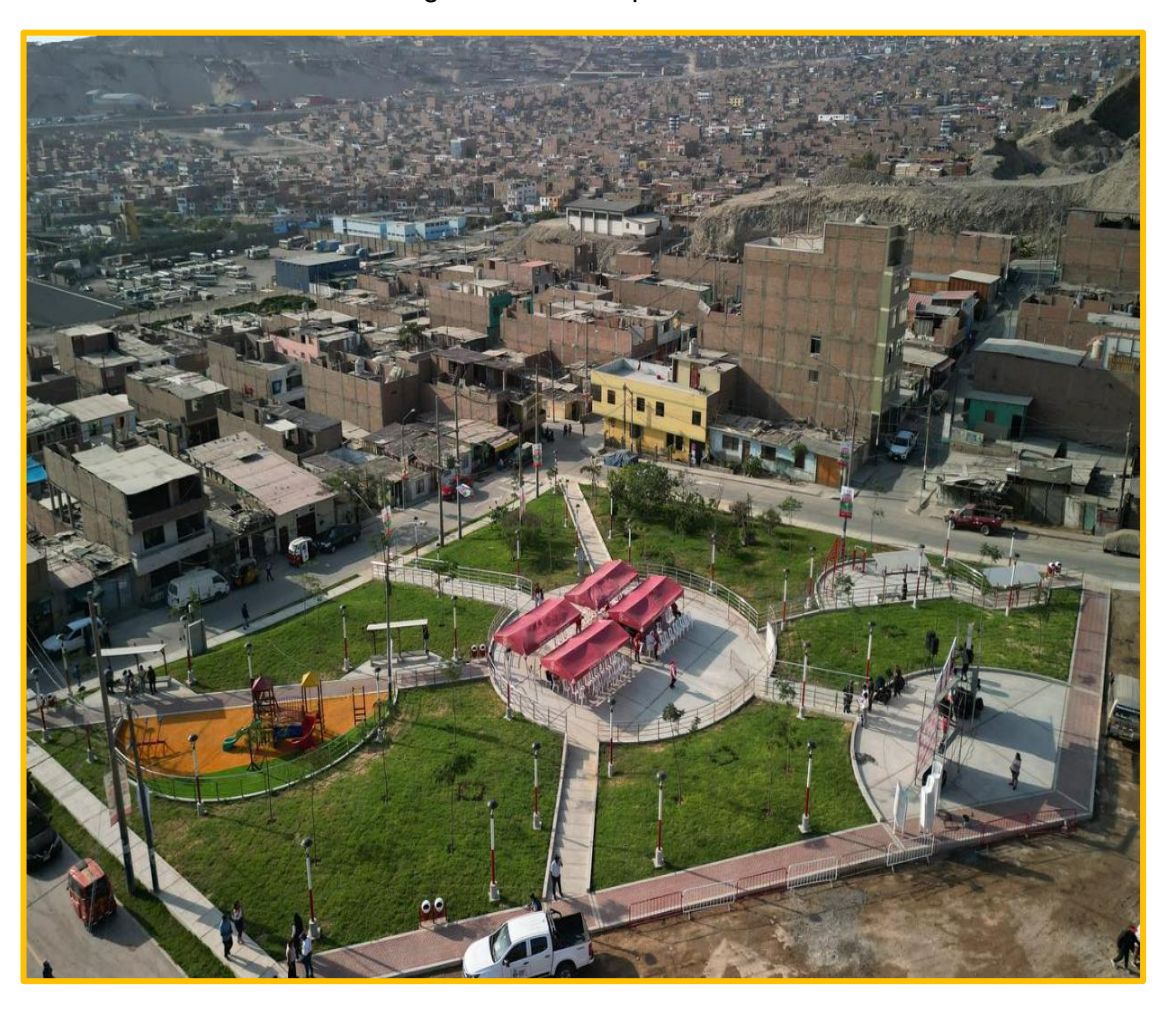




2.5 CARACTERÍSTICAS SOCIOECONÓMICAS DEL ÁREA DE ESTUDIO

2.5.1 ASPECTOS SOCIALES

La dinámica poblacional del Asentamiento Humano Virgen de Guadalupe está íntimamente ligada a los procesos de desarrollo que se presentan en los diferentes ámbitos social, económico y ambiental, a estos se les conoce como polos de desarrollo, y son estos polos los que nuclearizan fuertes concentraciones poblacionales, de allí que en los primeros tiempos los pobladores se congregaban en torno a lo que hasta ahora aún sigue siendo la actividad más importante en el asentamiento en mención, la actividad comercial, por lo que, aun cuando no hay una notoria tendencia al urbanismo, en el asentamiento humano Virgen de Guadalupe.



Fuente: Sobrevuelo con dron DJI 3 Enterprise







2.5.1.1 POBLACIÓN

A. GRUPO ETARIO

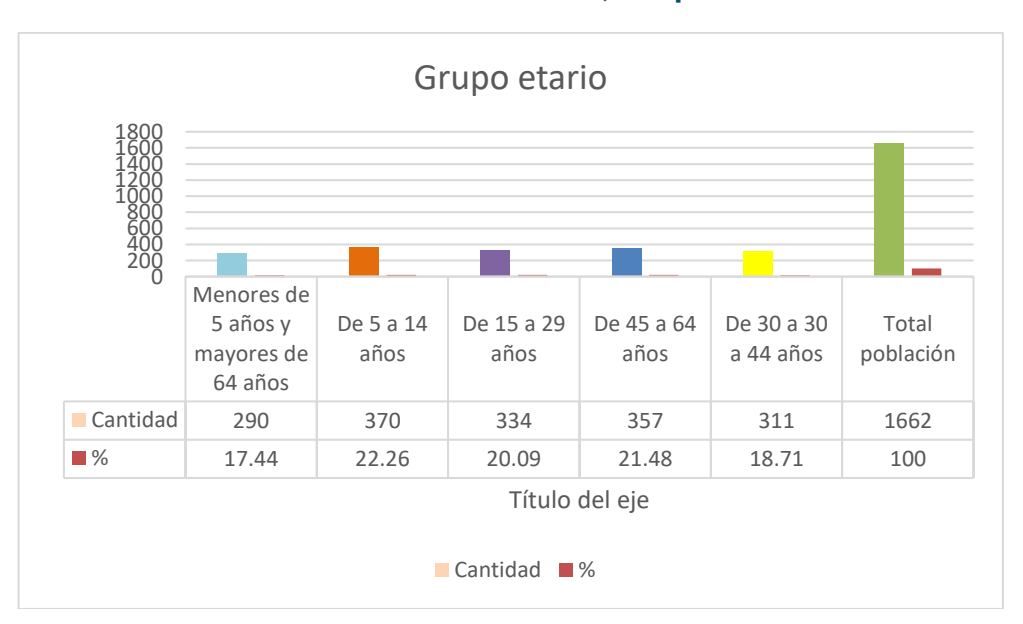
En el ámbito de estudio se encontró que, de la población encuestada, el 18.06 % son personas de 5 años y mayores de 64 años, el 21.37 % son personas de entre 5 a 14 años, el 20.78 % son personas de entre 15 a 29 años, el 21.37 % son personas entre 45 a 64 años, 18.42 % son personas entre 30 a 44 años.

Cuadro Nº 2: Grupo etario

Grupo Etario	Cantidad	%
Menores de 5 años y mayores de 64 años	398	18.06
De 5 a 14 años	471	21.37
De 15 a 29 años	458	20.78
De 45 a 64 años	471	21.37
De 30 a 44 años	406	18.42
Total población	2204	100.00

Fuente: Trabajo de campo, equipo evaluador.

Gráfico N° 1; Grupo etario







B. SERVICIOS BASICOS

B1. ACCESO AL SERVICIO DE AGUA

En el ámbito de estudio se encontró que el 77.45 % No tiene el servicio, el 15.47% cuenta Pozo de agua subterránea y red de tuberías, el 2.04% cuenta con Pileta de agua de uso público, 4.86% cuenta con red pública de la vivienda, pero dentro de la edificación, el 0.18% cuenta Red pública fuera de la vivienda.

Cuadro N.º 3: Acceso al servicio de agua

Servicios básicos	Cantidad	%
No tiene	1707	77.45
Pozo de agua subterránea y red de tuberías	341	15.47
Pileta de agua de uso publico	45	2.04
Red pública de la vivienda, pero dentro de la edificación.	107	4.86
Red pública fuera de la vivienda	4	0.18
Total vivienda	2204	100.00

Fuente: Trabajo de campo, equipo evaluador.

Gráfico N° 2: Acceso al servicio de agua









B. NIVEL DE DISCAPACIDAD

En el ámbito de estudio se encontró que, del total de personas encuestadas, el 0.50 % tiene discapacidad visual, el 0.59 % tiene discapacidad mental - intelectual, el 1.59 % tiene discapacidad para usar brazos y piernas, el 97.32 % no tiene discapacidad.

Cuadro N.º 4: Nivel de Discapacidad

Discapacidad	Cantidad	%
Para oír y/o hablar	0	0.00
Visual	11	0.50
Mental – intelectual	13	0.59
Para usar brazos y piernas	35	1.59
No tiene	2145	97.32
Total población	2204	100.00

Fuente: Trabajo de campo, equipo evaluador.

Gráfico N° 3: Nivel de discapacidad









2.5.1.2 **VIVIENDA**

A. GRADO DE CONSTRUCCIÓN DE LA VIVIENDA POR LOTE

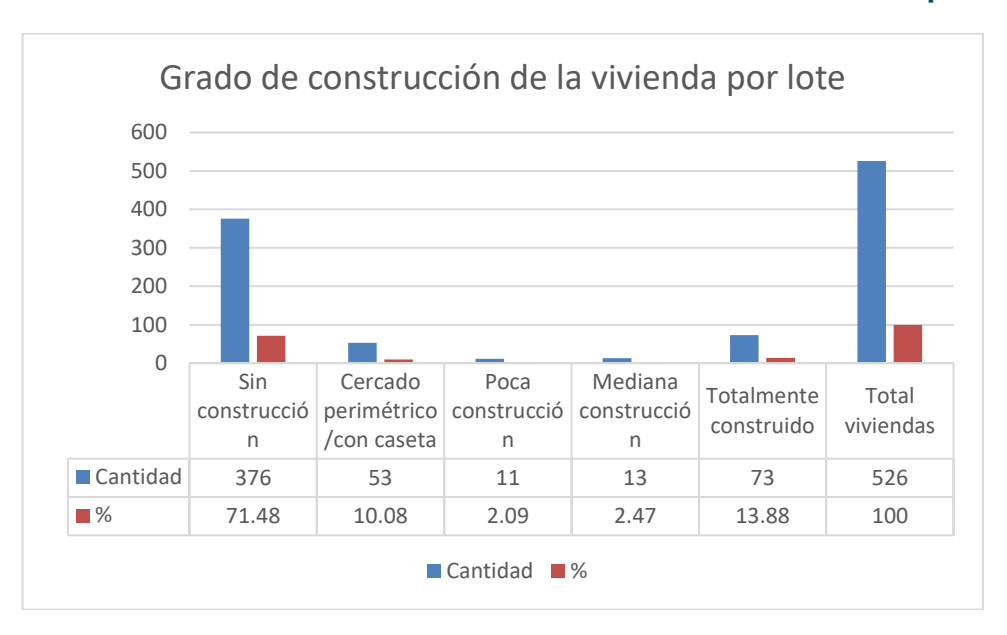
En el ámbito de estudio cuenta con 526 viviendas de las cuales el 71.48% son viviendas sin construcción, el 10.08 % son viviendas cercado perimétrico / con caseta, el 2.09 % son viviendas poca construcción, el 2.47 % son viviendas medianamente construido, el 13.88% totalmente construido.

Cuadro Nº 5: A. GRADO DE CONSTRUCCIÓN DE LA VIVIENDA POR LOTE

Tipo de vivienda	Cantidad	%
Sin construcción	376	71.48
Cercado perimétrico/con caseta	53	10.08
Poca construcción	11	2.09
Mediana construcción	13	2.47
Totalmente construido	73	13.88
Total viviendas	526	100.00

Fuente: Trabajo de campo, equipo evaluador.

Gráfico N° 4: Grado de construcción de la vivienda por lote.









B. ALTURA DE LA EDIFICACIÓN

Considerado como un indicador de ocupación de suelo urbano. En el Asentamiento humano Virgen de Guadalupe, del total de 526 viviendas, el 0.19 % tiene 3 pisos, el 19.35% tiene 2 pisos, el 86.46 % tiene 1 piso.

Cuadro Nº 6: Número de pisos

Número de pisos	Cantidad	%
Cinco pisos	0	0
Cuatro pisos	0	0
Tres pisos	1	0.19
Dos pisos	86	19.35
Un piso	439	86.46
Total, Vivienda	526	100.00

Fuente: Trabajo de campo, equipo evaluador.

Gráfico N° 5: Número de pisos







C. ESTADO DE CONSERVACIÓN DE LA VIVIENDA

El estado de conservación mide las condiciones de habitabilidad por ello demanda dinero y frecuentemente se encuentra fuera del alcance de las personas principalmente para las zonas periurbanas, donde el 32.13 % se encuentra en estado de conservación malo. El 55.32 % se encuentra en estado regular, 12.55 % se encuentra en estado bueno.

Cuadro Nº 7: Estado de conservación

Estado de conservación	Cantidad	%
Muy malo	0	0.00
Malo	169	32.13
Regular	291	55.32
Bueno	66	12.55
Muy bueno	0	0.00
Total vivienda	526	100.00

Fuente: Trabajo de campo, equipo evaluador.

Gráfico Nº 6: Estado de conservación









D. MATERIAL DE CONSTRUCCION DE LA VIVIENDA

D.1. MATERIAL DE PAREDES

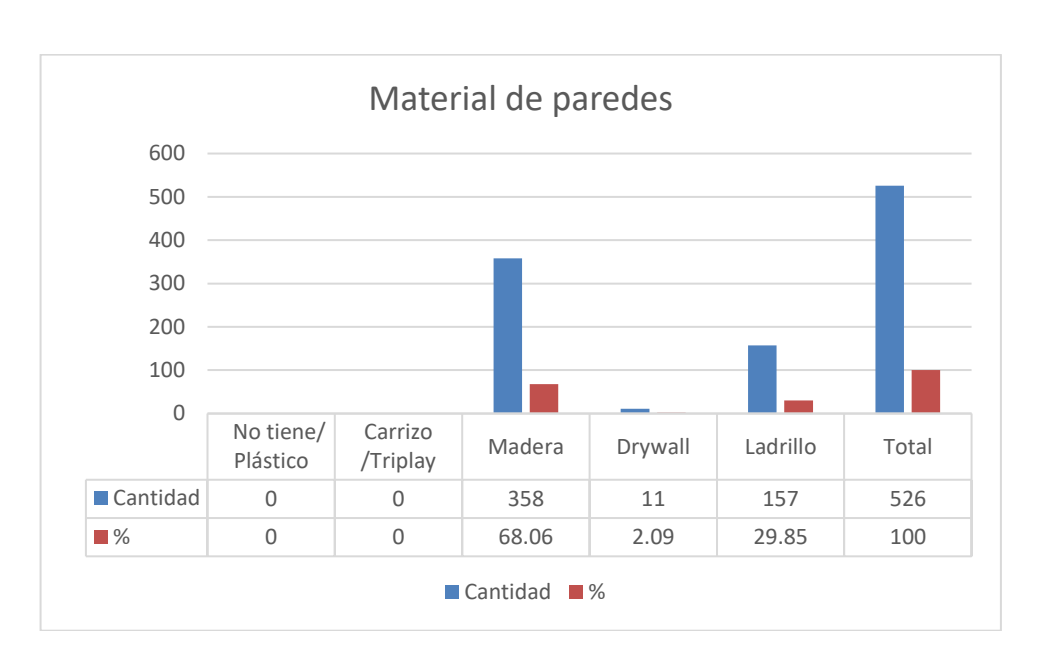
En el ámbito de estudio se halló que, del total de las viviendas encuestadas, el 68.06 % son de madera, el 2.09 % de draywal, el 29.85 % son de ladrillo.

Cuadro Nº 8: Material de paredes

Material predominante de paredes	Cantidad	%
No tiene/ Plástico	0	0.00
Carrizo /Triplay	0	0.00
Madera	358	68.06
Drywall	11	2.09
Ladrillo	157	29.85
Total	526	100.00

Fuente: Trabajo de campo, equipo evaluador.

Gráfico N° 7: Material de paredes









D.2. MATERIAL DE TECHO

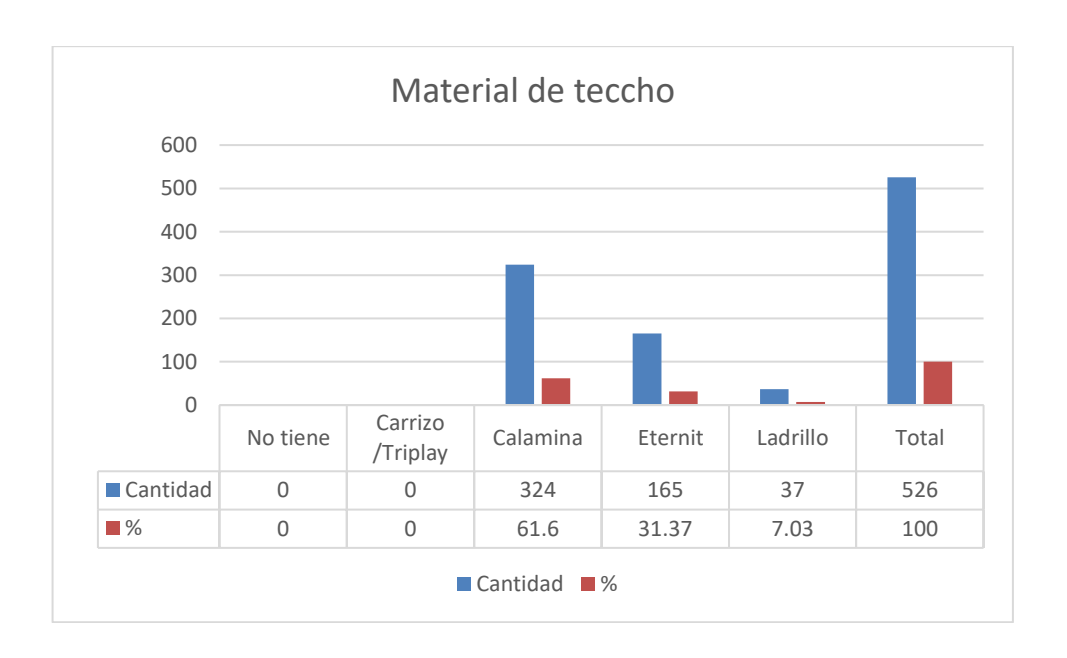
En el ámbito de estudio se halló que, del total de las viviendas encuestadas, el 61.60 % es de material de calamina, el 31.37 % es de material de Eternit, el 7.03 % son de ladrillo.

Cuadro N.º 9: Material de techo

Material predominante de paredes	Cantidad	%
No tiene	0	0.00
Carrizo /Triplay	0	0.00
Calamina	324	61.60
Eternit	165	31.37
Ladrillo	37	7.03
Total	526	100.00

Fuente: Trabajo de campo, equipo evaluador.

Gráfico N° 8: Material de techo









D.3. MATERIAL DE PISO

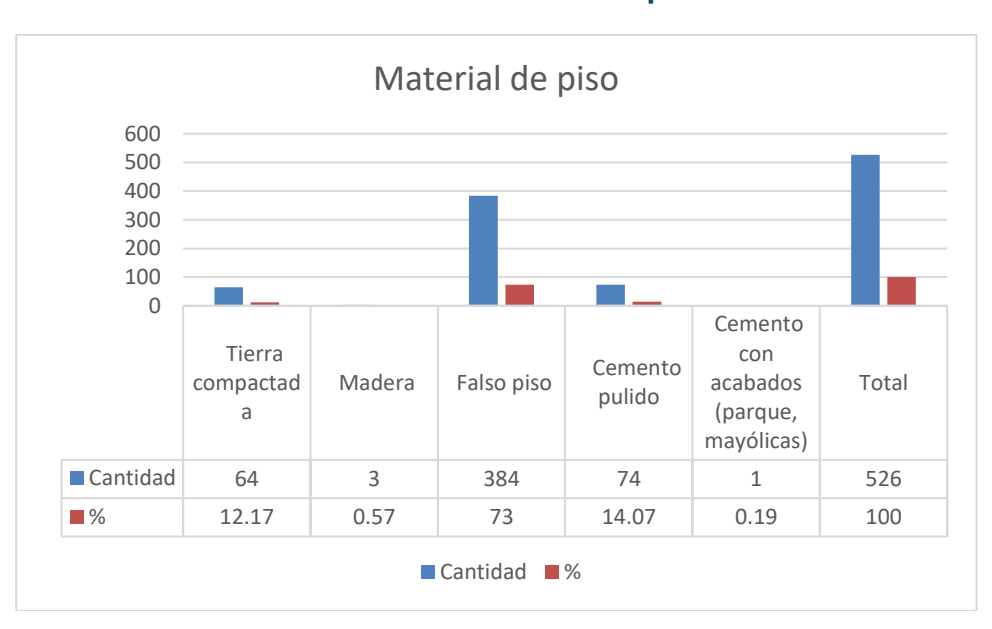
En el ámbito de estudio se halló que, del total de las viviendas encuestadas, el 12.17 % es tierra compactada, el 0.57 % es de material de madera, el 73.00 % son de falso piso, 14.07 % son de cemento pulido y el 0.19% de cemento con acabados (parque, mayólicas).

Cuadro Nº 10: Material de piso

Material predominante de paredes	Cantidad	%
Tierra compactada	64	12.17
Madera	3	0.57
Falso piso	384	73.00
Cemento pulido	74	14.07
Cemento con acabados (parque, mayólicas)	1	0.19
Total	526	100.00

Fuente: Trabajo de campo, equipo evaluador.

Gráfico N° 9: Material de piso









E. ANTIGÜEDAD DE LA EDIFICACIÓN

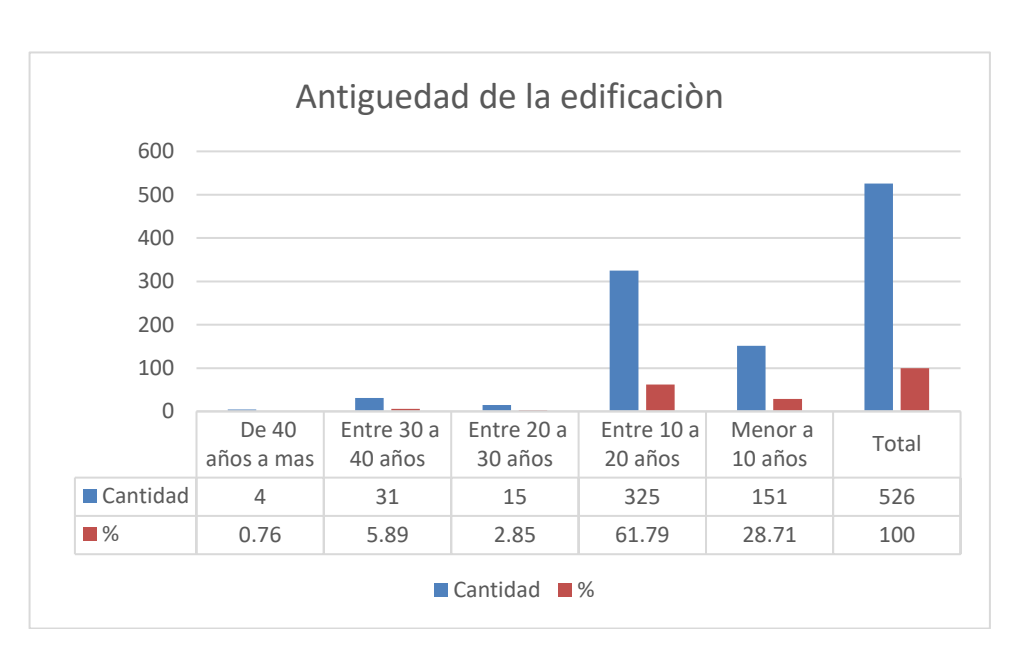
En el ámbito de estudio se halló que, del total de las viviendas encuestadas, el 0.76 % presenta una antigüedad de 40 años a más, el 5.89 % presenta una antigüedad entre 30 a 40 años, 2.85 % presenta una antigüedad entre 20 a 30 años, 61.79 % presenta una antigüedad entre 10 a 20 años y el 28.71 % presenta una antigüedad menor a 10 años.

Cuadro N.º 11: Antigüedad de la edificación

Material predominante de paredes	Cantidad	%
De 40 años a mas	4	0.76
Entre 30 a 40 años	31	5.89
Entre 20 a 30 años	15	2.85
Entre 10 a 20 años	325	61.79
Menor a 10 años	151	28.71
Total	526	100.00

Fuente: Trabajo de campo, equipo evaluador.

Gráfico N° 10: Material de piso









2.5.2 ASPECTOS ECONOMICOS

A. ACTIVIDAD LABORAL

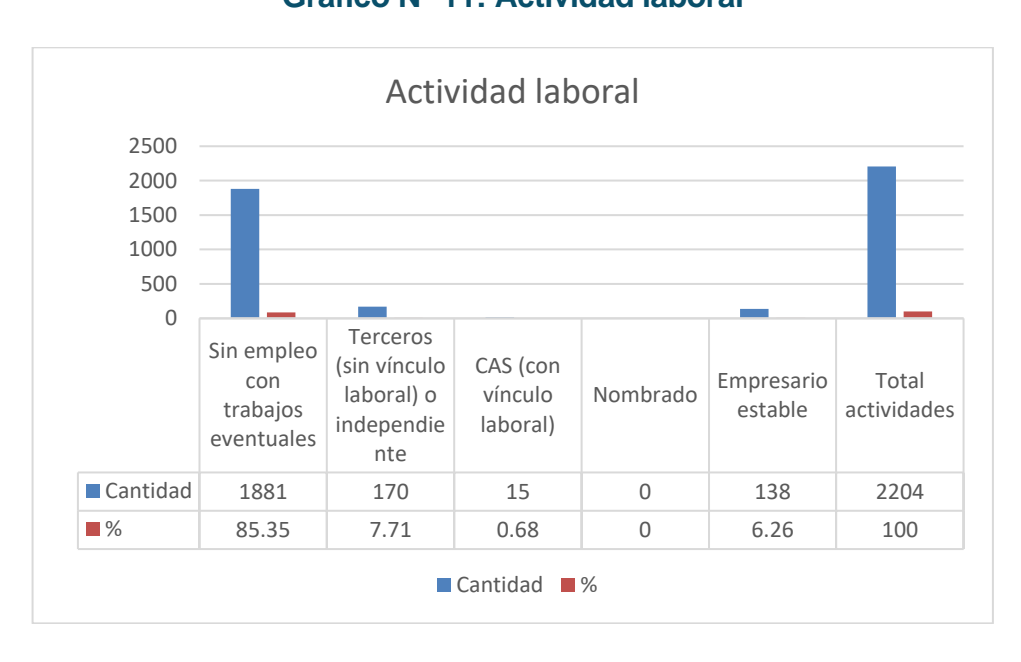
Según lo encuestado, la actividad laboral principales a las que se dedican en el ámbito de estudio son: el 85.35 % se encuentran sin empleo con trabajos eventuales, el 7.71 % son Terceros (sin vínculo laboral) o independiente, el 0.68 % CAS (con vínculo laboral) y 6.26% son empresario estable.

Cuadro Nº 12: Actividad laboral

Actividad económica	Cantidad	%
Sin empleo con trabajos eventuales	1881	85.35
Terceros (sin vínculo laboral) o independiente	170	7.71
CAS (con vínculo laboral)	15	0.68
Nombrado	0	0
Empresario estable	138	6.26
Total actividades	2204	100.00

Fuente: Trabajo de campo, equipo evaluador.

Gráfico N° 11: Actividad laboral









A. INGRESO FAMILIAR

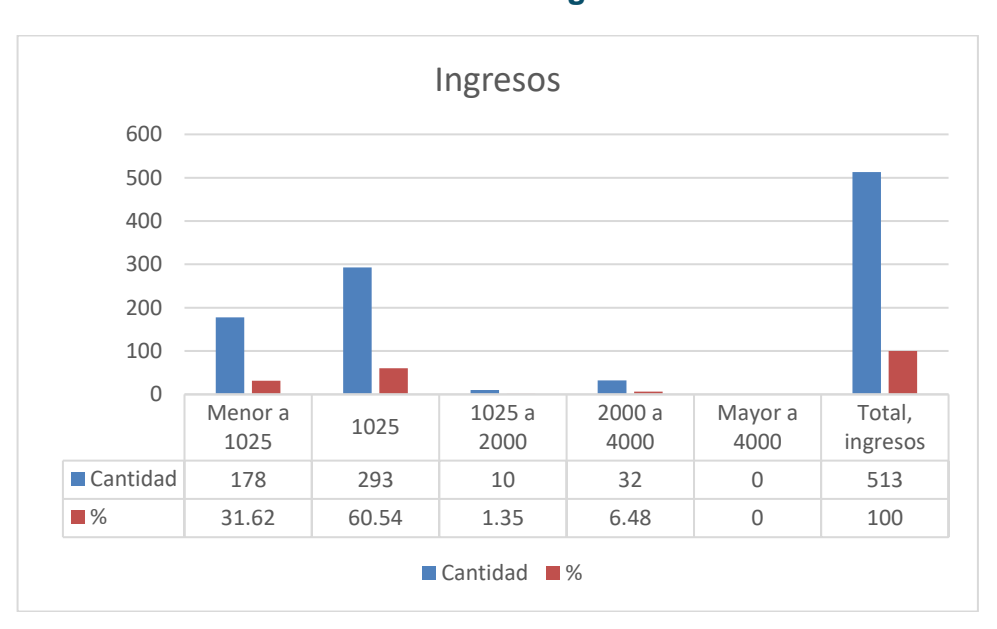
Los datos resultantes de la encuesta se tienen que el 31.62 % tiene ingresos menores a 1025 soles, el 60.54 % gana 1025, el 1.35% gana entre 1025 a 2000, el 6.48 % gana entre 2000 a 4000.

Cuadro Nº 13: Ingresos

Ingresos	Cantidad	%
Menor a 1025	178	31.62
1025	293	60.54
1025 a 2000	10	1.35
2000 a 4000	32	6.48
Mayor a 4000	0	0.00
Total, ingresos	513	100.00

Fuente: Trabajo de campo, equipo evaluador.

Gráfico N° 12: Ingresos









2.6 CARACTERÍSTICAS FÍSICAS DEL ÁREA DE ESTUDIO

2.6.1 Aspectos físicos

El relieve topográfico del asentamiento Humano Virgen de Guadalupe presenta una pendiente que va desde de < 10º a 35º de inclinación con características del perfil del terreno, así mismo en función a las geoformas del relieve presenta: vertiente coluvial de detritos, lomada en roca volcano sedimentario, lomada en roca sedimentaria, manto de arena y planicie aluvial.

El material predominante del suelo y por acción eólica constituido por bloques, cantos, arenas, limos y arcilla.

2.6.2 Clima

Según la clasificación climática de Thornthwaite (SENAMHI, 2020), el distrito Mi Perú, presenta un clima desértico semicálida, con deficiencia de lluvias en todas las estaciones del año, y con humedad relativa calificada como húmeda. En cuanto a la cantidad de lluvia, según datos meteorológicos y pronóstico del tiempo del servicio de aWhere (que analiza los datos de 2 millones de estaciones meteorológicas virtuales en todo el mundo, combinándolos con datos ráster y de satélite), la precipitación máxima registrada en el periodo enero 2021 – mayo 2024 fue de 3.9 mm. Ver (figura 6).

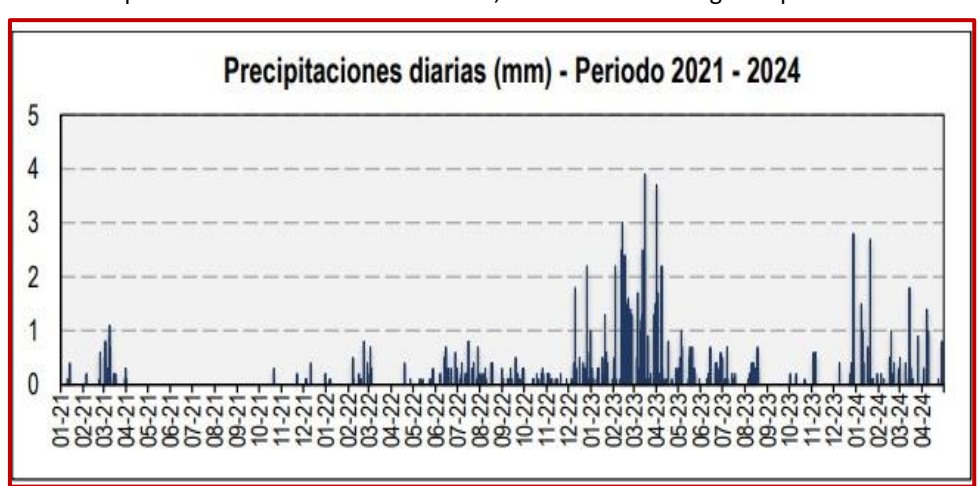


Figura № 6.- Precipitaciones máximas diarias en mm, distribuidas a lo largo del periodo 2021-2024.

Fuente: Landviewer, disponible en: https://cropmonitoring.eos.com/weatherhistory/field/10036911.

La figura permite analizar la frecuencia de las anomalías en las precipitaciones pluviales que inducen al desarrollo de la erosión del suelo.

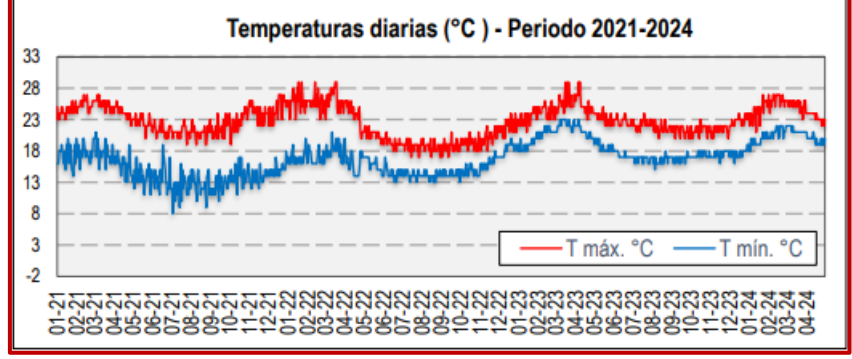


Ing. Christian Isaoc Muhoz Galindo
EVALUADOR DE RIESGOS
entificas R.S. N° 145-2021-CENEPREDU



figura permite analizar la variedad, saltos extremos de temperatura, duración y regularidad. Temperaturas diarias (°C) - Periodo 2021-2024 33 28

Figura № 7.- Temperaturas máximas y mínimas diarias, distribuidas a lo largo del periodo 2021-2024. La



Fuente: https://crop-monitoring.eos.com/weatherhistory/field/10036911.

La temperatura anual oscila entre un máximo de 29.0°C en verano y un mínimo de 08.0°C en invierno (figura 7). Así mismo, presenta una humedad promedio de 73.7% durante casi todo el año, (Servicio aWhere).

CARACTERISTICAS GEOLOGÍCAS 2.6.3

En el área de estudio está conformada por la unidad formación ventanilla, por colina, lomas, deposito eólico, coluvial aluvial y deposito coluvial (según el Informe Técnico Nº A7527 – INGEMMET, Julio 2024 y el EVAR Asociación Hijos de Fátima, La Ensenada – PREDES 2024).

Colina en roca sedimentaria (C-rs)

Es una elevación del terreno formada por rocas sedimentarias, como areniscas, limosas, o lutitas, que han sido depositadas en capas. Estas colinas y lomadas suelen tener laderas con pendientes moderadas a bajas, y pueden estar disectadas o no.

Formación Ventanilla (JsKi-v)

Esta unidad litoestratigráfica está constituido por areniscas volcanoclásticas de coloración verde a gris, con granulometría fina a gruesa con presencia de granos angulosos a subredondeados. Superficialmente, la roca se muestra moderadamente meteorizado y muy alterado. Geotécnicamente, el substrato rocoso presenta una resistencia baja (25-50 MPa), con cinco familias de discontinuidades no persistentes (< 3m); muy fracturadas, con espaciamientos muy próximos a próximos entre si (0.06-0.20 m), aberturas algo abiertas (0.1 - 1.0 mm) y sin relleno visible.







Deposito eólico (Q-eo)

Los depósitos eólicos están conformados por arenas de grano medio a fino, de color beige, secas, masivas a ligeramente estratificadas, inconsolidados y acumuladas al pie de las laderas. Estos depósitos se caracterizan por ser de compacidad suelta a muy suelta, poco cohesivos y de fácil excavación, en general, presentan problemas como materiales de fundación, especialmente relacionada a su comprensividad y resistencia (asentamientos y capacidad de carga); este tipo de suelo predomina con espesores entre 1 y 5 m, sobre los cuales se asienta el "AA. HH. Virgen de Guadalupe".

Deposito coluvial aluvial (Q-clal)

Corresponde a un tipo de sedimento que se forma a partir de materiales arrastrados en áreas planas o laderas debido a los procesos gravitaciones como el deslizamiento de rocas o lodos.

Deposito coluvial (Q-cl)

Corresponde a depósitos inconsolidados acumulados al pie o en las laderas, en forma de talud de detritos irregulares que descienden hacia terrenos con menor pendiente por acción de la gravedad. Presenta una naturaleza litológica homogénea que corresponde a bloques sueltos (hasta 0.5 m de diámetro) y gravas; sin embargo, su granulometría es variable con fragmentos angulosos a subangulosos y su grado de compacidad es bajo, no consolidado. Este tipo de depósito corresponde a material potencialmente inestable en las laderas, que ante movimientos sísmicos de moderada a fuerte magnitud podrían generar daños en las viviendas asentadas ladera abajo.

Cuadro N° 11: Unidades geológicas dentro del área de estudio (AA. HH Virgen de Guadalupe)

	UNIDADES LITOESTRATIGRAFICAS	SIMBOLO	SUPERFI CIE (Ha.)	PORCENTAJ E (%)
1	Deposito coluvio aluvial	(Q-clal)	0.1403	6.51
2	Colina en roca sedimentaria	(C-rs)	0.2270	10.52
3	Depósito eólico	(Q – eo)	0.7842	36.36
4	Depósito coluvial	(Q-cl)	1.0053	46.61
5	Formación Ventanilla	(JsKi-v)	0.0000	0.00
	TOTAL		2.1569	100.00

Fuente: Elaboración propia con información del INGEMMET, 2024.







Figura Nº 8.- Las imágenes presentadas corresponden a canteras localizadas en sectores de escarpe, caracterizadas por una marcada presencia de roca andesítica. En la zona de Mi Perú / Ventanilla se han identificado áreas de explotación destinadas a la extracción de piedra andesítica para uso como material de construcción. Considerando que la andesita constituye una litología ampliamente distribuida en las canteras del Callao, resulta técnicamente plausible que la cantera observada se enmarque dentro de este mismo tipo de yacimiento.



En la imagen se observa roca fracturada y material suelto, con bloques medianos a grandes acumulados de forma irregular. Presencia de material meteorizado en la base del talud corresponde a material posiblemente roca ígnea, lo que indica procesos de degradación o desprendimiento progresivo.



En la zona de cantera se puede apreciar que el tamaño de roca apariencia compacta y color grisáceo, posiblemente correspondiente a una roca ígnea volcánica, como andesita o basalto, muy común en zonas costeras del Perú.



En la imagen se muestra un talud alto con condición de vulnerabilidad ante deslizamientos o desprendimientos de rocas inminente.



Las características del suelo muestran riesgo potencial de deslizamiento o caída de rocas, especialmente ante eventos sísmicos o lluvias intensas.

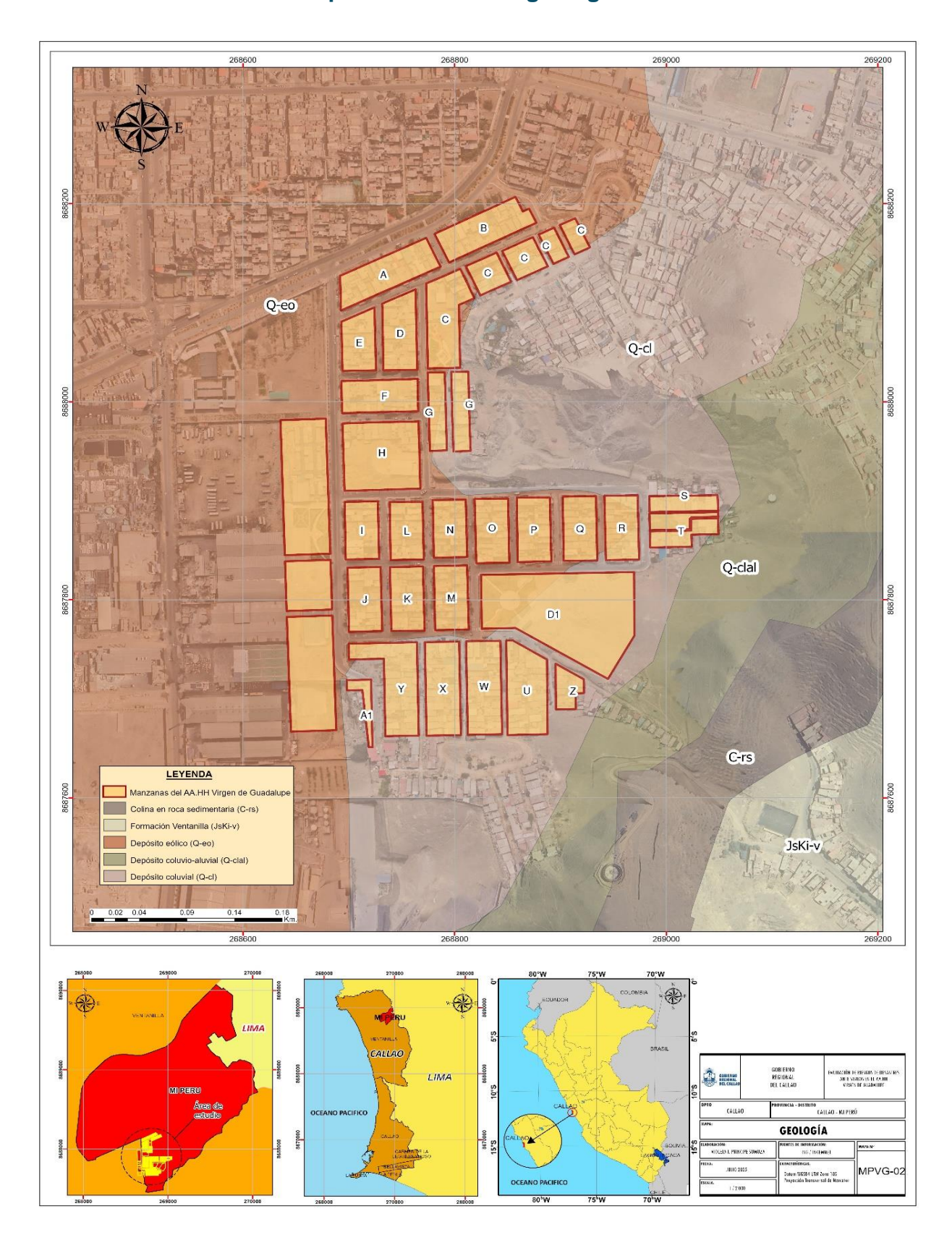
Fuente: Trabajo de campo.







Mapa N° 2: Unidades geológicas



Fuente: Elaboración propia con información de INGEMMET.





2.6.4 CARACTERISTICAS GEOMORFOLOGICAS

De acuerdo con al visor geoespacial denominado: Sistema de Información Geológico y Catastral Minero – GEOCATMIN, administrado por el Instituto Geológico, Minero y Metalúrgico – INGEMMET, y al criterio del evaluador en campo, se ha podido identificar que en el AA. HH Virgen de Guadalupe y su entorno, presentan las siguientes unidades geomorfológicas:

Lomada en roca sedimentaria (L-rs)

Están modeladas en capas o estratos de areniscas limosas con conglomerados. La diferencia de altitud es entre 20 a 30 m.

Llanura coluvio aluvial (LCA)

Se caracterizan por ser terrenos planos (pendiente suave >5°) y de ancho variable. se encuentra una llanura coluvio-aluvial caracterizada por depósitos sedimentarios resultantes de la acción combinada de la gravedad (coluvión) y del agua (aluvión). Esta unidad geomorfológica presenta un relieve suavemente ondulado, con suelos heterogéneos compuestos por fragmentos gruesos y finos, indicativos de procesos de transporte y deposición típicos de ambientes de transición entre laderas y fondos de valle.

Manto de arena (MN-ar)

Son características de ambientes desérticos. Se trata generalmente de extensas deposiciones de arena eólica en llanuras con pendiente que oscilan entre 0° y 25°. Se observa al pie de lomadas y debido a su fácil excavación y poca resistencia, son utilizados para el asentamiento de la mayoría de viviendas del AA.HH. Virgen de Guadalupe.

Zona de escarpe (Z-e)

Se refiere a un área donde hay una pendiente abrupta o ruptura del relieve, generalmente como resultado de procesos erosivos, tectónicos o de deslizamiento

Gree Heira Reserta Proces Sancas cuntinas Evaluados de Riesgos R J Nº 141-2021-CENEPREDIA Ing. Christian Isacc Muhoz Galindo
EVALUADOR DE RIESGOS
OBBERBER R.S. N° 145-2021-CENEPREDIU



Cuadro N° 12: Unidades geomorfológicas dentro del área de estudio (AA. HH Virgen de Guadalupe)

	•	9		,
ID	UNIDADES	SIMBOLO	SUPERFICI	PORCENTAJ
	GEOMORFOLOGICAS		E (Ha.)	E (%)
1	Vertiente coluvial	(V-c)	0.0552	2.56
2	Lomada en roca volcanosedimentaria	(L-rvs)	0.3310	15.35
3	Lomada en roca sedimentaria	(L – rs)	0.6307	29.24
4	Manto de arena	(MN-ar)	1.140	52.85
5	Llanura o Planicie aluvial	(Pl-a)	0.000	0.00
	TOTAL	2.1569	100.00	

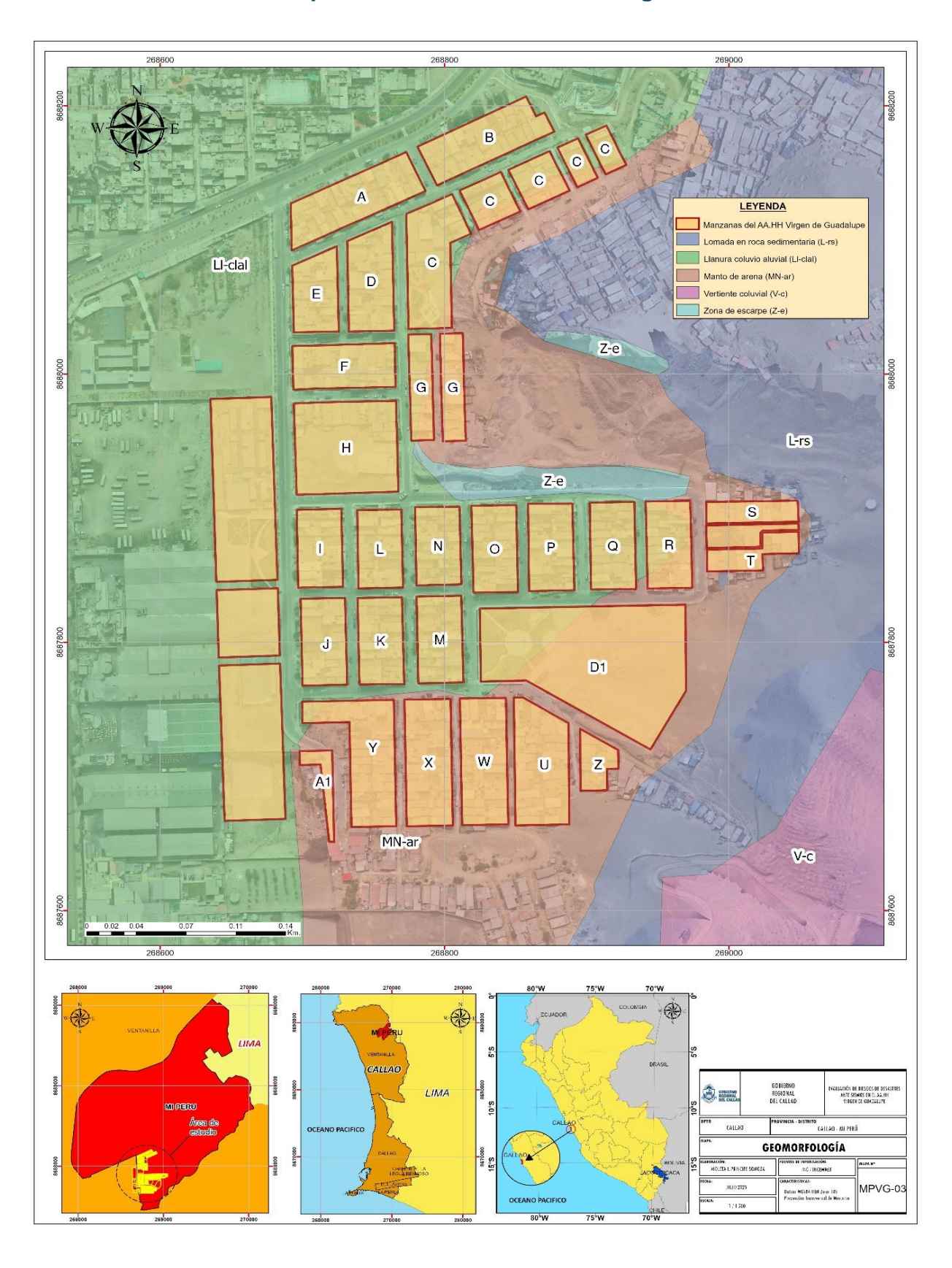
Fuente: Elaboración con información del INGEMMET, 2025.







Mapa N° 3: Unidades Geomorfológicas



Fuente: Elaboración con información del INGEMMET 2024.







2.6.5 PENDIENTE

Las laderas sobre las cuales se asienta El AA. HH Isabella Chávez la cual se encuentra a una altitud entre 137 m.s.n.m. presenta pendientes que varían de plana (< 5°) a muy fuerte (> 35°).

En el marco del presente estudio se consideró cinco clasificaciones de pendiente, estas de describen a continuación:

➢ Plano o casi a nivel (< 5⁰)</p>

Conformado por terrazas bajas de origen aluvial, compuestas por sedimentos fluviónicos recientes, producto de la inundación periódica a que son sometidas estas áreas; así como materiales aluvio torrenciales en su relieve plano ondulado, se observa la presencia de piedras y bloques en proporciones variables. Se distribuye en forma dispersa, representa el 27.19 % del área de estudio.

> Ligeramente inclinada (5-15º)

Conformados por planicies moderadamente inclinadas, denominadas como laderas de colinas, cimas de montañas y piedemontes moderadamente empinadas e inclinados. Compuestas generalmente por material coluvial, moderadamente pedregoso. Se distribuye en forma dispersa, representa el 15.08 % del área de estudio.

Moderadamente inclinada (15º-25º)

Conformados por laderas de montañas bajas moderadamente empinadas, colinas bajas ligeras y moderadamente disectadas y lomadas moderadamente empinadas. Se distribuye en forma dispersa, representa el 15.90 % del área de estudio.

> Fuertemente inclinada (25°-35°)

Conformados por laderas de colinas altas empinadas, colinas bajas fuertemente disectadas, colinas medias empinadas, colinas medias fuertemente disectadas, cimas de montañas empinadas y laderas de colinas altas muy empinada. Se distribuyen en las zonas Este y Oeste por las laderas de los cerros, representa el 23.95 % del área de estudio.

Muy fuertemente inclinada (>35º)

Conformados por laderas de colinas altas muy empinadas, colinas bajas muy empinadas, colinas medias muy empinadas, laderas de montañas muy empinadas. Se encuentra al Este y Oeste por la cima de los cerros, representa el 17.88 % del área de estudio.



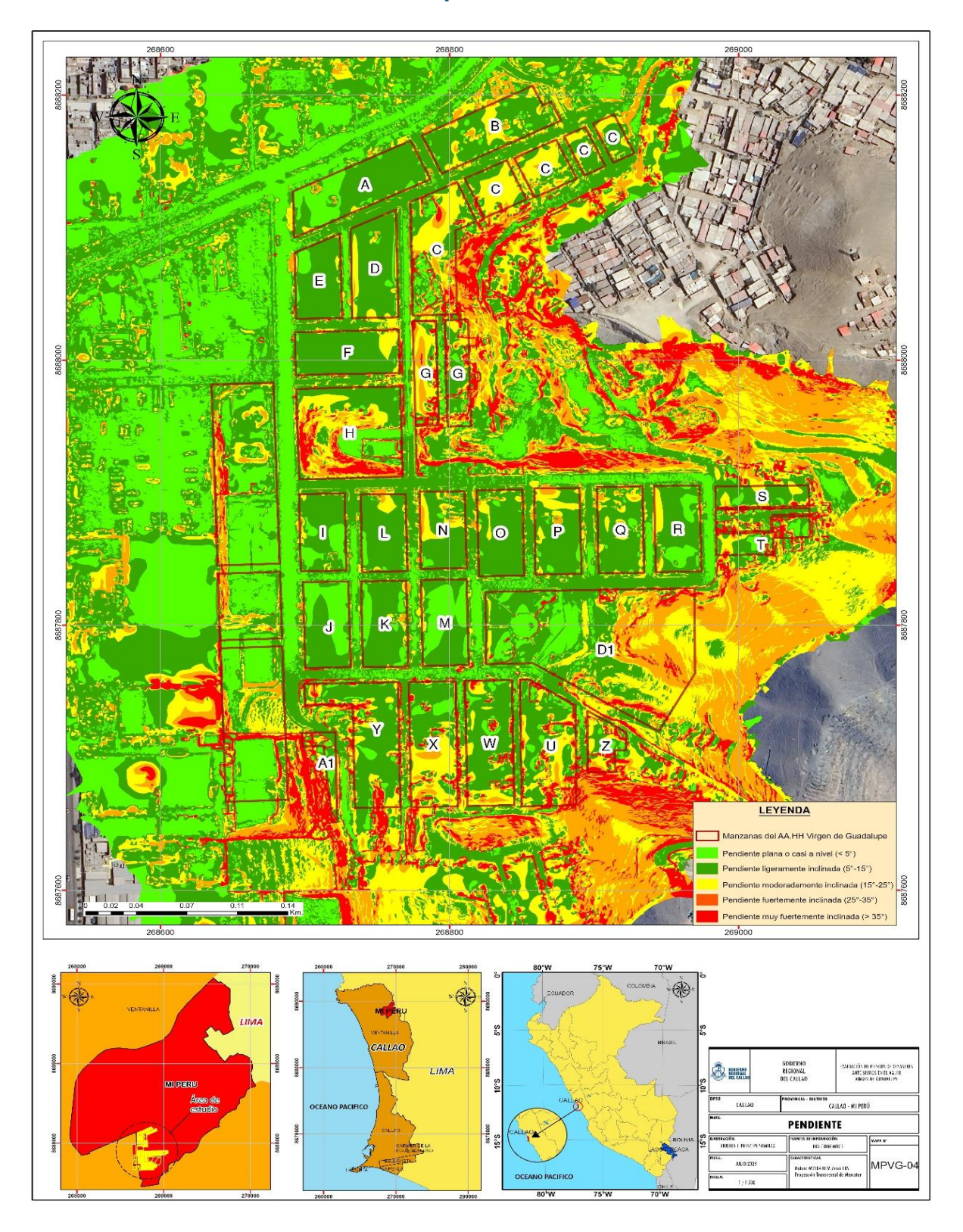
Cuadro N° 13: RANGOS DE PENDIENTE DENTRO DEL ÁREA DE ESTUDIO (AA. HH VIRGEN DE GUADALUPE)

ID	DESCRIPCIÒN	PENDIENTE	ÀREA (Ha.)	PORCENTAJE (%)
1	Planos o casi a nivel	<5°	0.5646	27.19
2	Ligeramente inclinada	5° - 15°	0.3130	15.08
3	Moderadamente inclinada	15°- 25°	0.3302	15.90
4	Fuertemente inclinada	25°-35°	0.4972	23.95
5	Muy fuertemente inclinada	>35°	0.3713	17.88
	TOTAL		2.0763	100.00





Mapa N° 4: Pendientes



Fuente: Elaboración propia con equipo para levantamiento fotogramétrico (Drone)..





CAPITULO III: DETERMINACIÓN DE PELIGRO







CAPITULO III: DETERMINACIÓN DEL NIVEL DE PELIGROSIDAD

3.1. METODOLOGÍA PARA LA DETERMINACIÓN DEL PELIGRO

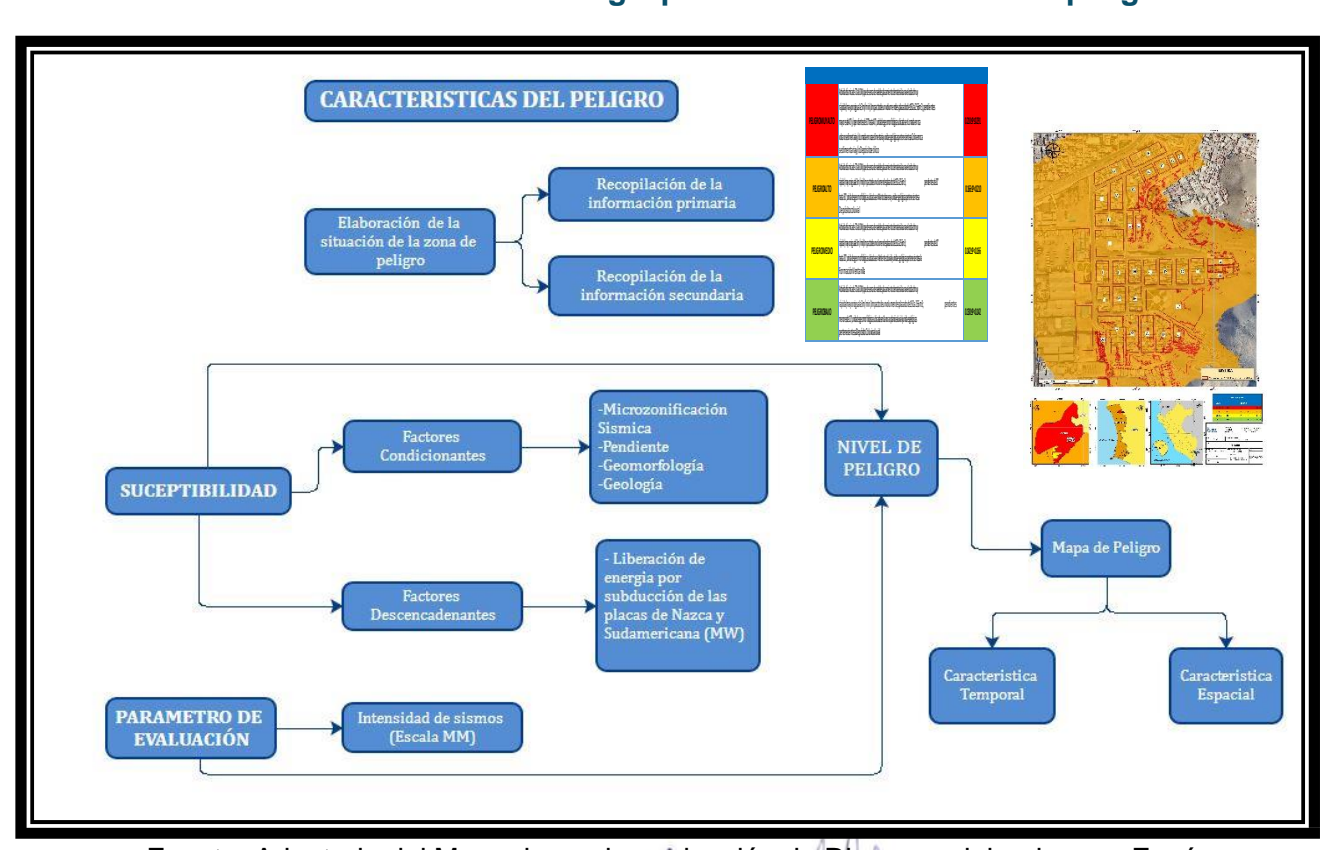
Para determinar el nivel de peligro por Sismo, se utilizó la metodología descrita en el Manual para la evaluación de riesgos originados por Fenómenos Naturales versión 02, del CENEPRED.

Se consideró las siguientes variables:

- Microzonificación Sismica
- Pendiente
- Geomorfología
- Geología

Para facilitar el trabajo, se esquematizó un gráfico que sintetiza los parámetros intervinientes en la determinación del peligro por Sismo.

Gráfico Nº 10. Metodología para determinar el nivel de peligro.

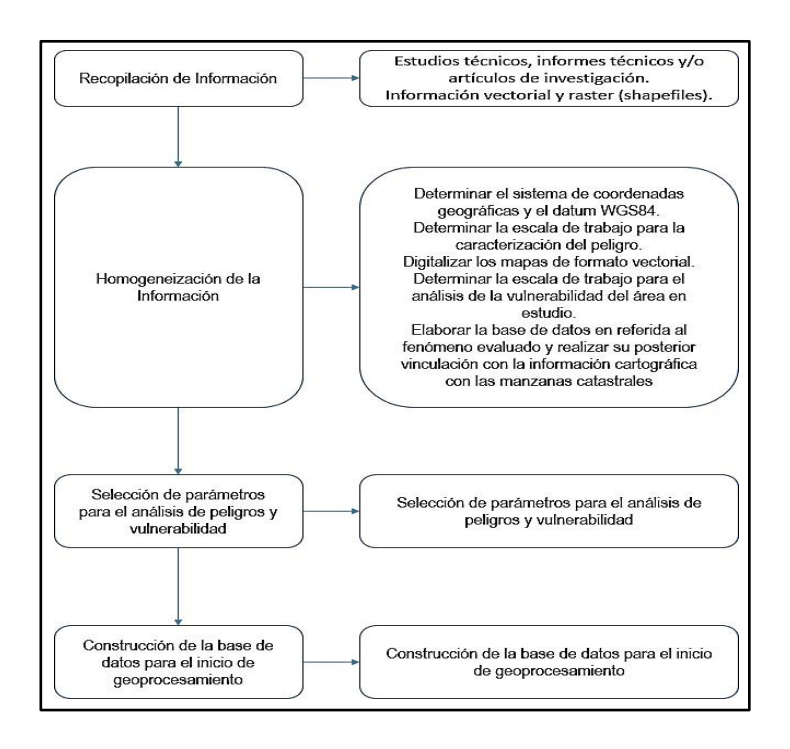


Fuente: Adaptado del Manual para la evaluación de Riesgos originados por Fenómenos



3.2. RECOPILACIÓN Y ANÁLISIS DE INFORMACIÓN





Fuente: Adaptado del Manual para la Evaluación de Riesgos originados por Fenómenos Naturales – 2da Versión.

Se recopiló información técnica proveniente de estudios publicados por entidades especializadas y competentes, como INGEMMET, IGP, CISMID, SIGRID, entre otros. Esta información incluye antecedentes históricos, estudios de peligros, cartografía, datos topográficos, hidrológicos, sísmicos, geológicos y geomorfológicos del área de estudio, con el objetivo de evaluar el riesgo asociado a la ocurrencia de sismos.

3.3. IDENTIFICACIÓN DEL PELIGRO

Para identificar y caracterizar el peligro, además de la información generada por las entidades técnicas - científicas, se ha realizado un cartografiado en campo para identificar los principales peligros de origen natural que podrían afectar el área de estudio. Ante ello, es importante precisar se ha considerado la información generada por la recopilación de información en gabinete previa a la visita de campo. En el trabajo de campo se contrastó la información y se validó la información recopilada y el peligro a evaluar es por Sismo.

R J Nº 141-2021-CENEPREDIA

Ing. Christian Isaoc Multoz Galindo
EVALUADOR DE RUESGOS
RS. Nº 145-2021-CENEPREDIJ



3.4. CARACTERIZACIÓN DEL PELIGRO

El AA.HH. Virgen de Guadalupe, debido a sus condiciones físicas constituye un área de exposición a la ocurrencia por deslizamiento como resultado de la ocurrencia de sismos, debido a que se espera un sismo de magnitud mayor a 8.0 a 9.0 Mw por ello constituyen uno de los principales peligros de origen natural que podrían afectar viviendas, infraestructura pública y privada, así como sus medios de vida.

Asimismo, se hace de conocimiento que, la información generada por el Instituto Geofísico del Perú indica que, en la jurisdicción de la Región del Callao, podría ocurrir un sismo de magnitud momento superior o mayor a 7.0 Mw, siendo fundamental reconocer las principales características físicas del área de estudio (volumen, pendiente, geología y geomorfología), a fin de determinar los niveles de peligro que podrían generarse la probabilidad de generar deslizamiento en el asentamiento en mención.

En los deslizamientos rotacionales, los bloques ubicados en la parte superior tienden a inclinarse hacia atrás, mientras que el escarpe principal suele presentar una forma casi vertical. La masa movilizada se desplaza cuesta abajo, acumulándose en la ladera, y presenta una baja deformación interna. Posteriormente, pueden producirse movimientos secundarios que provocan el retroceso progresivo de la corona del deslizamiento. La velocidad y extensión de estos fenómenos es altamente variable, dependiendo de las condiciones geotécnicas del terreno.

Por otro lado, los deslizamientos traslacionales son, en general, menos profundos que los rotacionales. Estos se caracterizan por un movimiento paralelo a la superficie del terreno, condicionado principalmente por planos de debilidad en los materiales formadores.

Además del análisis de deslizamientos, se ha identificado que el área de estudio presenta susceptibilidad a procesos de licuefacción de suelos, debido al tipo de material predominante y a la presencia de pendientes moderadas a bajas. Esta condición, combinada con la existencia de materiales sueltos o saturados, podría incrementar significativamente el nivel de riesgo en caso de un sismo de gran magnitud.



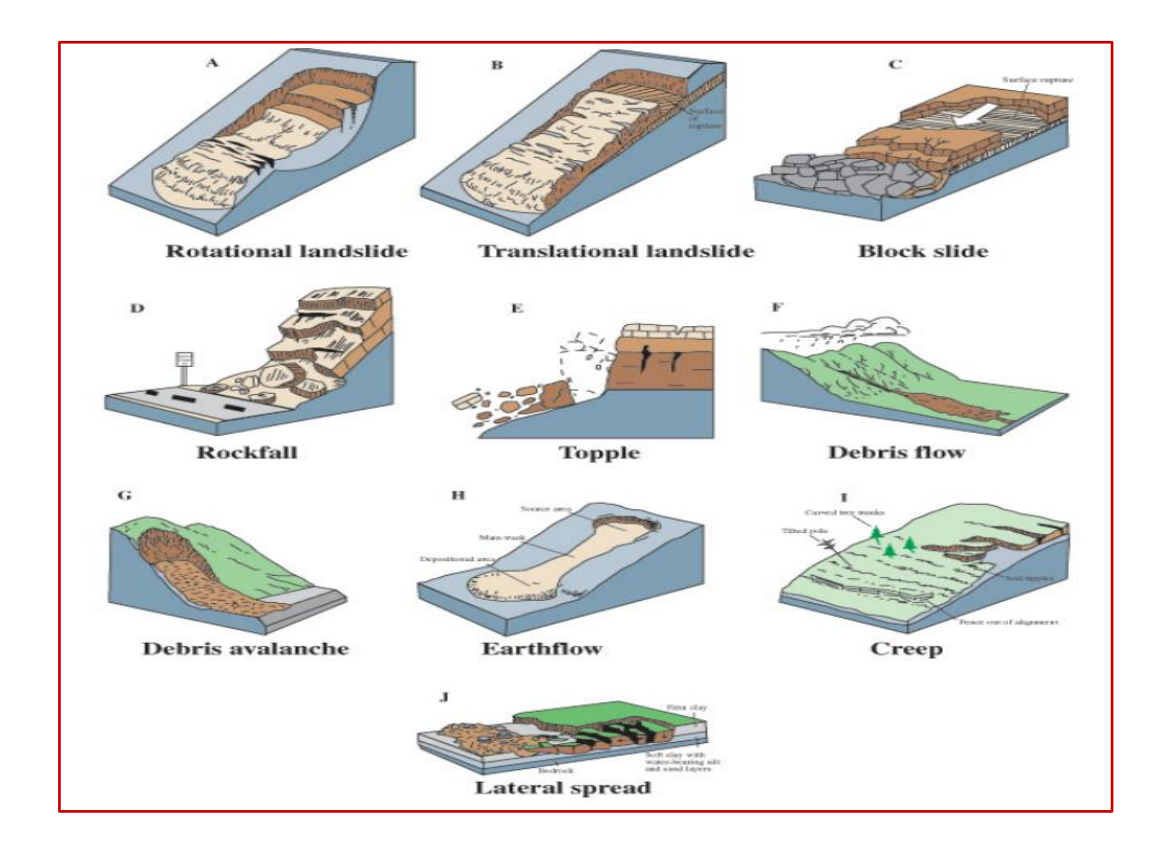


Figura Nº 9: Ejemplos de algunos de los tipos de deslizamientos de tierra.

En el área de estudio se ha identificado un nivel de susceptibilidad alto a movimientos en masa, determinado por diversos factores condicionantes. Entre ellos, destacan las unidades geológicas, que evidencian la presencia de materiales poco consolidados, como el basamento volcánico-sedimentario, lo cual favorece la inestabilidad del terreno y facilita el desplazamiento de masas.

Asimismo, las unidades geomorfológicas permiten comprender la morfología del territorio en función de las pendientes y del tipo de material de formación. En este contexto, se ha considerado técnicamente adecuado asignar una mayor ponderación a las pendientes del terreno, dado que este factor influye directamente en la velocidad y dirección del deslizamiento. Como es ampliamente reconocido, a mayor pendiente, mayor es la probabilidad de ocurrencia y el impacto del fenómeno, en comparación con zonas de pendiente baja.







3.5 Condiciones sísmicas

De acuerdo a la historia sísmica del Perú, la región central ha sido afectada en varias oportunidades por eventos sísmicos de variada magnitud que han generado altos niveles de intensidad, puesta en evidencia con los daños observados post-sismo en cada área urbana (Silgado, 1978).

Al ser los sismos cíclicos, es de esperarse que, en el futuro, las mismas áreas urbanas sean afectadas por nuevos eventos sísmicos con la misma o mayor intensidad. Entonces, no es tan importante el tamaño del sismo, sino la intensidad del sacudimiento del suelo, la educación de la población y la calidad de las construcciones presentes en cada área urbana.

Se ha elaborado el siguiente registro histórico de los sismos de mayor magnitud que han afectado la costa central del Perú que han afectado el departamento de Lima, específicamente la provincia de Lima en donde se encuentra ubicada nuestra área de estudio.

Cuadro 14: Registro histórico de sismos de mayor magnitud en Lima

N°	Fecha	Mag	Lugar	Víctimas y daños materiales
1	15 noviembre de 1555	7	Lima	Causó serios daños en las edificaciones de Lima.
2	9 julio de 1586	8.6	Lima y el Callao	Se registraron 22 muertos. La torre de la Catedral de Lima y las partes altas de edificios se derrumbaron. El maremoto arrasó el Callao y otros poblados.

3	19 octubre de 1609	8.5	Lima y el Callao	Se registraron aproximadamente 200 muertos. Alrededor de 500 casas en Lima se derrumbaron y la Catedral fue seriamente afectada.
4	27 noviembre de 1630	8.5	Lima y el Callao	Varios muertos y contusos en Lima. Destrucción de algunos edificios en Lima y el Callao.
5	13 noviembre de 1655	8	Lima y el Callao	Un muerto. Gran destrucción en Lima y el Callao. Se abrieron dos grietas en la Plaza Mayor y se derrumbó la iglesia de los jesuitas. Graves daños en el presidio de la isla San Lorenzo.
6	17 junio de 1678	8	Lima y el Callao	Nueve muertos. Fuerte destrucción en Lima y el Callao.
7	20 octubre de 1687	8.0 / 8.4	Lima y el Callao	Dos terremotos el mismo día. El maremoto arrasó el Callao y otras ciudades costeras. 1541 muertos. Destrucción total de Lima. Se salva la imagen del Señor de los Milagros.

(C) Seto. Velera Inscenta Provide Sunoza

Evaluador de Presgos

R J Nº 141-2021-CENEPREDIA



INFORME DE EVALUACIÓN DE RIESGOS POR SISMO EN EL ASENTAMIENTO HUMANO VIRGEN DE GUADALUPE DISTRITO DE MI PERÙ, PROVINCIA CONSTITUCIONAL DEL CALLAO

8	14 julio de 1699	7		Lima	Fuerte temblor en Lima.
9	28 octubre de 1746	8.4	Lima	y el Callao	El mayor terremoto de la historia de Lima. Maremoto gigantesco. Entre 15 000 a 20 000 muertos. En Lima se registraron alrededor de 5000 muertos. En el Callao solo se salvaron 200 personas de una población de 5000. Destrucción total de Lima y el Callao.
10	26 enero de 1777	7		Lima	Sismo muy violento.
11	1 diciembre de 1806	8.4	Lima	y el Callao	Fuerte sismo de larga duración (aproximadamente 2 minutos), acompañado de un maremoto. Daños en Lima y el Callao.
12	30 marzo de 1828	8	Lima	y el Callao	Sismo acompañado de un maremoto. 30 muertos. Serios daños en Lima. La ciudad quedó intransitable por los escombros. Otras ciudades de la costa fueron destruidas.
13	20 setiembre de 1898	6		Callao	Fuerte sismo que causó daños en edificaciones. Se sintió fuerte en el Callao.
14	4 marzo de 1904	6.4	Lima	y el Callao	5 muertos. Los mayores daños materiales ocurrieron en Chorrillos y el Callao.
15	11 marzo de 1926	6		Lima	Fuerte sismo en Lima. Se produjeron derrumbes en la ruta del ferrocarril central.
16	24 mayo de 1940	8.2	Lima	y el Callao	Sismo acompañado de un maremoto. Se sintió desde Guayaquil, en el norte, hasta Arica, en el sur. Causó 179 muertos y 3,500 heridos. Las zonas más afectadas en Lima fueron el Centro, Barranco, La Molina y Chorrillos.
17	25 junio de 1945	5	Lima		Temblor muy fuerte en Lima. Causó cuarteaduras en el Barrio Obrero del Rímac. Se sintió desde Supe hasta Pisco, en la costa.
18	31 enero de 1951		7	Lima	Fuerte temblor en Lima. El movimiento se sintió en el litoral, desde el paralelo 10° hasta el 14°.
19	22 de mayo de 1960				Sismo originado frente a las costas de Chile, por su magnitud, en la Punta (Callao) el mareógrafo registro 2.2 m de altura. No hubo daños.







20	17 octubre de 1966	7.5	Lima y el Callao	Sismo acompañado de un maremoto moderado. 220 muertos, 1800 heridos, 258 000 damnificados. Las zonas más afectadas de Lima fueron La Molina, Puente Piedra, las zonas antiguas del Rímac y del Cercado, las zonas adyacentes a los cerros y una banda a lo largo del río Rímac hasta el Callao.
21	3 octubre de 1974	7.2	Lima	Duración de cerca de 2 minutos. 252 muertos, 3600 heridos, 300 000 damnificados. Las ciudades de Lima, Mala, Cañete, Chincha y Pisco fueron afectadas. En Lima sufrieron daños edificios públicos, iglesias y monumentos históricos. El Tsunami inundó varias fábricas en el Callao.
22	8 abril de 1998	6	Lima	13 muertos, 200 heridos y más de 480 familias damnificadas.

Fuente: Vargas Ugarte, Rubén: Historia General del Perú. Tomo II. Editor: Carlos Milla Batres. Lima, Perú, 1981. ISBN 84499-4813-4

El Instituto Nacional de Defensa Civil (INDECI), en el año 2017, realizó un estudio llamado "Escenario Sísmico para Lima Metropolitana y el Callao: Sismo 8.8 Mw". En el cual se señala que se cuenta con valiosa información proveniente de investigaciones científicas que han puesto en evidencia que, en la zona de contacto de las placas de Nazca y Sudamericana, a lo largo del margen peruano, actualmente existe al menos tres áreas con importante acumulación de energía sísmica, también conocidas como asperezas o zonas de acoplamiento sísmico, que darían lugar terremotos de gran magnitud en el futuro.

La más importante de estas zonas, en términos de tamaño y magnitud estimada, se ubica frente a la costa central del Perú, abarcando la región Lima y parte de las regiones de Ancash por el norte e lca por el sur. Las investigaciones postulan que, de liberarse la energía sísmica acumulada desde el gran terremoto de 1746, se podría generar un sismo de magnitud entre 8.5 y 88 Mw (magnitud de momento). Este sismo sería el repetitivo del ocurrido en 1746.

Las zonas más propensas ante la ocurrencia de un sismo de gran magnitud, a lo largo del borde occidental del Perú, se han documentado a través de una serie de estudios efectuados por instituciones de investigación nacional e internacional como el Instituto Geofísico del Perú (IGP), Instituto de Investigación de Francia (IRD), entre otros.

La primera metodología se basa en el análisis de las áreas de ruptura de sismos ocurridos en el pasado y sus consecuentes lagunas sísmicas, las cuales se definen como áreas donde en el pasado han ocurrido eventos de gran magnitud y se espera

R J Nº 141-2021-CENEPREDIA



INFORME DE EVALUACIÓN DE RIESGOS POR SISMO EN EL ASENTAMIENTO HUMANO VIRGEN DE GUADALUPE DISTRITO DE MI PERÙ. PROVINCIA CONSTITUCIONAL DEL CALLAO

la ocurrencia de otro de similares características.

De acuerdo a Tavera (2014), se ha identificado la presencia de una laguna sísmica en la región central del Perú que vendría acumulando energía sísmica desde el año 1746 (hace 270 años). Los sismos que ocurrieron en los años 1940, 1966, 1970 y 1974, con magnitudes menores o iguales a 8.0 Mw, no habrían liberado el total de la energía sísmica acumulada en dicha región.

La segunda metodología, netamente estadística, se basa en identificar zonas de asperezas sísmicas utilizando un catálogo sísmico y una serie de algoritmos propuesto por Wiemer y Zúñiga (1994). Condori y Tavera (2012), haciendo uso del catálogo sísmico del Perú para el periodo entre 1960 y 2012, identificaron 5 asperezas, cuyas dimensiones permitieron estimar la magnitud de dichos eventos.

Las asperezas identificadas frente a la costa de la región central de Perú (A3 y A4), estarían asociadas al terremoto de 1746. De acuerdo a las dimensiones de ambas asperezas, la liberación de energía acumulada en esta zona podría generar un sismo de magnitud momento 8.8Mw. Según esta metodología se tendría una probabilidad mayor a 70% de producir sismos importantes en los próximos 75 años.

La tercera y más reciente metodología lo constituye la Geodesia Espacial, cuya técnica permite monitorear los movimientos de la superficie terrestre con nivel de precisión de 1mm. Chlieh et al. (2011), haciendo uso de datos GPS obtenidos a partir de campañas geodésicas entre los años 1998 y 2005, identificaron cuatro zonas de acoplamiento sísmico (asperezas). Para la región central se ha identificado dos áreas de acoplamiento (A1), siendo la ubicada al norte, la de mayor tamaño. Ambas parecen estar conectadas formando una zona con longitud, paralela a la costa, de 350 km. La magnitud del sismo ha sido estimada en 8.5-8.7 Mw. Estas áreas también estarían asociadas al terremoto de 1746.







-2 DESCRIPCION Mapa de Acoplamiento Sísmico para la zona de subducción del Perú, obtenido a partir del modelamiento de velocidades GPS. Tumbes -4 La escala de colores representa el nivel de acoplamiento o acumulación de esfuerzos (energía) en la interfaz de contacto de las placas de Nazca y Sudaméricana. Piura Las áreas de color rojo representan áreas o -6 asperezas que están fuertemente acopladas, impidiendo el deslizamietno y acumulando con Chiclayo el tiempo suficiente energía para producir 1960 terremotos de gran magnitud en el futuro. Las Piura áreas de color amarillo y claro son zonas donde (7.6 Mw) rujillo el acoplamiento es débil a moderado. -8 Las líneas discontinuas representan las áreas de ruptura de los sismos más importantes que Chimbote han ocurrido en el siglo pasado. Notése que el 1996 terremoto de 1746 abarca todo el segmento de Chimbote subducción de la región central de Perú. 1966 -10 (7.5 Mw) Fuente: Villegas-Lanza et al., (2016) JGR. (8.0 Mw) luacho 1940 (8.0 Mw) -12° Lima **Gran Terremoto** de 1746 ~8.6M 1974 Pisco (8.0 Mw) -14 2007 (8.0 Mw) Nasca -16Acoplamiento 8.0 Arequipa 1996 Nasca (7.6 Mw) INSTITUTO GEOFISICO DEL PERU 2001 ib-Dirección de Ciencias de la Tierra Sólida Areguipa Unidad de Geodesia Espacial -18 (8.4 Mw) Mapa acna Acoplamiento Sísmico Gran terremoto 0.0 x 1009 Arica de 1868 ~8.6M -82 -80° -78° -76° -74° -72° -70

Figura 10: Mapa de acoplamiento intersísmico a partir de datos GPS

Fuente: Chlieh et al., 2011.







3.6 Intensidades sísmicas

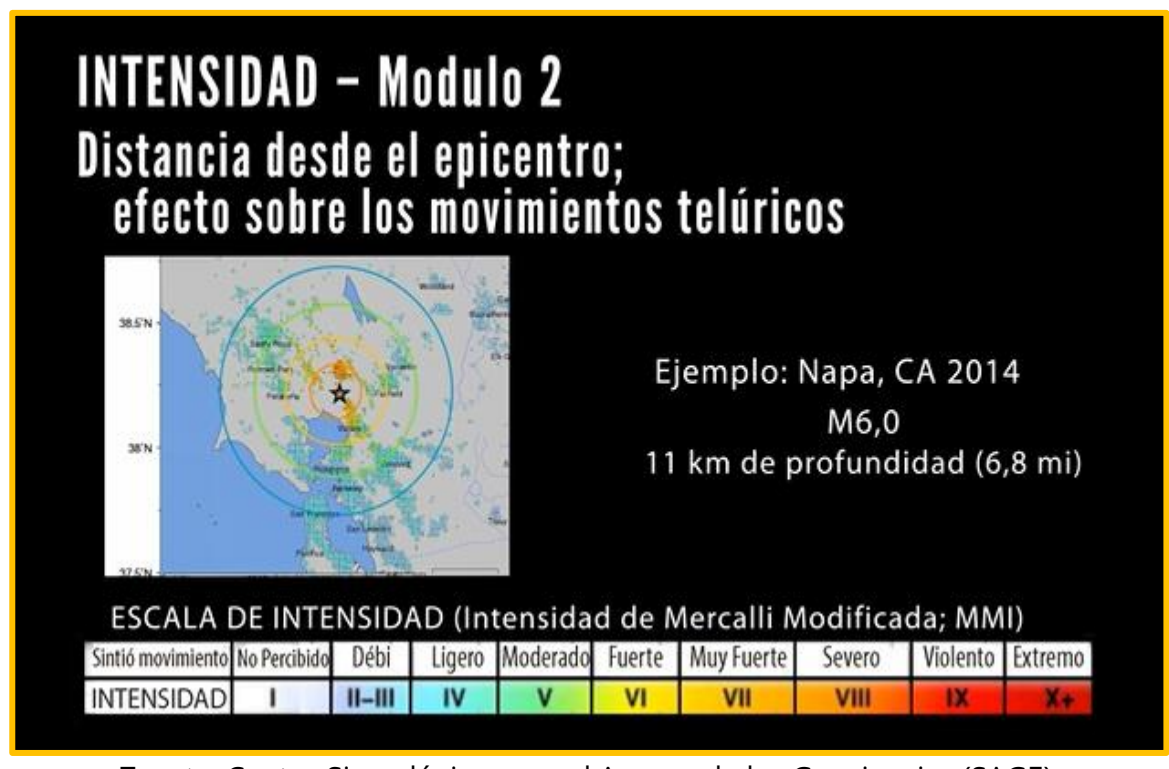
A la ocurrencia de un evento símico de gran magnitud, los suelos son sacudidos con diferentes niveles de intensidad, dependiendo básicamente de su constitución física y geológica, causantes de la amplificación de ondas en diferentes niveles.

Suelos poco o nada compactos producen mayor amplificación de las ondas sísmicas y, por ende, el suelo se sacude con mayor intensidad, produciendo daños en viviendas y cambios geomorfológicos en superficie con la ocurrencia de deslizamientos de tierra y piedras y/o procesos de licuación de suelos. Este escenario no se presenta o es menor en suelos rocosos y/o compactos.

Desde los inicios de la sismología, esta información fue de mucha utilidad para la elaboración de los mapas de intensidades y recientemente, su aplicación se realiza utilizando la escala de Mercalli Modificada.

De acuerdo a lo indicado, si en el pasado a la ocurrencia de un sismo de magnitud elevada, una determinada zona soportó altas intensidades de sacudimiento del suelo produciendo daños importantes, a la ocurrencia de un próximo evento, será afectada con las mismas o mayores intensidades y los daños —probablemente— sean mayores debido al crecimiento desordenado de las ciudades.

En este sentido, resulta fundamental analizar los niveles de intensidad registrados en los sismos históricos del Perú, con el objetivo de elaborar planes de gestión del riesgo que orienten el uso adecuado del suelo y su ocupación segura, contribuyendo así a la reducción de la vulnerabilidad en zonas expuestas.



Fuente: Centro Sismológico para el Avance de las Geociencias (SAGE).





Cuadro 15: Escala de intensidades de Mercalli Modificada

GRADO	DESCRIPCIÓN
I	No sentido excepto por algunas personas bajo circunstancias especialmente favorables.
II	Sentido solo por muy pocas personas en reposo, especialmente en pisos altos. Objetos suspendidos pueden oscilar.
III	Sentido por personas dentro de edificaciones, especialmente las ubicadas en pisos superiores. Muchas personas no se dan cuenta que se trata de un sismo. Automóviles parados pueden balancearse ligeramente. Vibraciones como las producidas por el paso de un camión. Duración apreciable.
IV	Durante el día sentido en interiores por muchos, al aire libre por algunos. Por la noche algunos se despiertan. Ventanas y puertas son agitadas; las paredes crujen. Sensación como si un camión pesado chocara contra el edificio. Automóviles parados se balancean apreciablemente.
V	Sentido por casi todos, muchos se despiertan. Algunas ventanas y puertas de vidrio de rompen; grietas en el revestimiento de algunos sitios. Objetos inestables volcados. Algunas veces se aprecia balanceo de árboles, postes y otros objetos altos. Los péndulos de los relojes pueden pararse.
VI	Sentido por todos, muchos se asustan y salen al exterior. Algunos muebles pesados se mueven; algunos casos de caída de revestimientos y paredes inestables. Daño leve.
VII	Muchas personas corren al exterior. Daño significante en edificios de buen diseño y construcción; leve a moderado en estructuras bien construidas; considerable en estructuras pobremente construidas o mal diseñadas; caída de paredes inestables. Notado por personas que conducen automóviles.
VIII	Daño leve en estructuras de diseño especial; considerable en edificios corrientes sólidos con colapso parcial; grande en estructuras de construcción pobre. Paredes separadas de la estructura. Caída de paredes inestables, rimeros de fábricas, columnas, monumentos y paredes. Muebles pesados volcados. Posibles procesos de licuación de suelos. Cambios en niveles de agua en pozos. Conductores en automóviles entorpecidos. En zonas costeras generación de tsunami. En zonas andinas y subandinas, presencia de deslizamientos.
IX	Daño considerable en estructuras de diseño especial; estructuras con armaduras bien diseñadas pierden la vertical; grande en edificios sólidos con colapso parcial. Los edificios se desplazan de los cimientos. Grietas visibles en el suelo. Tuberías subterráneas rotas. Procesos de licuación de suelos. En zonas costeras generación de tsunami y procesos de licuación de suelos. En zonas andinas y subandinas, presencia de deslizamientos.
X	Algunos edificios bien construidos en madera, destruidos; la mayoría de las obras de estructura de ladrillo, destruidas con los cimientos; suelo muy agrietado. Carriles torcidos. Corrimientos de tierra considerables en las orillas de los ríos y en laderas escarpadas. En zonas costeras generación de tsunami de gran envergadura y procesos de licuación de suelos. En zonas andinas y subandinas, presencia de deslizamientos.

Ing. Christian Isacc Multoz Galindo
EVALUADOR DE RIESGOS
RS. Nº 145-2021-CEMEPREDIJ

■ Evaluador de Riesgos R J № 141-2021-CENEPREDIS



INFORME DE EVALUACIÓN DE RIESGOS POR SISMO EN EL ASENTAMIENTO HUMANO VIRGEN DE GUADALUPE DISTRITO DE MI PERÙ, PROVINCIA CONSTITUCIONAL DEL CALLAO

XI	Pocas o ninguna obra de albañilería queda en pie. Puentes destruidos. Anchas grietas en el suelo. Tuberías subterráneas completamente fuera de servicio. La tierra se hunde y el suelo se desliza en terrenos blandos. Carriles muy retorcidos. En zonas costeras generación de tsunamis y procesos de licuación de suelos. En zonas andinas y subandinas, presencia de deslizamientos.
XII	Destrucción total.

Fuente: Instituto Geofísico del Perú (IGP, 1746).







3.7 Magnitud de sismo en el Callao

En el área de estudio se estima un sismo de 8.0 a 9.0 Mw en base al análisis histórico de los sismos ocurridos en el territorio peruano descrito anteriormente (ver Cuadro N° 14).

3.8 PELIGRO POR SISMO

3.8.1 Parámetros del peligro

Para caracterizar el peligro en nuestra área de estudio, se consideran los parámetros que definen como factores condicionantes: volumen, pendiente, geomorfológicas y geología, los cuáles han sido detallados en el numeral 2.4 correspondiente a las características físicas del área de estudio, el factor desencadenante: Liberación de energía por subducción de las placas de Nazca y Sudamericana, cuyo análisis y cálculos correspondientes nos identificará los niveles de peligrosidad para la zona de estudio. En este ítem desarrollaremos el parámetro de evaluación, los factores desencadenantes y factores condicionantes:

Cuadro N° 16. Variables del peligro por Sismo

FACTOR	PARÁMETRO
Factores condicionantes	Microzonificación Sismica
	Pendiente
	Geomorfología
	Geología
Factor desencadenante	Liberación de energía por subducción de las placas de
	Nazca y Sudamericana (Mw)
Parámetro de evaluación	Intensidad de sismos (Escala MM)







3.8.2 Ponderación de los parámetros de peligro

Para la obtención de los pesos ponderados del parámetro de evaluación, se utilizó el proceso de análisis jerárquico y lo indicado por el Manual para la Evaluación de Riesgos originados por fenómenos naturales, 2da Versión.

3.8.3 Parámetros de evaluación

Para determinar los Parámetros de Evaluación, se tomó como base lo indicado por el Manual para la Evaluación de Riesgos originados por fenómenos naturales, 2da Versión.

Cuadro N°17. Parámetro de evaluación.

PARAMETRO	DESCRIPTOR	N° DE DESCRIPTORES	DESCRIPTORES
	IS1	5	>IX
	IS2		VII - IX
INTENSIDAD DE SISMOS (ESCALA MM)	IS3		V - VII
	IS4		III - V
	IS5		<

Fuente: Elaboración Propia.

Cuadro N° 18. Matriz de comparación de pares del parámetro de evaluación Intensidad de Sismos (Escala MM)

INTENSIDAD DE SISMOS (ESCALA MM)	>IX	VII - IX	V - VII	III - V	<iii< th=""></iii<>
> X	1.00	3.00	5.00	7.00	9.00
VII - IX	0.33	1.00	3.00	5.00	7.00
V - VII	0.20	0.33	1.00	3.00	5.00
III - V	0.14	0.20	0.33	1.00	3.00
<	0.11	0.14	0.20	0.33	1.00
SUMA	1.79	4.68	9.53	16.33	25.00
1/SUMA	0.56	0.21	0.10	0.06	0.04

Fuente: Elaboración propia.

Cuadro N° 19 Matriz de normalización de pares del parámetro de evaluación Intensidad de Sismos (Escala MM)

INTENSIDAD DE SISMOS (ESCALA MM)	>IX	VII - IX	V - VII	III - V	<	Vector de Priorización
>IX	0.560	0.642	0.524	0.429	0.360	0.503
VII - IX	0.187	0.214	0.315	0.306	0.280	0.260
V - VII	0.112	0.071	0.105	0.184	0.200	0.134
III - V	0.080	0.043	0.035	0.061	0.120	0.068
<iii< th=""><th>0.062</th><th>0.031</th><th>0.021</th><th>0.020</th><th>0.040</th><th>0.035</th></iii<>	0.062	0.031	0.021	0.020	0.040	0.035
	1.000	1.000	1.000	1.000	1.000	1.000

Fuente: Elaboración propia.

Cuadro N° 20. RELACIÓN DE CONSISTENCIA.

IC	0.0607
RC	0.0544

Fuente: Elaboración propia.

3.8.4 Susceptibilidad del territor

CTG-60-Hore's Tracerts Protein Scripts
communic Evaluation de Riesgos
R J Nº 141-2321-CENEPREDIA





INFORME DE EVALUACIÓN DE RIESGOS POR SISMO EN EL ASENTAMIENTO HUMANO VIRGEN DE GUADALUPE DISTRITO DE MI PERÙ, PROVINCIA CONSTITUCIONAL DEL CALLAO

Para la evaluación de la susceptibilidad del área de estudio se consideraron los siguientes factores:

Cuadro N°21. Matriz de análisis de susceptibilidad.

FACTORES CONDICIONANTES	VECTOR PRIORIZACIÓN
Microzonificación Sismica	0.482
Pendiente	0.272
Geomorfología	0.158
Geología	0.088

Fuente: Elaboración propia.

3.8.4.1 Análisis del factor desencadenante

Para evaluar el peligro por sismo en el área de estudio se ha considerado la Liberación de energía por subducción de las placas de Nazca y Sudamericana, la cual se encuentra expresada en la escala magnitud (Mw), debido a que esta escala representa la cantidad de energía liberada por el choque de placas y constituye la única forma de cuantificar el evento sísmico. Para la obtención de los pesos ponderados del parámetro del factor desencadenante, se utilizó el proceso de análisis jerárquico:

Cuadro N°22. Factor desencadenante

PARAMETRO	DESCRIPTOR	N° DE DESCRIPTORES		DESCRIPTORES	
	D1			Liberación de energía por subducción de las placas de Nazca y Sudamericana (> 9.0 Mw)	
LIBERACIÓN DE ENERGÍA POR	D2			Liberación de energía por subducción de las placas de Nazca y Sudamericana (8.0 - 9.0 Mw)	
SUBDUCCIÓN DE LAS PLACAS DE NAZCA Y SUDAMERICANA (MW)	D3	5	5		Liberación de energía por subducción de las placas de Nazca y Sudamericana (7.0 - 8.0 Mw)
	D4			Liberación de energía por subducción de las placas de Nazca y Sudamericana (6.0 - 7.0 Mw)	
	D5			Liberación de energía por subducción de las placas de Nazca y Sudamericana (< 6.0 Mw)	

Fuente: Elaboración propia.

COSCO-Venta Tisserta Prospe Sureza crusosas Evaluados de Riesegos R J Nº 141-2321-CENEPREDIS Ing. Christian Isaoc Muhoz Galindo
EVALUADOR DE RIESGOS
BENEFIER RS. N° 145-2021 CENEPREDIU



Cuadro N° 23. Matriz de comparación de pares del factor desencadenante (Liberación de energía por subducción de las placas de Nazca y Sudamericana).

LIBERACIÓN DE ENERGÍA POR SUBDUCCIÓN DE LAS PLACAS DE NAZCA Y SUDAMERICANA (MW)	Liberación de energía por subducción de las placas de Nazca y Sudamericana (> 9.0 Mw)	Liberación de energía por subducción de las placas de Nazca y Sudamericana (8.0 - 9.0 Mw)	Liberación de energía por subducción de las placas de Nazca y Sudamericana (7.0 - 8.0 Mw)	Liberación de energía por subducción de las placas de Nazca y Sudamericana (6.0 - 7.0 Mw)	Liberación de energía por subducción de las placas de Nazca y Sudamericana (< 6.0 Mw)
Liberación de energía por subducción de las placas de Nazca y Sudamericana (> 9.0 Mw)	1.00	2.00	5.00	7.00	9.00
Liberación de energía por subducción de las placas de Nazca y Sudamericana (8.0 - 9.0 Mw)	0.50	1.00	2.00	5.00	7.00
Liberación de energía por subducción de las placas de Nazca y Sudamericana (7.0 - 8.0 Mw)	0.20	0.50	1.00	2.00	5.00
Liberación de energía por subducción de las placas de Nazca y Sudamericana (6.0 - 7.0 Mw)	0.14	0.20	0.50	1.00	2.00
Liberación de energía por subducción de las placas de Nazca y Sudamericana (< 6.0 Mw)	0.11	0.14	0.20	0.50	1.00
SUMA	1.95	3.84	8.70	15.50	24.00
1/SUMA	0.51	0.26	0.11	0.06	0.04

Fuente: Elaboración propia.

Cuadro N° 24. Matriz de normalización de pares del factor desencadenante (Liberación de energía por subducción de las placas de Nazca y Sudamericana).

LIBERACIÓN DE ENERGÍA POR SUBDUCCIÓN DE LAS PLACAS DE NAZCA Y SUDAMERICANA (MW)	Liberación de energía por subducción de las placas de Nazca y Sudamericana (> 9.0 Mw)	Liberación de energía por subducción de las placas de Nazca y Sudamericana (8.0 - 9.0 Mw)	Liberación de energía por subducción de las placas de Nazca y Sudamericana (7.0 - 8.0 Mw)	Liberación de energía por subducción de las placas de Nazca y Sudamericana (6.0 - 7.0 Mw)	Liberación de energía por subducción de las placas de Nazca y Sudamericana (< 6.0 Mw)	Vector Priorizacion
Liberación de energía por subducción de las placas de Nazca y Sudamericana (> 9.0 Mw)	0.512	0.520	0.575	0.452	0.375	0.487
Liberación de energía por subducción de las placas de Nazca y Sudamericana (8.0 - 9.0 Mw)	0.256	0.260	0.230	0.323	0.292	0.272

R J Nº 141-2321-CENEPREDIA

RS. Nº 145-2021-CEMEPPEDLI

INFORME DE EVALUACIÓN DE RIESGOS POR SISMO EN EL ASENTAMIENTO HUMANO VIRGEN DE GUADALUPE DISTRITO DE MI PERÙ, PROVINCIA CONSTITUCIONAL DEL CALLAO

Liberación de energía por subducción de las placas de Nazca y Sudamericana (7.0 - 8.0 Mw)	0.102	0.130	0.115	0.129	0.208	0.137
Liberación de energía por subducción de las placas de Nazca y Sudamericana (6.0 - 7.0 Mw)	0.073	0.052	0.057	0.065	0.083	0.066
Liberación de energía por subducción de las placas de Nazca y Sudamericana (< 6.0 Mw)	0.057	0.037	0.023	0.032	0.042	0.038
	1.000	1.000	1.000	1.000	1.000	1.000

Fuente: Elaboración propia.

Cuadro N° 25. RELACIÓN DE CONSISTENCIA.

IC	0.021
RC	0.019

Fuente: Elaboración propia.

3.8.4.2 Análisis de los factores condicionantes

Para la obtención de los pesos ponderados de los parámetros de los factores condicionantes, se utilizó el proceso de análisis jerárquico. Los resultados obtenidos son los siguientes:

a) Factor condicionante Microzonificación Sismica

La Microzonificación Sismica se ha clasificado de la siguiente manera, considerando que las zonas presentan mayor susceptibilidad a Desplazamiento:

Cuadro N° 26. Matriz de comparación de pares del factor condicionante Microzonificación Sísmica

MICROZONIFICACIÓN SISMICA	Zona V	Zona III	Zona II	Zona I	FR
Zona V	1.00	2.00	3.00	4.00	6.00
Zona III	0.50	1.00	2.00	3.00	4.00
Zona II	0.33	0.50	1.00	2.00	3.00
Zona I	0.25	0.33	0.50	1.00	2.00
FR	0.17	0.25	0.33	0.50	1.00
SUMA	2.25	4.08	6.83	10.50	16.00
1/SUMA	0.44	0.24	0.15	0.10	0.06

Fuente: Elaboración propia (Sec. Heira Procue Suncas Evaluados de Riesgos R J Nº 141-2021 CENEPREDIS

EVALUADOR DE RIESGOS R.S. N° 145-2021-CENEPREDIJ



Cuadro N° 27. Matriz de normalización de pares del factor condicionante Microzonificación Sísmica

MICROZONIFICACIÓN SISMICA	Zona V	Zona III	Zona II	Zona I	FR	Vector Priorizacion
Zona V	0.444	0.490	0.439	0.381	0.375	0.426
Zona III	0.222	0.245	0.293	0.286	0.250	0.259
Zona II	0.148	0.122	0.146	0.190	0.188	0.159
Zona I	0.111	0.082	0.073	0.095	0.125	0.097
FR	0.074	0.061	0.049	0.048	0.063	0.059
	1.000	1.000	1.000	1.000	1.000	1.000

Fuente: Elaboración propia.

Cuadro N° 28. RELACIÓN DE CONSISTENCIA.

IC	0.012
RC	0.011

Fuente: Elaboración propia.

b) Factor condicionante pendiente

Se ha considerado que las zonas con menor pendiente serían las más susceptibles frente a un Sismo.

Cuadro N° 29. Matriz de comparación de pares del factor condicionante Pendiente.

PENDIENTE	> 35°	25° - 35°	15° - 25°	5° - 15°	<5°
> 35°	1.00	2.00	3.00	4.00	5.00
25° - 35°	0.50	1.00	2.00	3.00	4.00
15° - 25°	0.33	0.50	1.00	2.00	3.00
5° - 15°	0.25	0.33	0.50	1.00	2.00
<5°	0.20	0.25	0.33	0.50	1.00
SUMA	2.28	4.08	6.83	10.50	15.00
1/SUMA	0.44	0.24	0.15	0.10	0.07

Fuente: Elaboración propia.

Cuadro N° 30. Matriz de normalización de pares del factor condicionante Pendiente.

PENDIENTE	> 35°	25° - 35°	15° - 25°	5° - 15°	<5°	Vector Priorizacion
> 35°	0.438	0.490	0.439	0.381	0.333	0.416
25° - 35°	0.219	0.245	0.293	0.286	0.267	0.262
15° - 25°	0.146	0.122	0.146	0.190	0.200	0.161
5° - 15°	0.109	0.082	0.073	0.095	0.133	0.099
<5°	0.088	0.061	0.049	0.048	0.067	0.062
	1.000	1.000	1.000	1.000	1.000	1.000

Fuente: Elaboración propia.

Cuadro N° 31. RELACIÓN DE CONSISTENCIA.

IC	0.017
RC	0.015







c) Factor condicionantes unidades geomorfológicas

Cuadro N° 32. Matriz de comparación de pares del factor condicionante unidades geomorfológicas.

GEOMORFOLOGÍA	Lomada en roca sedimentaria	Manto de arena	Zona de escarpe	Llanura coluvio aluvial	Vertiente coluvial
Lomada en roca sedimentaria	1.00	2.00	3.00	4.00	6.00
Manto de arena	0.50	1.00	2.00	3.00	4.00
Zona de escarpe	0.33	0.50	1.00	2.00	3.00
Llanura coluvio aluvial	0.25	0.33	0.50	1.00	2.00
Vertiente coluvial	0.17	0.25	0.33	0.50	1.00
SUMA	2.25	4.08	6.83	10.50	16.00
1/SUMA	0.44	0.24	0.15	0.10	0.06

Fuente: Elaboración propia.

Cuadro N° 33. Matriz de normalización de pares del factor condicionante unidades geomorfológicas.

GEOMORFOLOGÍA	Lomada en roca sedimentaria	Manto de arena	Zona de escarpe	Llanura coluvio aluvial	Vertiente coluvial	Vector Priorización
Lomada en roca sedimentaria	0.444	0.490	0.439	0.381	0.375	0.426
Manto de arena	0.222	0.245	0.293	0.286	0.250	0.259
Zona de escarpe	0.148	0.122	0.146	0.190	0.188	0.159
Llanura coluvio aluvial	0.111	0.082	0.073	0.095	0.125	0.097
Vertiente coluvial	0.074	0.061	0.049	0.048	0.063	0.059
	1.000	1.000	1.000	1.000	1.000	1.000

Fuente: Elaboración propia.

Cuadro N° 34; RELACIÓN DE CONSISTENCIA.

IC	0.012
RC	0.011

Fuente: Elaboración propia.

d) Factor condicionantes unidades geológicas.

Se ha considerado las siguientes unidades geológicas locales.

Cuadro N° 35. Matriz de comparación de pares del factor condicionante unidades geológicas.

R J Nº 141-2021-CENEPREDIS

	_				
GEOLOGÌA	Depósito coluvial	Formación Ventanilla	Depósito eólico	Depósito coluvio aluvial	Colina en roca sedimentaria
Depósito coluvial	1.00	2.00	3.00	4.00	5.00
Formación Ventanilla	0.50	1.00	2.00	3.00	4.00
Depósito eólico	0.33	0.50	1.00	2.00	3.00
Depósito coluvio aluvial	0.25	0.33	0.50	1.00	2.00
Colina en roca sedimentaria	0.20	0.25	0.33	0.50	1.00
SUMA	2.28	4.08	6.83	10.50	15.00
1/SUMA	0.44	0.24	0.15	0.10	0.07

Fuente: Elaboración propia.



65



Cuadro N° 36. Matriz de normalización de pares del factor condicionante unidades geológicas.

GEOLOGÌA	Depósito coluvial	Formación Ventanilla	Depósito eólico	Depósito coluvio aluvial	Colina en roca sedimentaria	Vector Priorización
Depósito coluvial	0.438	0.490	0.439	0.381	0.333	0.416
Formación Ventanilla	0.219	0.245	0.293	0.286	0.267	0.262
Depósito eólico	0.146	0.122	0.146	0.190	0.200	0.161
Depósito coluvio aluvial	0.109	0.082	0.073	0.095	0.133	0.099
Colina en roca sedimentaria	0.088	0.061	0.049	0.048	0.067	0.062
	1.000	1.000	1.000	1.000	1.000	1.000

Fuente: Elaboración propia.

Cuadro N° 37; RELACIÓN DE CONSISTENCIA.

IC	0.017
RC	0.015

Fuente: Elaboración propia

3.8.4.3 Análisis de los parámetros de los factores condicionantes:

A continuación, se detallan los pesos asignados a los factores condicionantes considerados en el presente informe para la determinación del nivel de peligro ante la ocurrencia de un sismo de gran magnitud, producto de la liberación de energía generada por el proceso de subducción entre las placas de Nazca y Sudamericana, con una magnitud estimada entre 8.0 y 9.0 Mw, en las inmediaciones del área de estudio.

Cuadro N° 38. Matriz de comparación de pares de los factores condicionantes.

PARÁMETRO	MICROZONIFICACIÓN SISMICA	PENDIENTE	GEOMORFOLOGÍA	GEOLOGÍA
MICROZONIFICACIÓN SISMICA	1.00	2.00	3.00	5.00
PENDIENTE	0.50	1.00	2.00	3.00
GEOMORFOLOGÍA	0.33	0.50	1.00	2.00
GEOLOGÍA	0.20	0.33	0.50	1.00
SUMA	2.03	3.83	6.50	11.00
1/SUMA	0.49	0.26	0.15	0.09

Fuente: Elaboración propia.

Cuadro N° 39. Matriz de normalización de pares de los factores condicionantes.

PARÁMETRO	MICROZONIFICACIÓN SISMICA	PENDIENTE	GEOMORFOLOGÍA	GEOLOGÍA	Vector Priorización
MICROZONIFICACIÓN SISMICA	0.492	0.522	0.462	0.455	0.482
PENDIENTE	0.246	0.261	0.308	0.273	0.272
GEOMORFOLOGÍA	0.164	0.130	0.154	0.182	0.158
GEOLOGÍA	0.098	0.087	0.077	0.091	0.088
	1.000	1.000	1.000	1.000	1.000

Fuente: Elaboración propia.

Cuadro N° 40; RELACIÓN DE CONSISTENCIA.

IC	0.005
RC	0.005







3.9 Definición del escenario

e ha considerado el escenario más alto: El Sismo ocasionado por una liberación de energía por subducción de las placas de Nazca y Sudamericana mayor de 8.0. a 9.0 Mw de acuerdo al análisis de información realizados, que produce la Velocidad de desplazamiento de masas mayor a 3m/min, que afectaría el ámbito de estudio, el AA.HH. VIRGEN DE GUADALUPE.

3.10 Niveles de peligro

En la siguiente tabla, se muestran los niveles de peligro y sus respectivos rangos obtenidos a través de utilizar el Proceso de Análisis Jerárquico.

Cuadro N° 41. Niveles de peligro.

o a dan o 11 i i i i i i i i i i i i i i i i i						
NIVEL DE PELIGRO						
NIVEL RANGO						
MUY ALTO	$0.263 < P \le 0.470$					
ALTO	0.144	<	Р	≤	0.263	
MEDIO	0.078	<	Р	≤	0.144	
BAJO	0.045	<	Р	≤	0.078	

Fuente: Elaboración propia.

3.11 Estratificación del nivel de peligro

En la siguiente tabla se muestra la estratificación del peligro obtenida:

Cuadro N° 42. Estratificación del peligro.

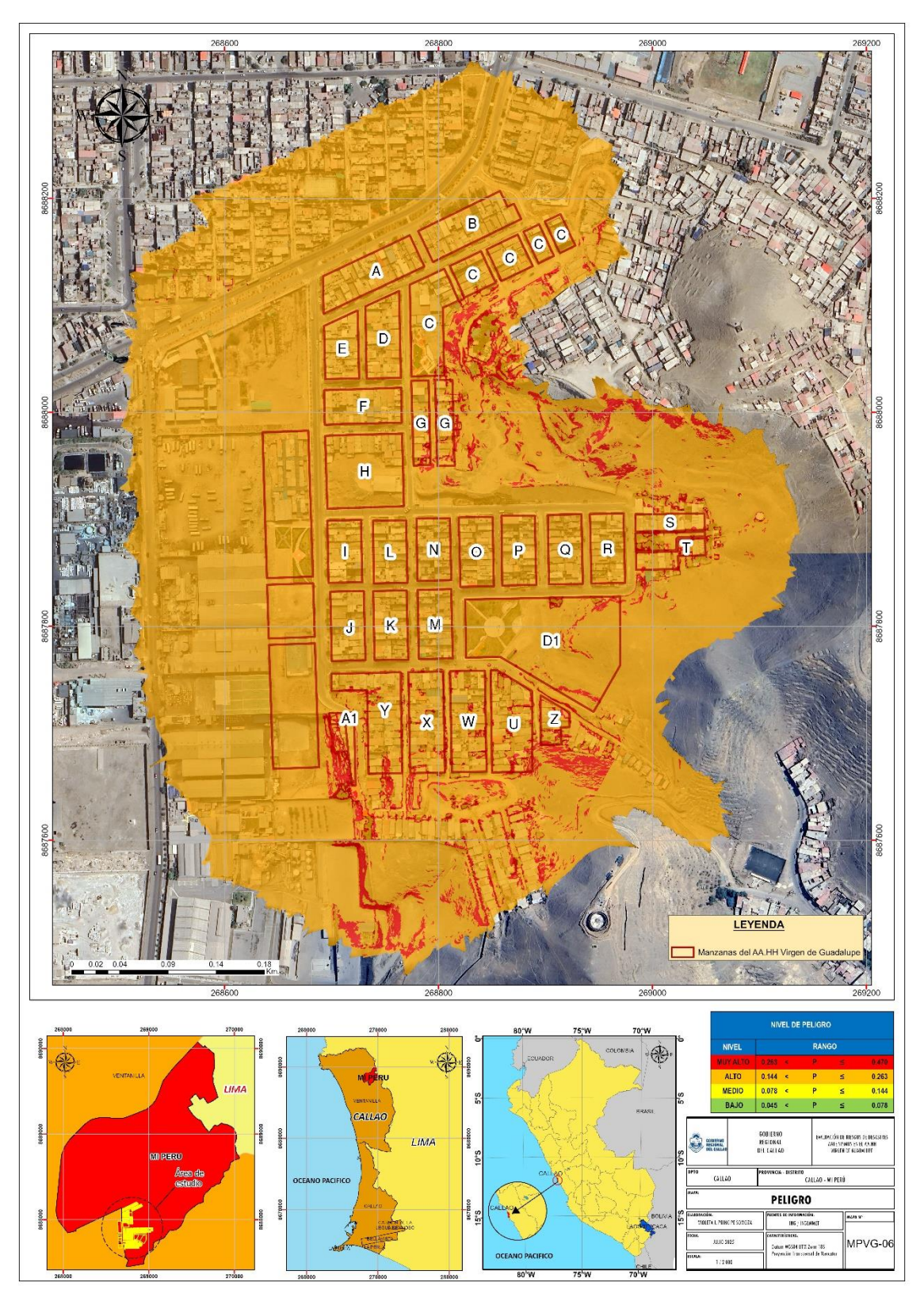
	ouddio it izi zotiatiii dalion doi pongioi	
NIVEL	DESCRIPCIÓN	RANGO
PELIGRO MUY ALTO	Liberación de energía por subducción de las placas de Nazca y Sudamericana (8.0 - 9.0 Mw), cuya intensidad del sismo en el área de estudio seria de VII - IX en la escala de Mercalli Modificada (MM). Predomina una microzonificación sísmica en la zona V y/o zona III; pendientes mayores de 35° y/o pendientes de 25° hasta 35°; unidades geomorfológicas ubicadas en Lomada en roca sedimentaria y/o Manto de arena y unidades geológicas pertenecientes a Depósito coluvial y/o Formación Ventanilla	0.263 ≤ P ≤ 0.470
PELIGRO ALTO	Liberación de energía por subducción de las placas de Nazca y Sudamericana (8.0 - 9.0 Mw), cuya intensidad del sismo en el área de estudio seria de VII - IX en la escala de Mercalli Modificada (MM). Predomina una microzonificación sísmica en la zona II; pendientes de 15° hasta 25°; unidades geomorfológicas ubicadas en Zona de escarpe y unidades geológicas pertenecientes a Depósito eólico	0.144 ≤ P< 0.263
PELIGRO MEDIO	Liberación de energía por subducción de las placas de Nazca y Sudamericana (8.0 - 9.0 Mw), cuya intensidad del sismo en el área de estudio seria de VII - IX en la escala de Mercalli Modificada (MM). Predomina una microzonificación sísmica en la zona I; pendientes de 5° hasta 15°; unidades geomorfológicas ubicadas en Llanura coluvio aluvial y unidades geológicas pertenecientes a Depósito coluvio aluvial	0.078 ≤ P < 0.144
PELIGRO BAJO	Liberación de energía por subducción de las placas de Nazca y Sudamericana (8.0 - 9.0 Mw), cuya intensidad del sismo en el área de estudio seria de VII - IX en la escala de Mercalli Modificada (MM). Predomina una microzonificación sísmica en la zona de Formación Rocosa (FR); pendientes menores de 5°; unidades geomorfológicas ubicadas en Vertiente coluvial y unidades geológicas pertenecientes a Colina en roca sedimentaria	0.045 ≤ P < 0.078
Fuente: F	laboración propia. Cita Herafacera Propia Servacion de Evaluador de Resous	

Fuente: Elaboración propia.

R.S. Nº 145-2021-CENEPREDIL



Mapa N° 5: Peligro ante sismo









3.12 ANÁLISIS DE ELEMENTOS EXPUESTOS

De acuerdo a los resultados del mapa de peligros ante Sismo se concluye que el ciento por ciento del área de estudio se encuentra expuesto a dicho fenómeno.

Cuadro Nº 43. Elementos expuestos.

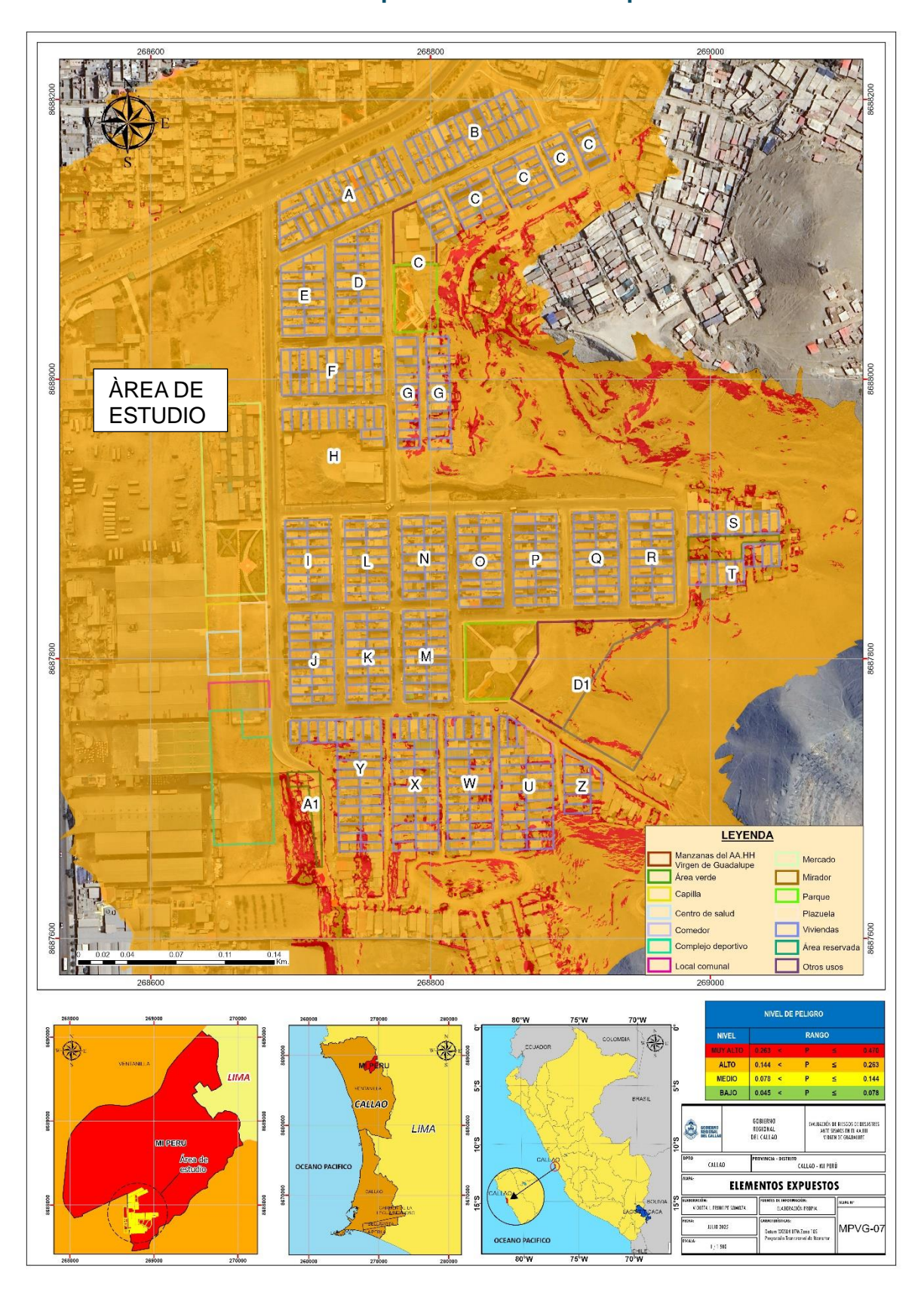
Elementos expuestos por Dimensión			
Dimensión social			
Población	Grupo etario (hombres y mujeres)	188	
Dimensión económica			
Vivienda	Lotes	113	
Losa deportiva	Losa deportiva	1	
Otros usos	Espacio de uso publico	2	
Recreación publica	Espacio de uso publico	1	
Dimensión ambiental			
Medio ambiente	Áreas verdes y/o espacios libres.	4	







Mapa N° 6: Elementos expuestos









CAPITULO IV: ANÀLISIS DE LA VULNERABILIDAD







CAPITULO IV: ANÁLISIS DE LA VULNERABILIDAD

4.1. METODOLOGÍA PARA EL ANÁLISIS DE LA VULNERABILIDAD

Para analizar la vulnerabilidad de los elementos expuestos en el área de estudio de los AA.HH. Virgen de Guadalupe, distrito de Mi Perú, se ha trabajado de manera cuantitativa y se ha empleado la siguiente metodología:

EXPOSICIÓN

FRAGILIDAD

Vulnerabilidad

ECOnómica

MAPA DE

VULNERABILIDAD

Vulnerabilidad

Ambiental

RESILENCIA

Vulnerabilidad

Ambiental

Gráfico Nº 12. Metodología para determinar el nivel de vulnerabilidad.

Fuente: Adaptado del Manual para la evaluación de Riesgos originados por Fenómenos Naturales – 2da Versión.

Los niveles de vulnerabilidad han sido determinados a partir del análisis de los factores de la dimensión social, económica y ambiental, utilizando la información disponible para los parámetros definidos en los tres casos, según detalla a continuación:

4.2 ANÁLISIS DE LA DIMENSIÓN FÍSICA

El análisis de la dimensión física consiste en identificar las características físicas de las viviendas encuestadas, tales como: Tipo de cimentación, Nivel de inclinación del terreno, grado de construcción de la vivienda por lote, conservación de la vivienda, material de piso, material de paredes, material de techo y cumplimiento de medidas para el reforzamiento de infraestructura y edificaciones. Se identificaron y seleccionaron parámetros de evaluación agrupados en las componentes de Exposición, Fragilidad y Resiliencia física.

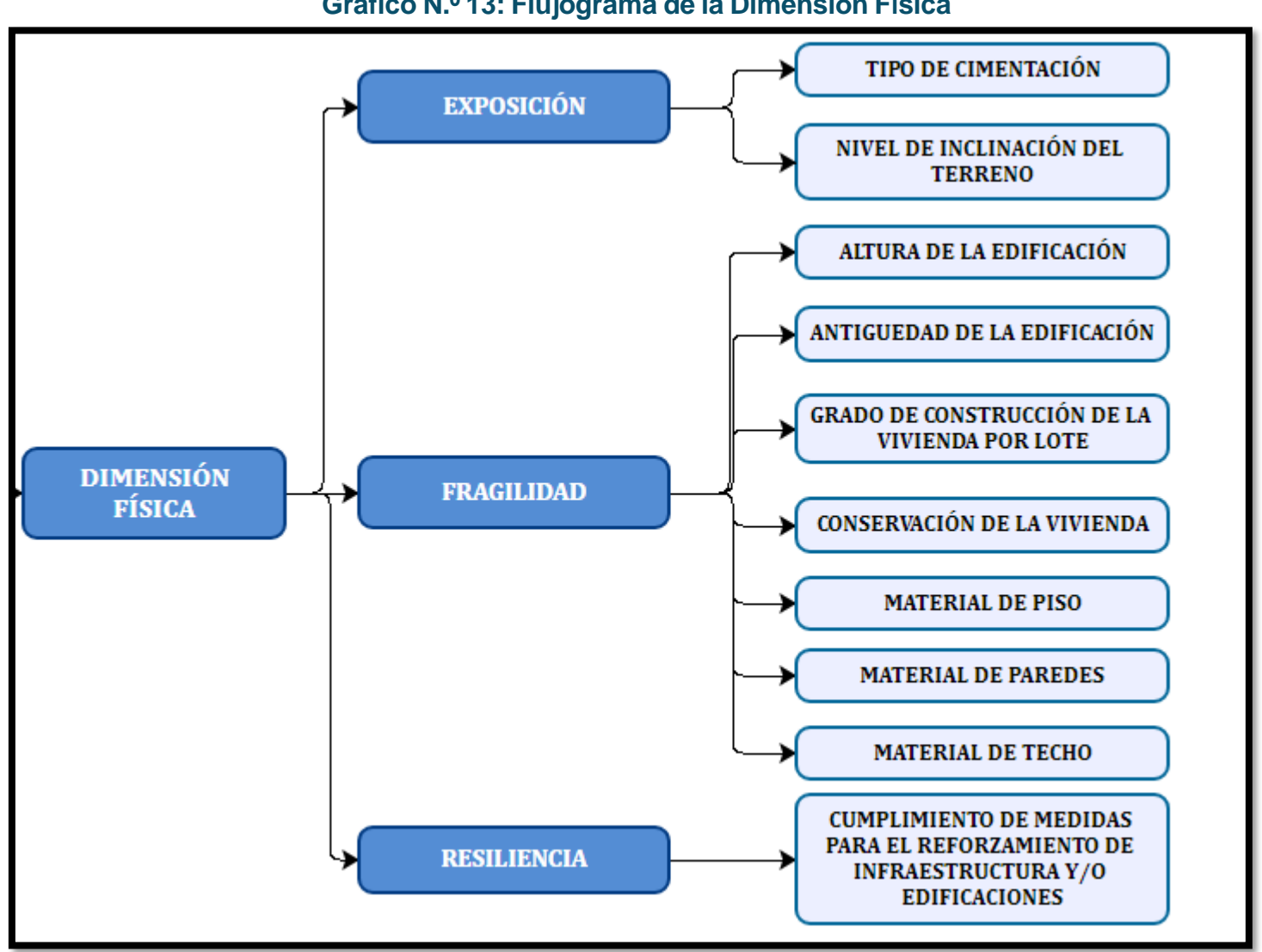




Cuadro Nº 44. Parámetro de la dimensión Física.

Dimensión Física				
Exposición	Fragilidad	Resiliencia		
 Tipo de Cimentación Nivel de Inclinación del terreno 	 Altura de la edificación Antigüedad de la edificación Grado de construcción de la vivienda por lote Conservación de la vivienda Material de piso Material de paredes Material de techo 	Cumplimiento de medidas para el reforzamiento de infraestructura y edificaciones		

Gráfico N.º 13: Flujograma de la Dimensión Física









4.2.1 ANÁLISIS DE LA EXPOSICIÓN FÍSICA

Los parámetros considerados para el análisis de la Exposición física son:

- √ Tipo de cimentación
- √ Nivel de inclinación del terreno

Cuadro N° 45: Ponderación de la Exposición Física.

	PARAMETRO	DESCRIPCION	N° DE PARAMETROS	P.PONDER
PARAMETROS	TC	TIPO DE CIMENTACIÓN	2	0.500
	NIT	NIVEL DE INCLINACIÓN DEL TERRENO	2	0.500

Fuente: Elaboración propia

A. Tipo de Cimentación

Cuadro N° 46: Matriz de comparación de pares

TIPO DE CIMENTACIÓN	No tiene	Sobre pircado	Sobre adobe	Mampostería	Concreto
No tiene	1.00	2.00	3.00	4.00	5.00
Sobre pircado	0.50	1.00	2.00	3.00	4.00
Sobre adobe	0.33	0.50	1.00	2.00	3.00
Mampostería	0.25	0.33	0.50	1.00	2.00
Concreto	0.20	0.25	0.33	0.50	1.00
SUMA	2.28	4.08	6.83	10.50	15.00
1/SUMA	0.44	0.24	0.15	0.10	0.07

Fuente: Elaboración propia.

Cuadro N° 47: Matriz de normalización de pares

TIPO DE CIMENTACIÓN	No tiene	Sobre pircado	Sobre adobe	Mampostería	Concreto	Vector Priorizacion
No tiene	0.438	0.490	0.439	0.381	0.333	0.416
Sobre pircado	0.219	0.245	0.293	0.286	0.267	0.262
Sobre adobe	0.146	0.122	0.146	0.190	0.200	0.161
Mampostería	0.109	0.082	0.073	0.095	0.133	0.099
Concreto	0.088	0.061	0.049	0.048	0.067	0.062
	1.000	1.000	1.000	1.000	1.000	1.000

Fuente: Elaboración propia.

Cuadro N° 48: RELACIÓN DE CONSISTENCIA.

DO 0.04E	IC	0.017
RC 0.015	RC	0.015







B. Nivel de inclinación del terreno

Cuadro N° 49: Matriz de comparación de pares

NIVEL DE INCLINACIÓN DEL TERRENO	Inclinación mayor a 35°	Inclinación de 25° a 35°	Inclinación de 15° a 25°	Inclinación de 10° a 15°	Inclinación menor a 10°
Inclinación mayor a 35°	1.00	2.00	3.00	4.00	6.00
Inclinación de 25° a 35°	0.50	1.00	2.00	3.00	4.00
Inclinación de 15° a 25°	0.33	0.50	1.00	2.00	3.00
Inclinación de 10° a 15°	0.25	0.33	0.50	1.00	2.00
Inclinación menor a 10°	0.17	0.25	0.33	0.50	1.00
SUMA	2.25	4.08	6.83	10.50	16.00
1/SUMA	0.44	0.24	0.15	0.10	0.06

Fuente: Elaboración propia.

Cuadro N° 50: Matriz de normalización de pares

NIVEL DE INCLINACIÓN DEL TERRENO	Inclinación mayor a 35°	Inclinación de 25° a 35°	Inclinación de 15° a 25°	Inclinación de 10° a 15°	Inclinación menor a 10°	Vector Priorización
Inclinación mayor a 35°	0.444	0.490	0.439	0.381	0.375	0.426
Inclinación de 25° a 35°	0.222	0.245	0.293	0.286	0.250	0.259
Inclinación de 15° a 25°	0.148	0.122	0.146	0.190	0.188	0.159
Inclinación de 10° a 15°	0.111	0.082	0.073	0.095	0.125	0.097
Inclinación menor a 10°	0.074	0.061	0.049	0.048	0.063	0.059
	1.000	1.000	1.000	1.000	1.000	1.000

Fuente: Elaboración propia.

Cuadro N° 51: RELACIÓN DE CONSISTENCIA.

IC	0.012
RC	0.011

Fuente: Elaboración propia.

4.2.2 ANÁLISIS DE LA FRAGILIDAD FÍSICA

Los parámetros considerados para el análisis de la Fragilidad Física son:

- ✓ Altura de la edificación
- ✓ Antigüedad de la edificación
- ✓ Grado de construcción de la vivienda por lote
- ✓ Conservación de la vivienda
- ✓ Material de piso
- ✓ Material de paredes
- ✓ Material de techo







Cuadro N° 52: Ponderación de la Fragilidad Física.

	DESCRIPTOR	DESCRIPCION	N° DE PARAMETROS	P.PONDER
	MPA	ALTURA DE LA EDIFICACIÓN		0.350
	MT	ANTIGÜEDAD DE LA EDIFICACIÓN		0.237
PARAMETRO	MPI	GRADO DE CONSTRUCCIÓN DE LA VIVIENDA POR LOTE		0.159
PARAMETRO	CV	CONSERVACIÓN DE LA VIVIENDA	7	0.106
	GCVL	MATERIAL DE PISO		0.070
	AE	MATERIAL DE PAREDES		0.046
	AD	MATERIAL DE TECHO		0.032

Fuente: Elaboración propia

A. Altura de la edificación

Cuadro N° 53: Matriz de comparación de pares

ALTURA DE LA EDIFICACIÓN	5 Pisos o más	4 Pisos	3 Pisos	2 Pisos	Un piso
5 Pisos o más	1.00	2.00	3.00	4.00	5.00
4 Pisos	0.50	1.00	2.00	3.00	4.00
3 Pisos	0.33	0.50	1.00	2.00	3.00
2 Pisos	0.25	0.33	0.50	1.00	2.00
Un piso	0.20	0.25	0.33	0.50	1.00
SUMA	2.28	4.08	6.83	10.50	15.00
1/SUMA	0.44	0.24	0.15	0.10	0.07

Fuente: Elaboración propia.

Cuadro N° 54: Matriz de normalización de pares

ALTURA DE LA EDIFICACIÓN	5 Pisos o más	4 Pisos	3 Pisos	2 Pisos	Un piso	Vector Priorización
5 Pisos o más	0.438	0.490	0.439	0.381	0.333	0.416
4 Pisos	0.219	0.245	0.293	0.286	0.267	0.262
3 Pisos	0.146	0.122	0.146	0.190	0.200	0.161
2 Pisos	0.109	0.082	0.073	0.095	0.133	0.099
Un piso	0.088	0.061	0.049	0.048	0.067	0.062
	1.000	1.000	1.000	1.000	1.000	1.000

Fuente: Elaboración propia.

Cuadro N° 55; RELACIÓN DE CONSISTENCIA.

IC	0.017
RC	0.015





B. Antigüedad de la edificación

Cuadro N° 53: Matriz de comparación de pares

ANTIGÜEDAD DE LA EDIFICACIÓN	De 40 años a más	Entre 30 a 40 años	Entre 20 a 30 años	Entre 10 a 20 años	Menor a 10 años
De 40 años a más	1.00	2.00	3.00	4.00	5.00
Entre 30 a 40 años	0.50	1.00	2.00	3.00	4.00
Entre 20 a 30 años	0.33	0.50	1.00	2.00	3.00
Entre 10 a 20 años	0.25	0.33	0.50	1.00	2.00
Menor a 10 años	0.20	0.25	0.33	0.50	1.00
SUMA	2.28	4.08	6.83	10.50	15.00
1/SUMA	0.44	0.24	0.15	0.10	0.07

Fuente: Elaboración propia.

Cuadro N° 54: Matriz de normalización de pares

ANTIGÜEDAD DE LA	De 40 años a	Entre 30 a	Entre 20 a	Entre 10 a 20	Menor a 10	Vector
EDIFICACIÓN	más	40 años	30 años	años	años	Priorizacion
De 40 años a más	0.438	0.490	0.439	0.381	0.333	0.416
Entre 30 a 40 años	0.219	0.245	0.293	0.286	0.267	0.262
Entre 20 a 30 años	0.146	0.122	0.146	0.190	0.200	0.161
Entre 10 a 20 años	0.109	0.082	0.073	0.095	0.133	0.099
Menor a 10 años	0.088	0.061	0.049	0.048	0.067	0.062
	1.000	1.000	1.000	1.000	1.000	1.000

Fuente: Elaboración propia.

Cuadro N° 55; RELACIÓN DE CONSISTENCIA.

IC	0.017
RC	0.015

Fuente: Elaboración propia

C. Grado de construcción de la vivienda por lote

Cuadro N° 53: Matriz de comparación de pares

<u> </u>						
GRADO DE CONSTRUCCIÓN DE LA VIVIENDA POR LOTE	Sin construcción	Cercado perimétrico / Con caseta	Poca construcción	Mediana construcción	Totalmente construido	
Sin construcción	1.00	2.00	4.00	5.00	6.00	
Cercado perimétrico / Con caseta	0.50	1.00	2.00	4.00	5.00	
Poca construcción	0.25	0.50	1.00	2.00	4.00	
Mediana construcción	0.20	0.25	0.50	1.00	2.00	
Totalmente construido	0.17	0.20	0.25	0.50	1.00	
SUMA	2.12	3.95	7.75	12.50	18.00	
1/SUMA	0.47	0.25	0.13	0.08	0.06	







Cuadro N° 54: Matriz de normalización de pares

	•					
GRADO DE CONSTRUCCIÓN DE LA VIVIENDA POR LOTE	Sin construcción	Cercado perimétrico / Con caseta	Poca construcción	Mediana construcción	Totalmente construido	Vector Priorización
Sin construcción	0.472	0.506	0.516	0.400	0.333	0.446
Cercado perimétrico / Con caseta	0.236	0.253	0.258	0.320	0.278	0.269
Poca construcción	0.118	0.127	0.129	0.160	0.222	0.151
Mediana construcción	0.094	0.063	0.065	0.080	0.111	0.083
Totalmente construido	0.079	0.051	0.032	0.040	0.056	0.051
	1.000	1.000	1.000	1.000	1.000	1.000

Fuente: Elaboración propia.

Cuadro N° 55; RELACIÓN DE CONSISTENCIA.

IC	0.024
RC	0.022

Fuente: Elaboración propia

D. Conservación de la vivienda

Cuadro N° 53: Matriz de comparación de pares

CONSERVACIÓN DE LA VIVIENDA	Muy malo	Malo	Regular	Bueno	Muy bueno
Muy malo	1.00	2.00	3.00	4.00	5.00
Malo	0.50	1.00	2.00	3.00	4.00
Regular	0.33	0.50	1.00	2.00	3.00
Bueno	0.25	0.33	0.50	1.00	2.00
Muy bueno	0.20	0.25	0.33	0.50	1.00
SUMA	2.28	4.08	6.83	10.50	15.00
1/SUMA	0.44	0.24	0.15	0.10	0.07

Fuente: Elaboración propia.

Cuadro N° 54: Matriz de normalización de pares

CONSERVACIÓN DE LA VIVIENDA	Muy malo	Malo	Regular	Bueno	Muy bueno	Vector Priorizacion
Muy malo	0.438	0.490	0.439	0.381	0.333	0.416
Malo	0.219	0.245	0.293	0.286	0.267	0.262
Regular	0.146	0.122	0.146	0.190	0.200	0.161
Bueno	0.109	0.082	0.073	0.095	0.133	0.099
Muy bueno	0.088	0.061	0.049	0.048	0.067	0.062
	1.000	1.000	1.000	1.000	1.000	1.000

Fuente: Elaboración propia.

Cuadro N° 55; RELACIÓN DE CONSISTENCIA.

IC	0.017			
RC	0.015			
Fuente: Elaboración propia				

V. Nink





E. Material de piso

Cuadro N° 53: Matriz de comparación de pares

MATERIAL DE PISO	Tierra compactada	Madera	Falso piso	Cemento pulido	Cemento con acabados (Parquet, mayólicas)
Tierra compactada	1.00	2.00	3.00	6.00	7.00
Madera	0.50	1.00	2.00	3.00	6.00
Falso piso	0.33	0.50	1.00	2.00	3.00
Cemento pulido	0.17	0.33	0.50	1.00	2.00
Cemento con acabados (Parquet, mayólicas)	0.14	0.17	0.33	0.50	1.00
SUMA	2.14	4.00	6.83	12.50	19.00
1/SUMA	0.47	0.25	0.15	0.08	0.05

Fuente: Elaboración propia.

Cuadro N° 54: Matriz de normalización de pares

MATERIAL DE PISO	Tierra compactada	Madera	Falso piso	Cemento pulido	Cemento con acabados (Parquet, mayólicas)	Vector Priorización
Tierra compactada	0.467	0.500	0.439	0.480	0.368	0.451
Madera	0.233	0.250	0.293	0.240	0.316	0.266
Falso piso	0.156	0.125	0.146	0.160	0.158	0.149
Cemento pulido	0.078	0.083	0.073	0.080	0.105	0.084
Cemento con acabados (Parquet, mayolicas)	0.067	0.042	0.049	0.040	0.053	0.050
_	1.000	1.000	1.000	1.000	1.000	1.000

Fuente: Elaboración propia.

Cuadro N° 55; RELACIÓN DE CONSISTENCIA.

IC	0.009
RC	0.008

Fuente: Elaboración propia

F. Material de paredes

Cuadro N° 53: Matriz de comparación de pares

MATERIAL DE PAREDES	No tiene / Plastico	Carrizo / Triplay	Madera	Drywall	Ladrillo
No tiene / Plastico	1.00	2.00	3.00	4.00	5.00
Carrizo / Triplay	0.50	1.00	2.00	3.00	4.00
Madera	0.33	0.50	1.00	2.00	3.00
Drywall	0.25	0.33	0.50	1.00	2.00
Ladrillo	0.20	0.25	0.33	0.50	1.00
SUMA	2.28	4.08	6.83	10.50	15.00
1/SUMA	0.44	0.24	0.15	0.10	0.07







Cuadro N° 54: Matriz de normalización de pares

MATERIAL DE PAREDES	No tiene / Plástico	Carrizo / Triplay	Madera	Drywall	Ladrillo	Vector Priorizacion
No tiene / Plástico	0.438	0.490	0.439	0.381	0.333	0.416
Carrizo / Triplay	0.219	0.245	0.293	0.286	0.267	0.262
Madera	0.146	0.122	0.146	0.190	0.200	0.161
Drywall	0.109	0.082	0.073	0.095	0.133	0.099
Ladrillo	0.088	0.061	0.049	0.048	0.067	0.062
	1.000	1.000	1.000	1.000	1.000	1.000

Fuente: Elaboración propia.

Cuadro N° 55; RELACIÓN DE CONSISTENCIA.

IC	0.017
RC	0.015

Fuente: Elaboración propia

A. Material de techo

Cuadro N° 53: Matriz de comparación de pares

MATERIAL DE TECHO	No tiene / Plástico	Esteras	Calaminas	Eternit	Concreto
No tiene / Plástico	1.00	2.00	3.00	4.00	6.00
Esteras	0.50	1.00	2.00	3.00	4.00
Calaminas	0.33	0.50	1.00	2.00	3.00
Eternit	0.25	0.33	0.50	1.00	2.00
Concreto	0.17	0.25	0.33	0.50	1.00
SUMA	2.25	4.08	6.83	10.50	16.00
1/SUMA	0.44	0.24	0.15	0.10	0.06

Fuente: Elaboración propia.

Cuadro N° 54: Matriz de normalización de pares

MATERIAL DE TECHO	No tiene / Plástico	Esteras	Calaminas	Eternit	Concreto	Vector Priorizacion
No tiene / Plástico	0.444	0.490	0.439	0.381	0.375	0.426
Esteras	0.222	0.245	0.293	0.286	0.250	0.259
Calaminas	0.148	0.122	0.146	0.190	0.188	0.159
Eternit	0.111	0.082	0.073	0.095	0.125	0.097
Concreto	0.074	0.061	0.049	0.048	0.063	0.059
_	1.000	1.000	1.000	1.000	1.000	1.000

Fuente: Elaboración propia.

Cuadro N° 55; RELACIÓN DE CONSISTENCIA.

	, ,			
IC	0.012			
RC	0.011			
Fuente: Elaboración propia				







4.2.3 ANÁLISIS DE LA RESILIENCIA FÍSICA

El parámetro considerado para el análisis de la Resiliencia Física es:

✓ Cumplimiento de medidas para el reforzamiento de infraestructura y/o edificaciones

Cuadro N° 52: Ponderación de la Resiliencia Física.

	DESCRIPTOR	DESCRIPCION	N° DE PARAMETROS	P.PONDER
PARAMETRO	CMRIE	CUMPLIMIENTO DE MEDIDAS PARA EL REFORZAMIENTO DE INFRAESTRUCTURA Y/O EDIFICACIONES	1	1.000

Fuente: Elaboración propia

A. Cumplimiento de medidas para el reforzamiento de infraestructura y/o edificaciones

Cuadro N° 53: Matriz de comparación de pares

CUMPLIMIENTO DE MEDIDAS PARA EL REFORZAMIENTO DE INFRAESTRUCTURA Y/O EDIFICACIONES	Cumplimiento menor al 20%	Cumplimiento entre 20% al 30%	Cumplimiento entre 30% al 50%	Cumplimiento entre 50% al 70%	Cumplimiento mayor al 70%
Cumplimiento menor al 20%	1.00	2.00	3.00	4.00	6.00
Cumplimiento entre 20% al 30%	0.50	1.00	2.00	3.00	4.00
Cumplimiento entre 30% al 50%	0.33	0.50	1.00	2.00	3.00
Cumplimiento entre 50% al 70%	0.25	0.33	0.50	1.00	2.00
Cumplimiento mayor al 70%	0.17	0.25	0.33	0.50	1.00
SUMA	2.25	4.08	6.83	10.50	16.00
1/SUMA	0.44	0.24	0.15	0.10	0.06

Fuente: Elaboración propia.

Cuadro N° 54: Matriz de normalización de pares

CUMPLIMIENTO DE MEDIDAS PARA EL REFORZAMIENTO DE INFRAESTRUCTURA Y/O EDIFICACIONES	Cumplimi ento menor al 20%	Cumplimient o entre 20% al 30%	Cumplimie nto entre 30% al 50%	Cumplimiento entre 50% al 70%	Cumplimiento mayor al 70%	Vector Priorización
Cumplimiento menor al 20%	0.444	0.490	0.439	0.381	0.375	0.426
Cumplimiento entre 20% al 30%	0.222	0.245	0.293	0.286	0.250	0.259
Cumplimiento entre 30% al 50%	0.148	0.122	0.146	0.190	0.188	0.159
Cumplimiento entre 50% al 70%	0.111	0.082	0.073	0.095	0.125	0.097
Cumplimiento mayor al 70%	0.074	0.061	0.049	0.048	0.063	0.059
	1.000	1.000	1.000	1.000	1.000	1.000

Fuente: Elaboración propia.

Cuadro N° 55; RELACIÓN DE CONSISTENCIA.

IC	0.012		
RC	0.011		
E El l			







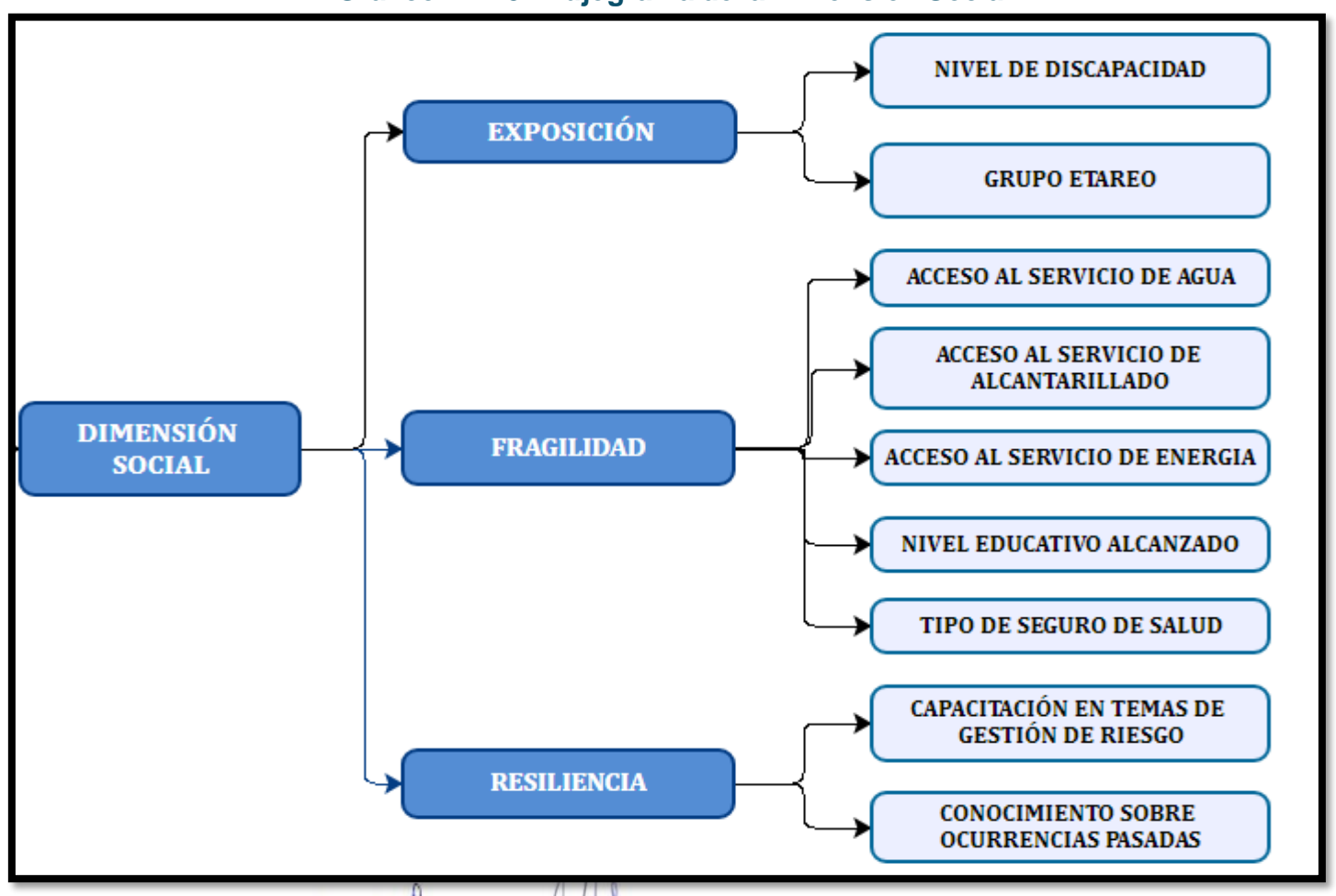
4.3 ANÁLISIS DE LA DIMENSIÓN SOCIAL

El análisis de la dimensión social consiste en identificar las características sociales de las personas encuestadas, así como: Nivel de discapacidad, Grupo Etareo, Acceso al servicio de agua, Acceso al servicio de alcantarillado, Acceso al servicio de energía, Tipo de seguro de salud, Capacitación en temas de gestión de riesgo y Conocimiento sobre ocurrencias pasadas. Se identificaron y seleccionaron parámetros de evaluación agrupados en las componentes de Exposición, Fragilidad y Resiliencia social.

Cuadro Nº 44. Parámetro de la dimensión Social.

Dimensión Social							
Exposición	Fragilidad	Resiliencia					
Nivel de discapacidad	Acceso al servicio de agua	Capacitación en					
Grupo Etareo	Acceso al servicio de alcantarilladoAcceso al servicio de energía	temas de gestión de riesgo					
	Nivel educativo alcanzado	Conocimiento sobre					
	Tipo de seguro de salud	ocurrencias pasadas					

Gráfico N.º 13: Flujograma de la Dimensión Social



Fuente: Elaboración propia

Evaluador de Presços

R J Nº 141-2021-CENEPREDIA





4.3.1 ANÁLISIS DE LA EXPOSICIÓN SOCIAL

Los parámetros considerados para el análisis de la Exposición social son:

- ✓ Nivel de discapacidad
- √ Grupo Etareo

Cuadro N° 45: Ponderación de la Exposición Social.

	DESCRIPTOR	DESCRIPCION	N° DE PARAMETROS	P.PONDER
PARAMETRO	GE	NIVEL DE DISCAPACIDAD	2	0.700
	ND	GRUPO ETAREO	2	0.300

Fuente: Elaboración propia

A. Nivel de discapacidad

Cuadro N° 46: Matriz de comparación de pares

odddio it 40. maei 2 do comparación do parco								
NIVEL DE DISCAPACIDAD	Para oir y/o hablar	Visual	Mental - Intelectual	Para usar brazos y piernas	No tiene			
Para oír y/o hablar	1.00	2.00	3.00	4.00	5.00			
Visual	0.50	1.00	2.00	3.00	4.00			
Mental - Intelectual	0.33	0.50	1.00	2.00	3.00			
Para usar brazos y piernas	0.25	0.33	0.50	1.00	2.00			
No tiene	0.20	0.25	0.33	0.50	1.00			
SUMA	2.28	4.08	6.83	10.50	15.00			
1/SUMA	0.44	0.24	0.15	0.10	0.07			

Fuente: Elaboración propia.

Cuadro N° 47: Matriz de normalización de pares

NIVEL DE DISCAPACIDAD	Para oir y/o hablar	Visual	Mental - Intelectual	Para usar brazos y piernas	No tiene	Vector Priorizacion
Para oír y/o hablar	0.438	0.490	0.439	0.381	0.333	0.416
Visual	0.219	0.245	0.293	0.286	0.267	0.262
Mental - Intelectual	0.146	0.122	0.146	0.190	0.200	0.161
Para usar brazos y piernas	0.109	0.082	0.073	0.095	0.133	0.099
No tiene	0.088	0.061	0.049	0.048	0.067	0.062
	1.000	1.000	1.000	1.000	1.000	1.000

Fuente: Elaboración propia.

Cuadro N° 48: RELACIÓN DE CONSISTENCIA.

IC	0.017
RC	0.015



B. Grupo Etareo

Cuadro N° 49: Matriz de comparación de pares

GRUPO ETAREO	Menores de 5 años y mayores de 64 años	De 5 a 14 años	De 15 a 29 años	De 45 a 64 años	De 30 a 44 años
Menores de 5 años y mayores de 64 años	1.00	2.00	3.00	4.00	5.00
De 5 a 14 años	0.50	1.00	2.00	3.00	4.00
De 15 a 29 años	0.33	0.50	1.00	2.00	3.00
De 45 a 64 años	0.25	0.33	0.50	1.00	2.00
De 30 a 44 años	0.20	0.25	0.33	0.50	1.00
SUMA	2.28	4.08	6.83	10.50	15.00
1/SUMA	0.44	0.24	0.15	0.10	0.07

Fuente: Elaboración propia.

Cuadro N° 50: Matriz de normalización de pares

GRUPO ETAREO	Menores de 5 años y mayores de 64 años	De 5 a 14 años	De 15 a 29 años	De 45 a 64 años	De 30 a 44 años	Vector Priorizacion
Menores de 5 años y mayores de 64 años	0.438	0.490	0.439	0.381	0.333	0.416
De 5 a 14 años	0.219	0.245	0.293	0.286	0.267	0.262
De 15 a 29 años	0.146	0.122	0.146	0.190	0.200	0.161
De 45 a 64 años	0.109	0.082	0.073	0.095	0.133	0.099
De 30 a 44 años	0.088	0.061	0.049	0.048	0.067	0.062
	1.000	1.000	1.000	1.000	1.000	1.000

Fuente: Elaboración propia.

Cuadro N° 51: RELACIÓN DE CONSISTENCIA.

IC	0.017
RC	0.015

Fuente: Elaboración propia.

4.3.2 ANÁLISIS DE LA FRAGILIDAD SOCIAL

Los parámetros considerados para el análisis de la Fragilidad social son:

- √ Acceso al servicio de agua
- ✓ Acceso al servicio de alcantarillado
- √ Acceso al servicio de energía
- ✓ Nivel educativo alcanzado
- ✓ Tipo de seguro de salud







Cuadro N° 45: Ponderación de la Fragilidad Social.

	DESCRIPTOR	DESCRIPCION	N° DE PARAMETROS	P.PONDER
ASAG	ACCESO AL SERVICIO DE AGUA		0.416	
PARAMETRO	PARAMETRO ASA	ACCESO AL SERVICIO DE ALCANTARILLADO		0.262
ASE NEA TSS	ACCESO AL SERVICIO DE ENERGIA	5	0.161	
	NEA	NIVEL EDUCATIVO ALCANZADO		0.099
	TSS	TIPO DE SEGURO DE SALUD		0.062

Fuente: Elaboración propia

A. Acceso al servicio de agua

Cuadro N° 46: Matriz de comparación de pares

ACCESO AL SERVICIO DE AGUA	No tiene	Pozo de agua subterránea y red de tuberías	Pileta de agua de uso público	Red pública de la vivienda pero dentro de la edificación	Red pública fuera de la vivienda
No tiene	1.00	2.00	4.00	5.00	6.00
Pozo de agua subterránea y red de tuberías	0.50	1.00	2.00	4.00	5.00
Pileta de agua de uso público	0.25	0.50	1.00	2.00	4.00
Red pública de la vivienda pero dentro de la edificación	0.20	0.25	0.50	1.00	2.00
Red pública fuera de la vivienda	0.17	0.20	0.25	0.50	1.00
SUMA	2.12	3.95	7.75	12.50	18.00
1/SUMA	0.47	0.25	0.13	0.08	0.06

Fuente: Elaboración propia.

Cuadro N° 47: Matriz de normalización de pares

ACCESO AL SERVICIO DE AGUA	No tiene	Pozo de agua subterránea y red de tuberías	Pileta de agua de uso público	Red pública de la vivienda pero dentro de la edificación	Red pública fuera de la vivienda	Vector Priorización
No tiene	0.472	0.506	0.516	0.400	0.333	0.446
Pozo de agua subterránea y red de tuberías	0.236	0.253	0.258	0.320	0.278	0.269
Pileta de agua de uso público	0.118	0.127	0.129	0.160	0.222	0.151
Red pública de la vivienda pero dentro de la edificación	0.094	0.063	0.065	0.080	0.111	0.083
Red pública fuera de la vivienda	0.079	0.051	0.032	0.040	0.056	0.051
	1.000	1.000	1.000	1.000	1.000	1.000







Cuadro N° 48: RELACIÓN DE CONSISTENCIA.

IC	0.024
RC	0.022

Fuente: Elaboración propia.

B. Acceso al servicio de alcantarillado

Cuadro N° 49: Matriz de comparación de pares

ACCESO AL SERVICIO DE ALCANTARILLADO	Campo abierto	Pozo ciego	Letrina con tratamiento	Red pública de desagüe fuera de la vivienda	Red pública de desagüe dentro de la vivienda
Campo abierto	1.00	2.00	3.00	4.00	5.00
Pozo ciego	0.50	1.00	2.00	3.00	4.00
Letrina con tratamiento	0.33	0.50	1.00	2.00	3.00
Red pública de desagüe fuera de la vivienda	0.25	0.33	0.50	1.00	2.00
Red pública de desagüe dentro de la vivienda	0.20	0.25	0.33	0.50	1.00
SUMA	2.28	4.08	6.83	10.50	15.00
1/SUMA	0.44	0.24	0.15	0.10	0.07

Fuente: Elaboración propia.

Cuadro N° 50: Matriz de normalización de pares

ACCESO AL SERVICIO DE ALCANTARILLADO	Campo abierto	Pozo ciego	Letrina con tratamiento	Red pública de desagüe fuera de la vivienda	Red pública de desagüe dentro de la vivienda	Vector Priorización
Campo abierto	0.438	0.490	0.439	0.381	0.333	0.416
Pozo ciego	0.219	0.245	0.293	0.286	0.267	0.262
Letrina con tratamiento	0.146	0.122	0.146	0.190	0.200	0.161
Red pública de desagüe fuera de la vivienda	0.109	0.082	0.073	0.095	0.133	0.099
Red pública de desagüe dentro de la vivienda	0.088	0.061	0.049	0.048	0.067	0.062
	1.000	1.000	1.000	1.000	1.000	1.000

Fuente: Elaboración propia.

Cuadro N° 51: RELACIÓN DE CONSISTENCIA.

oudui o i i	OI. ILEL/IO
IC	0.017
RC	0.015

Fuente: Elaboración propia.

C. Acceso al servicio de energía

Cuadro N° 49: Matriz de comparación de pares

ACCESO AL SERVICIO DE ENERGIA	No tiene	Pilas, baterías	Panel solar	Energía eléctrica compartida	Con red de alumbrado público y medidor
No tiene	1.00	2.00	3.00	4.00	5.00
Pilas, baterías	0.50	1.00	2.00	3.00	4.00
Panel solar	0.33	0.50	1.00	2.00	3.00

CTO-0-Versa fictoria Prototo Sancia canarias Evaluados de Riesços R J Nº 141-2021-CENEPREDIS

Ing. Christian Isacc Multoz Galindo
EVALUADOR DE RIESGOS
RS. Nº 145-2021-CENEPREDIJ



Energía eléctrica compartida	0.25	0.33	0.50	1.00	2.00
Con red de alumbrado público y medidor	0.20	0.25	0.33	0.50	1.00
SUMA	2.28	4.08	6.83	10.50	15.00
1/SUMA	0.44	0.24	0.15	0.10	0.07

Fuente: Elaboración propia.

Cuadro N° 50: Matriz de normalización de pares

ACCESO AL SERVICIO DE ENERGIA	No tiene	Pilas, baterías	Panel solar	Energía eléctrica compartida	Con red de alumbrado público y medidor	Vector Priorización
No tiene	0.438	0.490	0.439	0.381	0.333	0.416
Pilas, baterías	0.219	0.245	0.293	0.286	0.267	0.262
Panel solar	0.146	0.122	0.146	0.190	0.200	0.161
Energía eléctrica compartida	0.109	0.082	0.073	0.095	0.133	0.099
Con red de alumbrado público y medidor	0.088	0.061	0.049	0.048	0.067	0.062
	1.000	1.000	1.000	1.000	1.000	1.000

Fuente: Elaboración propia.

Cuadro Nº 51: RELACIÓN DE CONSISTENCIA.

Oddaloit	
IC	0.017
RC	0.015

Fuente: Elaboración propia.

D. Nivel educativo alcanzado

Cuadro N° 49: Matriz de comparación de pares

NIVEL EDUCATIVO ALCANZADO	No tiene	Primaria	Secundaria	Técnico	Universitario
No tiene	1.00	2.00	3.00	4.00	6.00
Primaria	0.50	1.00	2.00	3.00	4.00
Secundaria	0.33	0.50	1.00	2.00	3.00
Técnico	0.25	0.33	0.50	1.00	2.00
Universitario	0.17	0.25	0.33	0.50	1.00
SUMA	2.25	4.08	6.83	10.50	16.00
1/SUMA	0.44	0.24	0.15	0.10	0.06

Fuente: Elaboración propia.

Cuadro N° 50: Matriz de normalización de pares

NIVEL EDUCATIVO ALCANZADO	No tiene	Primaria	Secundaria	Técnico	Universitario	Vector Priorizacion	
No tiene	0.444	0.490	0.439	0.381	0.375	0.426	
Primaria	0.222	0.245	0.293	0.286	0.250	0.259	
Secundaria	0.148	0.122	0.146	0.190	0.188	0.159	
Técnico	0.111	0.082	0.073	0.095	0.125	0.097	
Universitario	0.074	0.061	0.049	0.048	0.063	0.059	
	1.000	1.000	1.000	1.000	1.000	1.000	







Cuadro N° 51: RELACIÓN DE CONSISTENCIA.

IC	0.012
RC	0.011

Fuente: Elaboración propia.

E. Tipo de seguro de salud

Cuadro N° 49: Matriz de comparación de pares

TIPO DE SEGURO DE SALUD	No tiene	SIS	ESSALUD	FFAA - PNP	Privado y/u otro
No tiene	1.00	2.00	3.00	4.00	5.00
SIS	0.50	1.00	2.00	3.00	4.00
ESSALUD	0.33	0.50	1.00	2.00	3.00
FFAA - PNP	0.25	0.33	0.50	1.00	2.00
Privado y/u otro	0.20	0.25	0.33	0.50	1.00
SUMA	2.28	4.08	6.83	10.50	15.00
1/SUMA	0.44	0.24	0.15	0.10	0.07

Fuente: Elaboración propia.

Cuadro N° 50: Matriz de normalización de pares

TIPO DE SEG DE SALUI		No tiene	SIS	ESSALUD	FFAA - PNP	Privado y/u otro	Vector Priorizacion
No tiene		0.438	0.490	0.439	0.381	0.333	0.416
SIS		0.219	0.245	0.293	0.286	0.267	0.262
ESSALUI)	0.146	0.122	0.146	0.190	0.200	0.161
FFAA - PN	IP	0.109	0.082	0.073	0.095	0.133	0.099
Privado y/u	otro	0.088	0.061	0.049	0.048	0.067	0.062
		1.000	1.000	1.000	1.000	1.000	1.000

Fuente: Elaboración propia.

Cuadro Nº 51: RELACIÓN DE CONSISTENCIA.

IC	0.017
RC	0.015

Fuente: Elaboración propia.

4.3.3 ANÁLISIS DE LA RESILIENCIA SOCIAL

Los parámetros considerados para el análisis de la Resiliencia social son:

- ✓ Capacitación en temas de gestión de riesgo
- ✓ Conocimiento sobre ocurrencias pasadas

Cuadro N° 52: Ponderación de la Resiliencia social.

	DESCRIPTOR	DESCRIPCION	N° DE PARAMETROS	P.PONDER
PARAMETRO	CTGRD	CAPACITACIÓN EN TEMAS DE GESTIÓN DE RIESGO	2	0.600
	CSOP	CONOCIMIENTO SOBRE OCURRENCIAS PASADAS	2	0.400





A. Capacitación en temas de gestión de riesgo

Cuadro N° 53: Matriz de comparación de pares

CAPACITACIÓN EN TEMAS DE GESTIÓN DE RIESGO	Nunca	Una vez cada 4 años o más años	Una vez cada 3 años	Una vez cada 2 años	Una o 2 veces al año
Nunca	1.00	2.00	3.00	5.00	6.00
Una vez cada 4 años o más años	0.50	1.00	2.00	3.00	5.00
Una vez cada 3 años	0.33	0.50	1.00	2.00	3.00
Una vez cada 2 años	0.20	0.33	0.50	1.00	2.00
Una o 2 veces al año	0.17	0.20	0.33	0.50	1.00
SUMA	2.20	4.03	6.83	11.50	17.00
1/SUMA	0.45	0.25	0.15	0.09	0.06

Fuente: Elaboración propia.

Cuadro N° 54: Matriz de normalización de pares

CAPACITACIÓN EN TEMAS DE GESTIÓN DE RIESGO	Nunca	Una vez cada 4 años o más años	Una vez cada 3 años	Una vez cada 2 años	Una o 2 veces al año	Vector Priorización		
Nunca	0.455	0.496	0.439	0.435	0.353	0.435		
Una vez cada 4 años o más años	0.227	0.248	0.293	0.261	0.294	0.265		
Una vez cada 3 años	0.152	0.124	0.146	0.174	0.176	0.154		
Una vez cada 2 años	0.091	0.083	0.073	0.087	0.118	0.090		
Una o 2 veces al año	0.076	0.050	0.049	0.043	0.059	0.055		
	1.000	1.000	1.000	1.000	1.000	1.000		

Fuente: Elaboración propia.

Cuadro N° 55; RELACIÓN DE CONSISTENCIA.

	*
IC	0.011
RC	0.010

Fuente: Elaboración propia

B. Conocimiento sobre ocurrencias pasadas

R J Nº 141-2021-CENEPREDIA

Cuadro Nº 53: Matriz de comparación de pares

	Guadre	o ivi oo. iviatriz de c	omparación (ne hares	
CONOCIMIENTO SOBRE OCURRENCIAS PASADAS	Desconocimiento de la población sobre causas y consecuencias de los desastres	Escaso conocimiento de la población sobre causas y consecuencias de los desastres	Regular conocimiento de la población sobre causas y consecuencias de los desastres	La mayoría de la población tiene conocimiento sobre causas y consecuencias de los desastres	Toda la población tiene conocimiento sobre causas y consecuencias de los desastres
Desconocimiento de la población sobre causas y consecuencias de los desastres	1.00	2.00	3.00	5.00	6.00
Escaso conocimiento de la población sobre causas y consecuencias de los desastres	0.50	1.00	2.00	3.00	5.00
Regular conocimiento de la población sobre causas y	0.33	0.50	1.00	2.00	3.00
CEN	Tree Heleta Treesta Protope Serre Fina Evaluados de Riescos P. Linguago Conception	EVALUADOR DE RIESGOS	DN .		



consecuencias de los desastres					
La mayoría de la población tiene conocimiento sobre causas y consecuencias de los desastres	0.20	0.33	0.50	1.00	2.00
Toda la población tiene conocimiento sobre causas y consecuencias de los desastres	0.17	0.20	0.33	0.50	1.00
SUMA	2.20	4.03	6.83	11.50	17.00
1/SUMA	0.45	0.25	0.15	0.09	0.06

Fuente: Elaboración propia.

Cuadro N° 54: Matriz de normalización de pares

					_	
CONOCIMIENTO SOBRE OCURRENCIAS PASADAS	Desconocimiento de la población sobre causas y consecuencias de los desastres	Escaso conocimiento de la población sobre causas y consecuencias de los desastres	Regular conocimiento de la población sobre causas y consecuencias de los desastres	La mayoría de la población tiene conocimiento sobre causas y consecuencias de los desastres	Toda la población tiene conocimiento sobre causas y consecuencias de los desastres	Vector Priorizacion
Desconocimiento de la población sobre causas y consecuencias de los desastres	0.455	0.496	0.439	0.435	0.353	0.435
Escaso conocimiento de la población sobre causas y consecuencias de los desastres	0.227	0.248	0.293	0.261	0.294	0.265
Regular conocimiento de la población sobre causas y consecuencias de los desastres	0.152	0.124	0.146	0.174	0.176	0.154
La mayoría de la población tiene conocimiento sobre causas y consecuencias de los desastres	0.091	0.083	0.073	0.087	0.118	0.090
Toda la población tiene conocimiento sobre causas y consecuencias de los desastres	0.076	0.050	0.049	0.043	0.059	0.055
	1.000	1.000	1.000	1.000	1.000	1.000







Cuadro N° 55; RELACIÓN DE CONSISTENCIA.

IC	0.011
RC	0.010
	., .

Fuente: Elaboración propia

4.4 ANALISIS DE LA DIMENSION ECONÓMICA

El análisis de la dimensión económica consiste en identificar las características socioeconómicas de la población del área de influencia en mención y su contribución al análisis de la vulnerabilidad. Se identificaron y seleccionaron parámetros de evaluación: Ingreso familiar (S/.) y Actividad laboral, agrupados en el componente de Fragilidad

Cuadro Nº 56: Parámetro de la dimensión Económica.

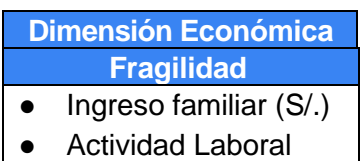


Gráfico N.º 14: Flujograma de la Dimensión Económica



Fuente: Elaboración propia.

4.4.1 ANÁLISIS DE LA FRAGILIDAD ECONÓMICA

Los parámetros considerados para el análisis de la Exposición Económica son:

- ✓ Ingreso familiar (S/.)
- ✓ Actividad laboral

Cuadro N° 57: Ponderación de la Exposición Económica.

	DESCRIPTOR	DESCRIPCION	N° DE PARAMETROS	P.PONDER
PARAMETRO	IF	INGRESO FAMILIAR (S/.)	2	0.600
	AL	ACTIVIDAD LABORAL		0.400

Fuente: Elaboración propia.

A. Ingreso familiar (S/.)









Cuadro N° 58: Matriz de comparación de pares

INGRESO FAMILIAR (S/.)	Menor a S/.1025	S/. 1025	S/. 1025 - S/. 2000	S/. 2000 - S/. 4000	Mayor a S/. 4000
Menor a S/.1025	1.00	2.00	3.00	4.00	6.00
S/. 1025	0.50	1.00	2.00	3.00	4.00
S/. 1025 - S/. 2000	0.33	0.50	1.00	2.00	3.00
S/. 2000 - S/. 4000	0.25	0.33	0.50	1.00	2.00
Mayor a S/. 4000	0.17	0.25	0.33	0.50	1.00
SUMA	2.25	4.08	6.83	10.50	16.00
1/SUMA	0.44	0.24	0.15	0.10	0.06

Fuente: Elaboración propia.

Cuadro N° 59: Matriz de normalización

INGRESO FAMILIAR (S/.)	Menor a S/.1025	S/. 1025	S/. 1025 - S/. 2000	S/. 2000 - S/. 4000	Mayor a S/. 4000	Vector Priorizacion
Menor a S/.1025	0.444	0.490	0.439	0.381	0.375	0.426
S/. 1025	0.222	0.245	0.293	0.286	0.250	0.259
S/. 1025 - S/. 2000	0.148	0.122	0.146	0.190	0.188	0.159
S/. 2000 - S/. 4000	0.111	0.082	0.073	0.095	0.125	0.097
Mayor a S/. 4000	0.074	0.061	0.049	0.048	0.063	0.059
	1.000	1.000	1.000	1.000	1.000	1.000

Fuente: Elaboración propia.

Cuadro N° 60; RELACIÓN DE CONSISTENCIA.

IC	0.012
RC	0.011

Fuente: Elaboración propia.

B. Actividad laboral

Cuadro N° 61: Matriz de comparación de pares

ACTIVIDAD LABORAL	Sin empleo o con trabajos eventuales	Terceros (Sin vinculo laboral) o independiente	CAS (Con vinculo laboral)	Nombrado	Empresario estable					
Sin empleo o con trabajos eventuales	1.00	2.00	3.00	4.00	6.00					
Terceros (Sin vinculo laboral) o independiente	0.50	1.00	2.00	3.00	4.00					
CAS (Con vinculo laboral)	0.33	0.50	1.00	2.00	3.00					
Nombrado	0.25	0.33	0.50	1.00	2.00					
Empresario estable	0.17	0.25	0.33	0.50	1.00					
SUMA	2.25	4.08	6.83	10.50	16.00					
1/SUMA	0.44	0.24	0.15	0.10	0.06					

Fuente: Elaboración propia.

Cuadro N° 62: Matriz de normalización

ACTIVIDAD LABORAL	Sin empleo o con trabajos eventuales	Terceros (Sin vinculo laboral) o independiente	CAS (Con vinculo laboral)	Nombrado	Empresario estable	Vector Priorización
Sin empleo o con trabajos eventuales	0.444	0.490	0.439	0.381	0.375	0.426







Terceros (Sin vinculo laboral) o independiente	0.222	0.245	0.293	0.286	0.250	0.259
CAS (Con vinculo laboral)	0.148	0.122	0.146	0.190	0.188	0.159
Nombrado	0.111	0.082	0.073	0.095	0.125	0.097
Empresario estable	0.074	0.061	0.049	0.048	0.063	0.059
	1.000	1.000	1.000	1.000	1.000	1.000

Fuente: Elaboración propia.

Cuadro N° 63; RELACIÓN DE CONSISTENCIA.

IC	0.012
RC	0.011

Fuente: Elaboración propia.

4.5 ANÁLISIS DE LA DIMENSION AMBIENTAL

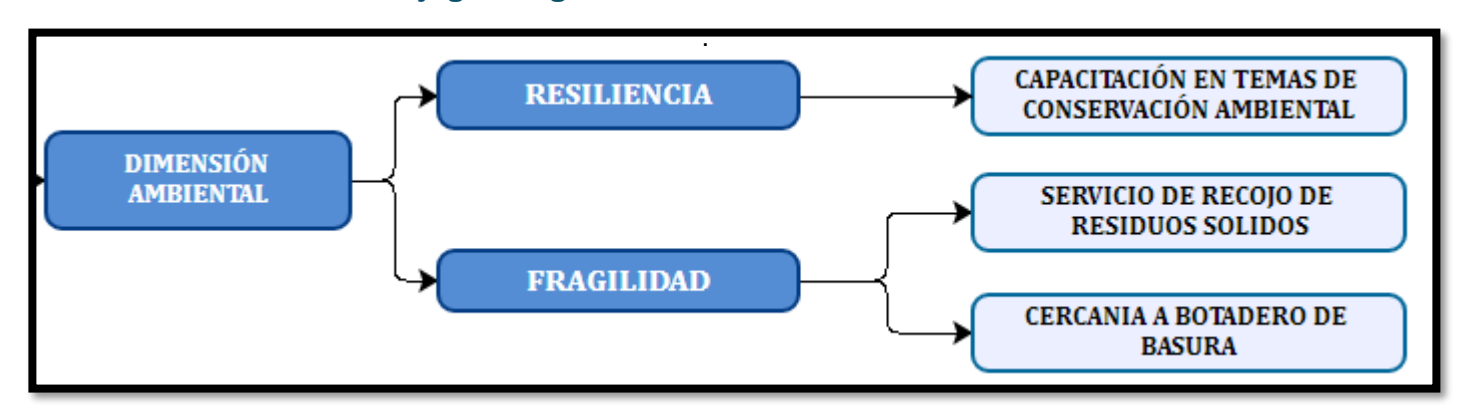
El análisis de la dimensión ambiental considera características ambientales que rodean la vivienda la vivienda (dan una idea aproximada del manejo ambiental de la población). Se identificaron y seleccionaron parámetros de evaluación: Capacitación en temas de conservación ambiental, servicio de recojo de residuos sólidos y cercanía a botadero de basura agrupados en el componente de Resiliencia y Fragilidad

Cuadro Nº 102: Parámetro de la dimensión Ambiental.

Dimensión Ambiental						
Resiliencia	Fragilidad					
Capacitación en temas de conservación ambiental	Servicio de recojo de residuos solidosCercanía a botadero de basura					

Fuente: Elaboración propia.

Gráfico Nº 15: Flujograma general del análisis de la Dimensión Ambiental.









4.5.1 ANALISIS DE LA RESILIENCIA AMBIENTAL

Los parámetros considerados para el análisis de la Resiliencia Ambiental son:

√ Capacitación en temas de conservación ambiental

Cuadro N° 103: Ponderación de la Resiliencia Ambiental.

PARAMETRO	DESCRIPTOR	DESCRIPCION	N° DE PARAMETROS	P.PONDER
PARAMETRO	CRS	CAPACITACIÓN EN TEMAS DE CONSERVACIÓN AMBIENTAL	1	1.00

Fuente: Elaboración propia.

A. Capacitación en temas de conservación ambiental

Cuadro N° 104: Matriz de comparación de pares

		•			
CAPACITACIÓN EN TEMAS DE CONSERVACIÓN AMBIENTAL	Nunca	Una vez cada 4 años o más años	Una vez cada 3 años	Una vez cada 2 años	Una o 2 veces al año
Nunca	1.00	2.00	3.00	4.00	6.00
Una vez cada 4 años o más años	0.50	1.00	2.00	3.00	4.00
Una vez cada 3 años	0.33	0.50	1.00	2.00	3.00
Una vez cada 2 años	0.25	0.33	0.50	1.00	2.00
Una o 2 veces al año	0.17	0.25	0.33	0.50	1.00
SUMA	2.25	4.08	6.83	10.50	16.00
1/SUMA	0.44	0.24	0.15	0.10	0.06

Fuente: Elaboración propia.

Cuadro N° 105: Matriz de normalización

CAPACITACIÓN EN TEMAS DE CONSERVACIÓN AMBIENTAL	Nunca	Una vez cada 4 años o más años	Una vez cada 3 años	Una vez cada 2 años	Una o 2 veces al año	Vector Priorización
Nunca	0.444	0.490	0.439	0.381	0.375	0.426
Una vez cada 4 años o más años	0.222	0.245	0.293	0.286	0.250	0.259
Una vez cada 3 años	0.148	0.122	0.146	0.190	0.188	0.159
Una vez cada 2 años	0.111	0.082	0.073	0.095	0.125	0.097
Una o 2 veces al año	0.074	0.061	0.049	0.048	0.063	0.059
	1.000	1.000	1.000	1.000	1.000	1.000

Fuente: Elaboración propia.

Cuadro N° 106: RELACIÓN DE CONSISTENCIA.

IC	0.012
RC	0.011







4.5.2 ANALISIS DE LA FRAGILIDAD AMBIENTAL

Los parámetros considerados para el análisis de la Fragilidad ambiental son:

- ✓ Servicio de recojo de residuos solidos
- ✓ Cercanía a botadero de basura

Cuadro N° 107: Ponderación de la Fragilidad ambiental.

	DESCRIPTOR	DESCRIPCION	N° DE PARAMETROS	Peso
PARAMETRO	CNA	SERVICIO DE RECOJO DE RESIDUOS SOLIDOS	2	0.600
	MRS	CERCANIA A BOTADERO DE BASURA	_	0.400

Fuente: Elaboración propia.

A. Servicio de recojo de residuos solidos

Cuadro N° 108: Matriz de comparación de pares

SERVICIO DE RECOJO DE RESIDUOS SOLIDOS	Abandonado	Botadero informal	Bote de basura	Se recoge lejos de la vivienda hasta un botadero municipal	Llega a la vivienda hasta un botadero municipal	
Abandonado	1.00	3.00	4.00	6.00	7.00	
Botadero informal	0.33	1.00	3.00	4.00	6.00	
Bote de basura	0.25	0.33	1.00	3.00	4.00	
Se recoge lejos de la vivienda hasta un botadero municipal	0.17	0.25	0.33	1.00	3.00	
Llega a la vivienda hasta un botadero municipal	0.14	0.17	0.25	0.33	1.00	
SUMA	1.89	4.75	8.58	14.33	21.00	
1/SUMA	0.53	0.21	0.12	0.07	0.05	

Fuente: Elaboración propia.

Cuadro N° 109: Matriz de normalización

SERVICIO DE RECOJO DE RESIDUOS SOLIDOS	Abandonado	Botadero informal	Bote de basura	Se recoge lejos de la vivienda hasta un botadero municipal	Llega a la vivienda hasta un botadero municipal	Vector Priorización
Abandonado	0.528	0.632	0.466	0.419	0.333	0.476
Botadero informal	0.176	0.211	0.350	0.279	0.286	0.260
Bote de basura	0.132	0.070	0.117	0.209	0.190	0.144
Se recoge lejos de la vivienda hasta un botadero municipal	0.088	0.053	0.039	0.070	0.143	0.078
Llega a la vivienda hasta un botadero municipal	0.075	0.035	0.029	0.023	0.048	0.042
	1.000	1.000	1.000	1.000	1.000	1.000

Fuente: Elaboración propia.

Cuadro Nº 110: RELACIÓN DE CONSISTENCIA.

R J Nº 141-2021-CENEPREDIA

	IC	0.066
	RC	0.059
Fuente	: Elaboración pr	Opiatuality Proces Suncas Geo-Vereza Tracerta Proces Suncas m Evaluados de Poesgos





B. Cercanía a botadero de basura

Cuadro N° 108: Matriz de comparación de pares

CERCANIA A BOTADERO DE BASURA	>= 200 metros	150 - 200 metros	100 - 150 metros	50 - 100 metros	< a 50 metros
>= 200 metros	1.00	2.00	3.00	6.00	7.00
150 - 200 metros	0.50	1.00	2.00	3.00	6.00
100 - 150 metros	0.33	0.50	1.00	2.00	3.00
50 - 100 metros	0.17	0.33	0.50	1.00	2.00
< a 50 metros	0.14	0.17	0.33	0.50	1.00
SUMA	2.14	4.00	6.83	12.50	19.00
1/SUMA	0.47	0.25	0.15	0.08	0.05

Fuente: Elaboración propia.

Cuadro N° 109: Matriz de normalización

CERCANIA A BOTADERO DE BASURA	>= 200 metros	150 - 200 metros	100 - 150 metros	50 - 100 metros	< a 50 metros	Vector Priorizacion
>= 200 metros	0.467	0.500	0.439	0.480	0.368	0.451
150 - 200 metros	0.233	0.250	0.293	0.240	0.316	0.266
100 - 150 metros	0.156	0.125	0.146	0.160	0.158	0.149
50 - 100 metros	0.078	0.083	0.073	0.080	0.105	0.084
< a 50 metros	0.067	0.042	0.049	0.040	0.053	0.050
	1.000	1.000	1.000	1.000	1.000	1.000

Fuente: Elaboración propia.

Cuadro Nº 110: RELACIÓN DE CONSISTENCIA.

IC	0.009
RC	0.008

Fuente: Elaboración propia.

4.6 NIVEL DE VULNERABILIDAD.

Cuadro Nº 115: NIVELES DE VULNERABILIDAD ANTE SISMO

NIVELES VULNERABILIDAD TOTAL						
MUY ALTA	0.261	≤ V ≤	0.425			
ALTA	0.159	≤ V <	0.261			
MEDIA	0.096	≤ V <	0.159			
BAJA	0.059	≤ V <	0.096			







4.7 ESTRATIFICACIÓN DE LA VULNERABILIDAD ANTE SISMO

Cuadro Nº 116: ESTRATIFICACIÓN DE VULNERABILIDAD ANTE SISMO

NIIVEI	ESTRATIFICACION DEL NIVEL DE VULNERABILIDAD SINTESIS DESCRIPCIÓN	DANGO
NIVEL		RANGO
/ULNERABILIDAD MUY ALTA	Sin ningún tipo de Cimentación en la vivienda o cimentación sobre pircado, con nivel de inclinación sobre el terreno mayor a 35° o entre 25° y 35°. Con una altura de edificación de 4 pisos o mayor a 5 pisos, con una antigüedad de edificación entre 30 a 40 años o más de 40 años de antigüedad, vivienda se encuentra sin construcción o cuenta con caseta o cerco perimétrico, en estado de conservación de la vivienda Mala o Muy mala, el piso de la vivienda es Tierra compactada o madera, sin paredes o con paredes de material plástico o carrizo/triplay, sin techos o con techos de plástico y/o esteras. Cumplen con menos del 20% de las medidas para el reforzamiento de las edificaciones y/o infraestructuras o entre el 20% y el 30% de las medidas de reforzamiento. Población con discapacidad para oir y/o hablar o con discapacidad visual, cuya edad comprende entre los menores de 5 años o mayores de 64 años y entre 5 años y 14 años. Sin acceso al servicio de Agua potable o mediante pozos de agua y red de tuberías, uso de alcantarillado a campo abierto o mediante un pozo ciego, sin acceso al servicio de energía o mediante uso de pilas o baterías, sin nivel educativo alcanzado o con solo primaria, sin ningún tipo de seguro de salud o con SIS. Nunca han recibido capacitación en temas de gestión de riesgo o lo reciben una vez cada 4 años, la población desconoce sobre causas y consecuencias de los desastres o tienen escaso conocimiento sobre las consecuencias de los desastres. Con ingresos familiares menores o iguales a S/. 1065, sin empleo o con trabajos eventuales y con trabajo de terceros (Sin vínculo laboral) o independiente. Sin recibir nunca una capacitación en temas de conservación ambiental o recibe una vez cada 4 años. Los servicios de recojo de basura estan abandonados o recogen los residuos sólidos en un botadero informal, con botaderos de basura ubicados a 200 metros o más de la vivienda o entre 150 y 200 metros.	
/ULNERABILIDAD ALTA	Cimentación sobre adobe, con nivel de inclinación sobre el terreno entre 15° y 25°. Con una altura de edificación de 3 pisos, con una antigüedad de edificación entre 20 a 30 años, vivienda se encuentra con poca construcción, en estado de conservación de la vivienda Regular, el piso de la vivienda es Falso piso, con paredes de madera, con techos de calamina. Cumplen entre el 30% y el 50% de las medidas de reforzamiento de las edificaciones y/o infraestructuras. Población con discapacidad mental - intelectual, cuya edad comprende entre 15 años y 29 años. Con acceso al servicio de Agua potable mediante piletas de agua de uso público, uso de alcantarillado mediante letrina con tratamiento, con acceso al servicio de energía mediante paneles solares, con nivel educativo secundaria, afiliado al seguro de ESSALUD. Recibe capacitación en temas de gestión de riesgo una vez cada 3 años, la población tienen regular conocimiento sobre las consecuencias de los desastres. Con ingresos familiares entre S/. 1065 y S/. 2000, con empleo CAS (Con vínculo	≤ 0.159 V 0.2 <



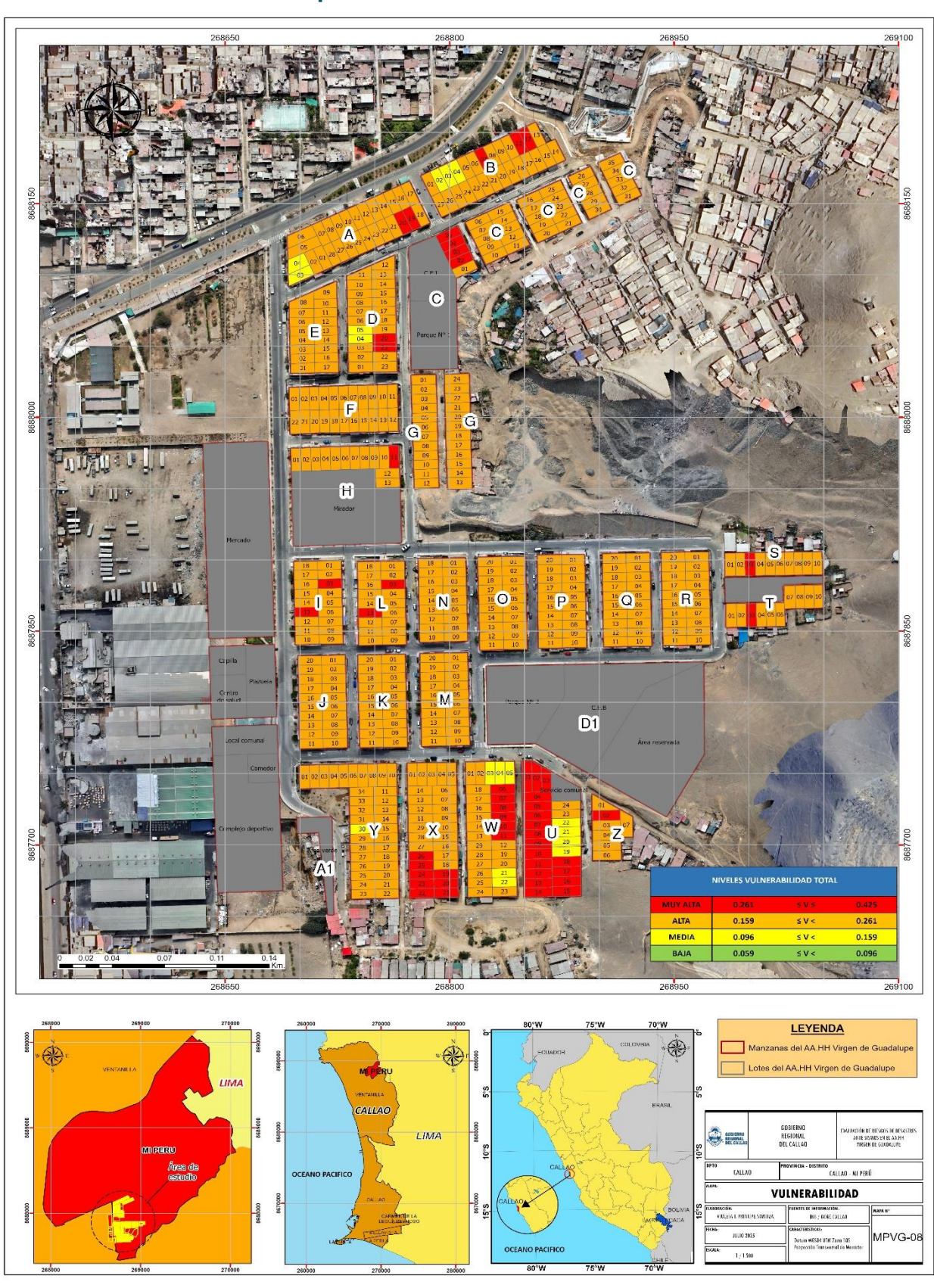
				_
	Recibe capacitación en temas de conservación ambiental una vez cada 3 años. Se recogen los residuos sólidos en un bote de basura, con botaderos de basura ubicados a entre 100 y 150 metros.			
VULNERABILIDAD MEDIA	Cimentación sobre mampostería, con nivel de inclinación sobre el terreno entre 10° y 15°. Con una altura de edificación de 2 pisos, con una antigüedad de edificación entre 10 a 20 años, vivienda se encuentra con mediana construcción, en estado de conservación de la vivienda Bueno, el piso de la vivienda es Cemento pulido, con paredes de Drywall, con techos de Eternit. Cumplen entre el 50% y el 70% de las medidas de reforzamiento de las edificaciones y/o infraestructuras. Población con discapacidad para usar brazos y piernas, cuya edad comprende entre 45 años y 64 años. Con acceso al servicio de Agua potable mediante la red pública de la vivienda pero dentro de la edificación, uso de alcantarillado mediante red pública de desagüe fuera de la vivienda, con acceso al servicio de energía mediante energía eléctrica compartida, con nivel educativo técnico, afiliado al seguro de FF.AA-PNP. Recibe capacitación en temas de gestión de riesgo una vez cada 2 años, la mayoría de la población tienen conocimiento sobre las consecuencias de los desastres. Con ingresos familiares entre S/. 2000 y S/. 4000, con empleo como Nombrado. Recibe capacitación en temas de conservación ambiental una vez cada 2 años. Los residuos sólidos se recogen lejos de la vivienda hasta un botadero municipal, con botaderos de basura ubicados a entre 50 y 100 metros.	0.096	≤ V <	0.159
VULNERABILIDAD BAJA	Cimentación sobre concreto, con nivel de inclinación sobre el terreno menor a 10°. Con una altura de edificación de 1 piso, con una antigüedad de edificación entre menor a 10 años, vivienda se encuentra totalmente construida, en estado de conservación de la vivienda Muy bueno, el piso de la vivienda es Cemento con acabados (Parquet, mayólicas), con paredes de ladrillo, con techos de concreto. Cumplen con más del 70% de las medidas de reforzamiento de las edificaciones y/o infraestructuras. Población sin ningún tipo de discapacidad, cuya edad comprende entre 30 años y 44 años. Con acceso al servicio de Agua potable mediante red pública fuera de la vivienda, uso de alcantarillado mediante red pública de desagüe dentro de la vivienda, con acceso al servicio de energía mediante red de alumbrado público y medidor, con nivel educativo universitario, afiliado a seguro privado y/u otro. Recibe capacitación en temas de gestión de riesgo una o 2 veces al año, toda la población tiene conocimiento sobre las consecuencias de los desastres. Con ingresos familiares mayores a los S/. 4000 , son empresarios estables Recibe capacitación en temas de conservación ambiental una o 2 veces al año. Los servicios de recojo de basura llegan a la vivienda y se dirigen hasta un botadero municipal. con botaderos de basura ubicados a menos de 50 metros.	0.059	≤ V <	0.096







Mapa N° 7: Vulnerabilidad ante Sismo







CAPITULO V: CÀLCULO DEL RIESGO







5.1. METODOLOGÍA PARA LA DETERMINACIÓN DE LOS NIVELES DEL RIESGO

Para determinar el cálculo del riesgo del ámbito de estudio, se utiliza el siguiente procedimiento:

MAPA DE PELIGRO

NIVEL DE RIESGO

MAPA DE VULNERABILIDAD

Gráfico Nº 16. Metodología para determinar el nivel del riesgo.

Fuente: Adaptado del Manual para la evaluación de Riesgos originados por Fenómenos Naturales – 2da Versión.







5.2. DETERMINACIÓN DE LOS NIVELES DE RIESGO

5.2.1. Niveles del riesgo

A continuación, se detallan los niveles de riesgo por Sismo en el Asentamiento Humano Virgen de Guadalupe del distrito de Mi Perú, provincia Constitucional del Callao, se detallan en el siguiente cuadro.

Cuadro Nº 117; Niveles de Riesgo

		, -				
NIVELES DE RIESGO						
0.069	≤ R ≤	0.200	MUY ALTA			
0.023	≤ R <	0.069	ALTA			
0.007	≤ R <	0.023	MEDIA			
0.003	≤ R <	0.007	BAJA			

Fuente: Elaboración propia.

5.2.2. Matriz de riesgo

La matriz de riesgo por Sismo en el Asentamiento Humano Virgen de Guadalupe del distrito de Mi Perú, provincia constitucional del Callao, se detallan en el siguiente cuadro.

PELIGRO

0.470 0.263 0.144 0.078 0.045	
0.144	0.470
0.078	0.263
	0.144
0.045	0.078
	0.045

Cuadro N° 118; MATRIZ DEL RIESGO

0.200	0.123	0.075	0.045	0.028
0.112	0.069	0.042	0.025	0.016
0.061	0.038	0.023	0.014	0.009
0.033	0.020	0.012	0.007	0.005
0.019	0.012	0.007	0.004	0.003

VULNERABILIDAD

0.425	0.261	0.159	0.096	0.059
-------	-------	-------	-------	-------







5.2.3. Estratificación del riesgo

Cuadro Nº 119 Estratificación de niveles de Riesgo por Sismo

	Cuadro N° 119. Estratificación de niveles de Riesgo por Sismo			
	ESTRATIFICACION DEL NIVEL DE RIESGOS SINTESIS			
NIVEL	DESCRIPCIÓN	R.A	ANG	0
RIESGO MUY ALTO	Liberación de energía por subducción de las placas de Nazca y Sudamericana (8.0 - 9.0 Mw), cuya intensidad del sismo en el área de estudio seria de VII - IX en la escala de Mercalli Modificada (MM). Predomina una microzonificación sísmica en la zona V y/o zona III; pendientes mayores de 35° y/o pendientes de 25° hasta 35°; unidades geomorfológicas ubicadas en Lomada en roca sedimentaria y/o Manto de arena y unidades geológicas pertenecientes a Depósito coluvial y/o Formación Ventanilla Sin ningún tipo de Cimentación en la vivienda o cimentación sobre pircado, con nivel de inclinación sobre el terreno mayor a 35° o entre 25° y 35°. Con una altura de edificación de 4 pisos o mayor a 5 pisos, con una antigüedad de edificación entre 30 a 40 años o más de 40 años de antigüedad, vivienda se encuentra sin construcción o cuenta con caseta o cerco perimétrico, en estado de conservación de la vivienda Mala o Muy mala, el piso de la vivienda es Tierra compactada o madera, sin paredes o con paredes de material plástico o carrizo/triplay, sin techos o con techos de plástico y/o esteras. Cumplen con menos del 20% de las medidas para el reforzamiento de las edificaciones y/o infraestructuras o entre el 20% y el 30% de las medidas de reforzamiento. Población con discapacidad para oír y/o hablar o con discapacidad visual, cuya edad comprende entre los menores de 5 años o mayores de 64 años y entre 5 años y 14 años. Sin acceso al servicio de Agua potable o mediante pozos de agua y red de tuberías, uso de alcantarillado a campo abierto o mediante un pozo ciego, sin acceso al servicio de energía o mediante uso de pilas o baterías, sin nivel educativo alcanzado o con solo primaria, sin ningún tipo de seguro de salud o con SIS. Nunca han recibido capacitación en temas de gestión de riesgo o lo reciben una vez cada 4 años, la población desconoce sobre causas y consecuencias de los desastres o tienen escaso conocimiento sobre las consecuencias de los desastres o tienen escaso conocimiento sobre las consecuencias de los desastres o ti	0.069	≤R≤	0.200
RIESGO ALTO	Liberación de energía por subducción de las placas de Nazca y Sudamericana (8.0 - 9.0 Mw), cuya intensidad del sismo en el área de estudio seria de VII - IX en la escala de Mercalli Modificada (MM). Predomina una microzonificación sísmica en la zona II; pendientes de 15° hasta 25°; unidades geomorfológicas ubicadas en Zona de escarpe y unidades geológicas pertenecientes a Depósito eólico Cimentación sobre adobe, con nivel de inclinación sobre el terreno entre 15° y 25°. Con una altura de edificación de 3 pisos, con una antigüedad de edificación entre 20 a 30 años, vivienda se encuentra con poca construcción, en estado de conservación de la vivienda Regular, el piso de la vivienda es Falso piso, con paredes de madera, con techos de calamina. Cumplen entre el 30% y el 50% de las medidas de reforzamiento de las edificaciones y/o infraestructuras. Población con discapacidad mental - intelectual, cuya edad comprende entre 15 años y 29 años. Con acceso al servicio de Agua potable mediante piletas de agua de uso público, uso de alcantarillado mediante letrina con tratamiento, con acceso al servicio de energía mediante paneles solares, con nivel educativo secundaria, afiliado al seguro de ESSALUD. Recibe capacitación en temas de gestión de riesgo una vez cada 3 años, la población tienen regular conocimiento sobre las consecuencias de	0.023	≤ R <	0.069
	R J Nº 141-2321-CENEPREDIA			10



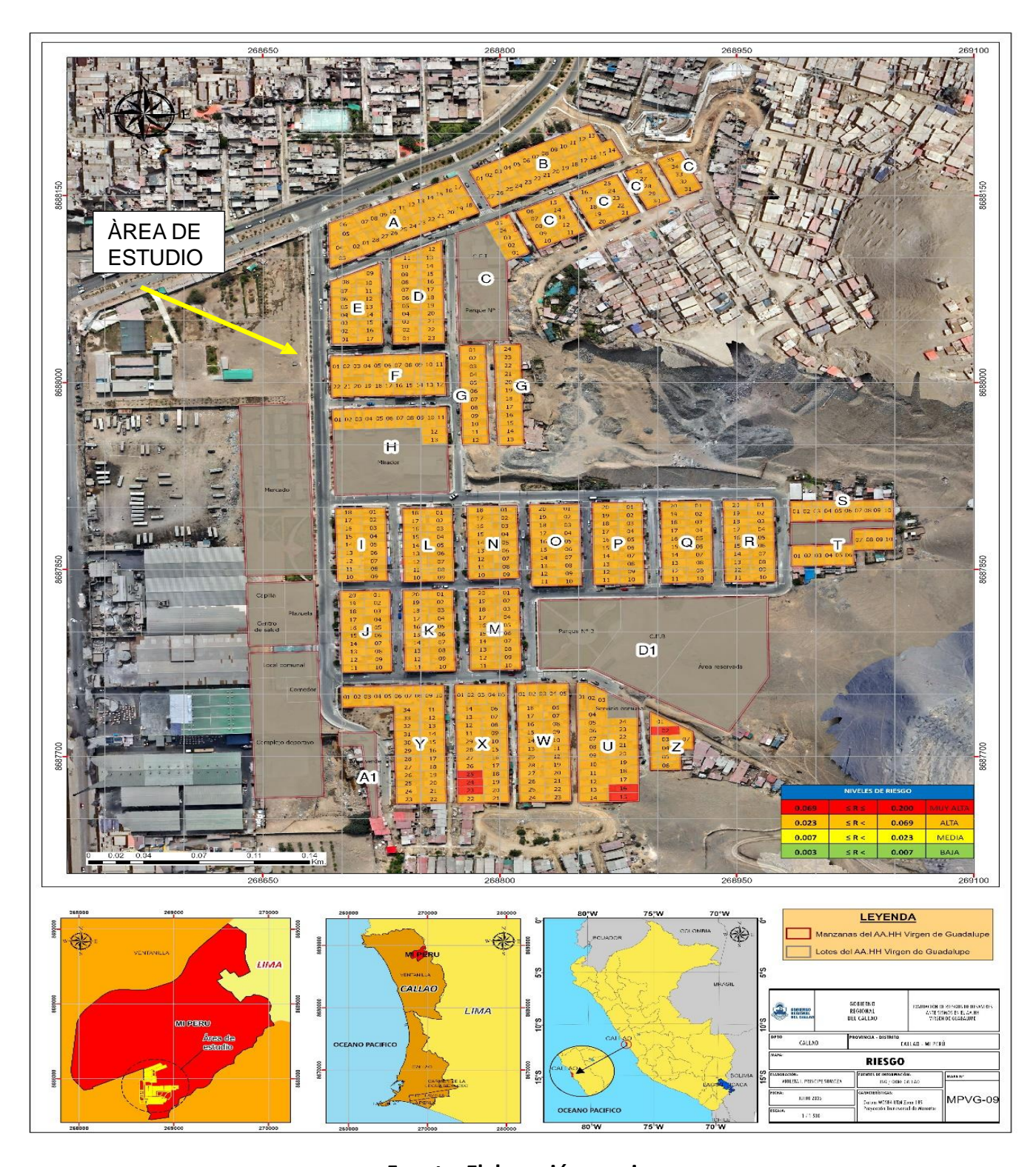
	los desastres.			
	Con ingresos familiares entre S/. 1065 y S/. 2000, con empleo CAS (Con vínculo laboral).			
	Recibe capacitación en temas de conservación ambiental una vez cada 3 años. Se recogen los			
	residuos sólidos en un bote de basura, con botaderos de basura ubicados a entre 100 y 150 metros.			
RIESGO MEDIO	Liberación de energía por subducción de las placas de Nazca y Sudamericana (8.0 - 9.0 Mw), cuya intensidad del sismo en el área de estudio seria de VII - IX en la escala de Mercalli Modificada (MM). Predomina una microzonificación sísmica en la zona I; pendientes de 5° hasta 15°; unidades geomorfológicas ubicadas en Llanura coluvio aluvial y unidades geológicas pertenecientes a Depósito coluvio aluvial. Cimentación sobre mampostería, con nivel de inclinación sobre el terreno entre 10° y 15°. Con una altura de edificación de 2 pisos, con una antigüedad de edificación entre 10 a 20 años, vivienda se encuentra con mediana construcción, en estado de conservación de la vivienda Bueno, el piso de la vivienda es Cemento pulido, con paredes de Drywall, con techos de eternit. Cumplen entre el 50% y el 70% de las medidas de reforzamiento de las edificaciones y/o infraestructuras. Población con discapacidad para usar brazos y piernas, cuya edad comprende entre 45 años y 64 años. Con acceso al servicio de Agua potable mediante la red pública de la vivienda, pero dentro de la edificación, uso de alcantarillado mediante red pública de desagüe fuera de la vivienda, con acceso al servicio de energía mediante energía eléctrica compartida, con nivel educativo técnico, afiliado al seguro de FF. AA-PNP. Recibe capacitación en temas de gestión de riesgo una vez cada 2 años, la mayoría de la población tienen conocimiento sobre las consecuencias de los desastres. Con ingresos familiares entre S/. 2000 y S/. 4000, con empleo como Nombrado. Recibe capacitación en temas de conservación ambiental una vez cada 2 años. Los residuos sólidos se recogen lejos de la vivienda hasta un botadero municipal, con botaderos de basura ubicados a entre 50 y 100 metros.	0.007	≤ R <	0.023
RIESGO BAJO	Liberación de energía por subducción de las placas de Nazca y Sudamericana (8.0 - 9.0 Mw), cuya intensidad del sismo en el área de estudio seria de VII - IX en la escala de Mercalli Modificada (MM). Predomina una microzonificación sísmica en la zona de Formación Rocosa (FR); pendientes menores de 5°; unidades geomorfológicas ubicadas en Vertiente coluvial y unidades geológicas pertenecientes a Colina en roca sedimentaria. Cimentación sobre concreto, con nivel de inclinación sobre el terreno menor a 10°. Con una altura de edificación de 1 piso, con una antigüedad de edificación entre menor a 10 años, vivienda se encuentra totalmente construida, en estado de conservación de la vivienda Muy bueno, el piso de la vivienda es Cemento con acabados (Parquet, mayólicas), con paredes de ladrillo, con techos de concreto. Cumplen con más del 70% de las medidas de reforzamiento de las edificaciones y/o infraestructuras. Población sin ningún tipo de discapacidad, cuya edad comprende entre 30 años y 44 años. Con acceso al servicio de Agua potable mediante red pública fuera de la vivienda, uso de alcantarillado mediante red pública de desagüe dentro de la vivienda, con acceso al servicio de energía mediante red de alumbrado público y medidor, con nivel educativo universitario, afiliado a seguro privado y/u otro. Recibe capacitación en temas de gestión de riesgo una o 2 veces al año, toda la población tiene conocimiento sobre las consecuencias de los desastres. Con ingresos familiares mayores a los S/. 4000 , son empresarios estables Recibe capacitación en temas de conservación ambiental una o 2 veces al año. Los servicios de recojo de basura llegan a la vivienda y se dirigen hasta un botadero municipal. con botaderos de basura ubicados a menos de 50 metros.	0.003	≤ R <	0.007







Mapa N° 8: Riesgo ante Sismo







5.3. Cálculo de Posibles pérdidas

En esta parte de la evaluación, se estiman los efectos probables que podrían generarse en el área de influencia o posible afectación en el **AA. HH VIRGEN DE GUADALUPE.**

El siguiente cuadro ha sido elaborado en función del nivel de riesgo, considerando un total de 526 viviendas del asentamiento humano Virgen de Guadalupe. De estas, 355 viviendas están construidas con paredes de adobe y madera, las cuales representan las estructuras más precarias. Por otro lado, 168 viviendas cuentan con estructuras de ladrillo y drywall. Ambos tipos de edificaciones presentan niveles de riesgo alto y muy alto, debido a su alta vulnerabilidad frente a deslizamientos y sismos de gran magnitud (superiores a 7 Mw). Por sus características constructivas, estas viviendas podrían sufrir daños severos ante la ocurrencia de un evento sísmico significativo.

Cuadro N.º 120. Efectos probables por Sismo en el área de estudio.

Efectos probables	Unidad	Cantidad	Costo Unit. (S/.)	Sub-total (S/.)	Pérdidas probables (S/.)		
AA.HH. VIRGEN DE GUADALUPE							
Daños probables							
Viviendas precarias con nivel de riesgo alto	Vivienda	355	3,300.00	1,171,500			
Viviendas precarias con nivel de riesgo muy alto	Vivienda	3	3,300.00	9,900.00	1,735,800		
Viviendas de ladrillo con nivel de riesgo alto	Vivienda	165	3,300.00	544,500.00			
Viviendas de ladrillo con nivel de riesgo alto	Vivienda	3	3,300.00	9,900.00			

Fuente:





⁻ Elaboración propia sobre la base de información proporcionada por el SIGRID, INFORMACION DE CAMPO, (*) Viviendas con material precario (Madera, quincha, estera u otro material). - INSTITUTO NACIONAL DE DEFENSA CIVIL (INDECI), Oficina General de Administración. Contrato Nº 039-2019- INDECI "Adquisición de carpas familiares para 5 personas - Tipo II". Octubre del 2019. - Costo de Construcción de Viviendas y Colegios – Reglamento Nacional de Tasaciones (Resolución Ministerial Nº172-2016-VIVIENDA), aprueban los valores unitarios oficiales para Lima Metropolitana y la Provincia Constitucional del Callao, la Costa, la Sierra y la Selva, vigentes para el Ejercicio Fiscal 2024 (Resolución Ministerial Nº 469-2023- VIVIENDA).



5.4. MEDIDAS DE PREVENCIÓN Y REDUCCIÓN DEL RIESGO

En relación a la determinación del peligro, analizando la vulnerabilidad y encontrando los niveles de riesgo se sugieren las siguientes medidas preventivas y de reducción del riesgo estructural y no estructural que pueden ser implementadas en la zona de estudio, sin embargo, su implementación deberá estar en función de un análisis costo-beneficio detallado que permita establecer la factibilidad de las mismas, en función de diferentes criterios de orden económico, social y entre otros.

El AA.HH. Virgen de Guadalupe, se encuentra asentado en una pendiente y colindando con laderas de cerro que ante un sismo mayor a 8.0 a 9.0 grados de Mw.

5.4.1. De orden estructural

- Se recomienda que las construcciones de viviendas que se realicen posteriormente deberán estar alineado al Reglamento Nacional de Edificaciones (RNE) y un informe de estudio de mecánica de suelos.
- Evaluar y/o reforzar la estructura de las viviendas con la asesoría de profesionales especialistas en estructuras que sean colegiados y habilitados, priorizando las viviendas que se encuentren en nivel de riesgo alto; con la finalidad de determinar acciones necesarias, según el análisis realizado: teniendo en consideración el Reglamento Nacional de Edificaciones. Norma E.010 (madera), E.020 (Cargas), E.030 (Diseño sismorresistente), E.050 (Suelos y cimentaciones), E.060 (Concreto armado), E.070 (Albañilería).
- Las viviendas deberán contar muros de contención en forma de L, concreto armado, mampostería o gaviones. Estas medidas deben ser diseñadas y supervisadas por ingenieros civiles o geotécnicos colegiados y habilitados, ya que cada talud tiene condiciones particulares de suelo, pendiente, humedad y carga.
- Para la zona cercana a la cantera, es fundamental emplear geomallas, anclajes y enrocados con el fin de estabilizar las áreas más vulnerables y prevenir deslizamientos. Asimismo, es imprescindible realizar una planificación y ordenamiento territorial que contemple la definición de zonas de exclusión o restricción para nuevas construcciones en las inmediaciones de la cantera, estableciendo así áreas seguras destinadas al desarrollo urbano.
- Evaluar y/o reforzar los techos y la cimentación evitando pircas y llantas, priorizando las viviendas en riesgo alto; debido a su estado de conservación, con asesoría de profesionales, teniendo en cuenta la normativa del Reglamento Nacional de Edificaciones. Norma E.010 (madera), E.020 (Cargas), E.030 (Diseño sismorresistente).

EVALUADOR DE RIESGOS

R.S. Nº 145-2021-CENEPREDIL



• El área destinada para recreación publica se sugiere ser reforestada con plantas endémicas de la costa, con la finalidad de reducir la erosión por sismo.

Cuadro Nº 121. Lista de lotes con nivel de riesgo ALTO Y MUY ALTO identificados en el área de estudio.

SECTOR	MANZANA	LOTE	NIVEL DE RIESGO
AA.HH VIRGEN DE GUADALUPE	А	1	ALTO
AA.HH VIRGEN DE GUADALUPE	А	2	ALTO
AA.HH VIRGEN DE GUADALUPE	А	3	ALTO
AA.HH VIRGEN DE GUADALUPE	А	4	ALTO
AA.HH VIRGEN DE GUADALUPE	А	5	ALTO
AA.HH VIRGEN DE GUADALUPE	А	6	ALTO
AA.HH VIRGEN DE GUADALUPE	А	7	ALTO
AA.HH VIRGEN DE GUADALUPE	А	8	ALTO
AA.HH VIRGEN DE GUADALUPE	Α	9	ALTO
AA.HH VIRGEN DE GUADALUPE	Α	10	ALTO
AA.HH VIRGEN DE GUADALUPE	Α	11	ALTO
AA.HH VIRGEN DE GUADALUPE	Α	12	ALTO
AA.HH VIRGEN DE GUADALUPE	Α	13	ALTO
AA.HH VIRGEN DE GUADALUPE	Α	14	ALTO
AA.HH VIRGEN DE GUADALUPE	Α	15	ALTO
AA.HH VIRGEN DE GUADALUPE	Α	16	ALTO
AA.HH VIRGEN DE GUADALUPE	Α	17	ALTO
AA.HH VIRGEN DE GUADALUPE	А	18	ALTO
AA.HH VIRGEN DE GUADALUPE	А	19	ALTO
AA.HH VIRGEN DE GUADALUPE	А	20	ALTO
AA.HH VIRGEN DE GUADALUPE	А	21	ALTO
AA.HH VIRGEN DE GUADALUPE	Α	22	ALTO
AA.HH VIRGEN DE GUADALUPE	А	23	ALTO
AA.HH VIRGEN DE GUADALUPE	А	24	ALTO
AA.HH VIRGEN DE GUADALUPE	А	25	ALTO
AA.HH VIRGEN DE GUADALUPE	А	26	ALTO
AA.HH VIRGEN DE GUADALUPE	Α	27	ALTO
AA.HH VIRGEN DE GUADALUPE	Α	28	ALTO
AA.HH VIRGEN DE GUADALUPE	В	1	ALTO
AA.HH VIRGEN DE GUADALUPE	В	2	ALTO
AA.HH VIRGEN DE GUADALUPE	В	3	ALTO
AA.HH VIRGEN DE GUADALUPE	В	4	ALTO
AA.HH VIRGEN DE GUADALUPE	В	5	ALTO
AA.HH VIRGEN DE GUADALUPE	В	6	ALTO
AA.HH VIRGEN DE GUADALUPE	В	7	ALTO
AA.HH VIRGEN DE GUADALUPE	Λ B /	8	ALTO



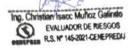
00/15/1201 2, 5/011	tiro DE Miri Ento, i i	COVINCIA CONSTITUCI	OITAL DEL
AA.HH VIRGEN DE GUADALUPE	В	9	ALTO
AA.HH VIRGEN DE GUADALUPE	В	10	ALTO
AA.HH VIRGEN DE GUADALUPE	В	11	ALTO
AA.HH VIRGEN DE GUADALUPE	В	12	ALTO
AA.HH VIRGEN DE GUADALUPE	В	13	ALTO
AA.HH VIRGEN DE GUADALUPE	В	14	ALTO
AA.HH VIRGEN DE GUADALUPE	В	15	ALTO
AA.HH VIRGEN DE GUADALUPE	В	16	ALTO
AA.HH VIRGEN DE GUADALUPE	В	17	ALTO
AA.HH VIRGEN DE GUADALUPE	В	18	ALTO
AA.HH VIRGEN DE GUADALUPE	В	19	ALTO
AA.HH VIRGEN DE GUADALUPE	В	20	ALTO
AA.HH VIRGEN DE GUADALUPE	В	21	ALTO
AA.HH VIRGEN DE GUADALUPE	В	22	ALTO
AA.HH VIRGEN DE GUADALUPE	В	23	ALTO
AA.HH VIRGEN DE GUADALUPE	В	24	ALTO
AA.HH VIRGEN DE GUADALUPE	В	25	ALTO
AA.HH VIRGEN DE GUADALUPE	В	26	ALTO
AA.HH VIRGEN DE GUADALUPE	В	27	ALTO
AA.HH VIRGEN DE GUADALUPE	В	28	ALTO
AA.HH VIRGEN DE GUADALUPE	С	1	ALTO
AA.HH VIRGEN DE GUADALUPE	С	2	ALTO
AA.HH VIRGEN DE GUADALUPE	С	3	ALTO
AA.HH VIRGEN DE GUADALUPE	С	4	ALTO
AA.HH VIRGEN DE GUADALUPE	С	5	ALTO
AA.HH VIRGEN DE GUADALUPE	С	6	ALTO
AA.HH VIRGEN DE GUADALUPE	С	7	ALTO
AA.HH VIRGEN DE GUADALUPE	С	8	ALTO
AA.HH VIRGEN DE GUADALUPE	С	9	ALTO
AA.HH VIRGEN DE GUADALUPE	С	10	ALTO
AA.HH VIRGEN DE GUADALUPE	С	11	ALTO
AA.HH VIRGEN DE GUADALUPE	С	12	ALTO
AA.HH VIRGEN DE GUADALUPE	С	13	ALTO
AA.HH VIRGEN DE GUADALUPE	С	14	ALTO
AA.HH VIRGEN DE GUADALUPE	C	15	ALTO
AA.HH VIRGEN DE GUADALUPE	С	16	ALTO
AA.HH VIRGEN DE GUADALUPE	C	17	ALTO
AA.HH VIRGEN DE GUADALUPE	С	18	ALTO
AA.HH VIRGEN DE GUADALUPE	C	19	ALTO
AA.HH VIRGEN DE GUADALUPE	C	20	ALTO
AA.HH VIRGEN DE GUADALUPE	C	21	ALTO
AA.HH VIRGEN DE GUADALUPE	C	22	ALTO
AA.HH VIRGEN DE GUADALUPE	С	23	ALTO
AA.HH VIRGEN DE GUADALUPE	С	24	ALTO
AA.HH VIRGEN DE GUADALUPE	C	25	ALTO
AA.HH VIRGEN DE GUADALUPE	C	26	ALTO
AA.HH VIRGEN DE GUADALUPE	(C /	27	ALTO



CTGGO Heles Trocerts Proces Sonoza company Evaluador de Ruesgos R J Nº 141-2021 CENEPREDIS



	ISTRITO DE MITTERO, FI	COTINOIA CONOTTICO	ONAL DEL
AA.HH VIRGEN DE GUADALUPE	С	28	ALTO
AA.HH VIRGEN DE GUADALUPE	С	29	ALTO
AA.HH VIRGEN DE GUADALUPE	С	30	ALTO
AA.HH VIRGEN DE GUADALUPE	С	31	ALTO
AA.HH VIRGEN DE GUADALUPE	С	32	ALTO
AA.HH VIRGEN DE GUADALUPE	С	33	ALTO
AA.HH VIRGEN DE GUADALUPE	С	34	ALTO
AA.HH VIRGEN DE GUADALUPE	С	35	ALTO
AA.HH VIRGEN DE GUADALUPE	D	1	ALTO
AA.HH VIRGEN DE GUADALUPE	D	2	ALTO
AA.HH VIRGEN DE GUADALUPE	D	3	ALTO
AA.HH VIRGEN DE GUADALUPE	D	4	ALTO
AA.HH VIRGEN DE GUADALUPE	D	5	ALTO
AA.HH VIRGEN DE GUADALUPE	D	6	ALTO
AA.HH VIRGEN DE GUADALUPE	D	7	ALTO
AA.HH VIRGEN DE GUADALUPE	D	8	ALTO
AA.HH VIRGEN DE GUADALUPE	D	9	ALTO
AA.HH VIRGEN DE GUADALUPE	D	10	ALTO
AA.HH VIRGEN DE GUADALUPE	D	11	ALTO
AA.HH VIRGEN DE GUADALUPE	D	12	ALTO
AA.HH VIRGEN DE GUADALUPE	D	13	ALTO
AA.HH VIRGEN DE GUADALUPE	D	14	ALTO
AA.HH VIRGEN DE GUADALUPE	D	15	ALTO
AA.HH VIRGEN DE GUADALUPE	D	16	ALTO
AA.HH VIRGEN DE GUADALUPE	D	17	ALTO
AA.HH VIRGEN DE GUADALUPE	D	18	ALTO
AA.HH VIRGEN DE GUADALUPE	D	19	ALTO
AA.HH VIRGEN DE GUADALUPE	D	20	ALTO
AA.HH VIRGEN DE GUADALUPE	D	21	ALTO
AA.HH VIRGEN DE GUADALUPE	D	22	ALTO
AA.HH VIRGEN DE GUADALUPE	D	23	ALTO
AA.HH VIRGEN DE GUADALUPE	Е	1	ALTO
AA.HH VIRGEN DE GUADALUPE	E	2	ALTO
AA.HH VIRGEN DE GUADALUPE	E	3	ALTO
AA.HH VIRGEN DE GUADALUPE	E	4	ALTO
AA.HH VIRGEN DE GUADALUPE	E	5	ALTO
AA.HH VIRGEN DE GUADALUPE	E	6	ALTO
AA.HH VIRGEN DE GUADALUPE	E	7	ALTO
AA.HH VIRGEN DE GUADALUPE	E	8	ALTO
AA.HH VIRGEN DE GUADALUPE	E	9	ALTO
AA.HH VIRGEN DE GUADALUPE	E	10	ALTO
AA.HH VIRGEN DE GUADALUPE	E	11	ALTO
AA.HH VIRGEN DE GUADALUPE	E	12	ALTO
AA.HH VIRGEN DE GUADALUPE	E	13	ALTO
AA.HH VIRGEN DE GUADALUPE	E	14	ALTO
AA.HH VIRGEN DE GUADALUPE	E	15	ALTO
AA.HH VIRGEN DE GUADALUPE	, A E /	16	ALTO



CTGGO Neges Tocerts Proces Screes
company Evaluador de Riesgos
R J Nº 141-2021 CENEPREDID



OUADALUI L, DIO	INITO DE MITTERO, I R	OVINCIA CONSTITUCI	ONAL DEL
AA.HH VIRGEN DE GUADALUPE	E	17	ALTO
AA.HH VIRGEN DE GUADALUPE	F	1	ALTO
AA.HH VIRGEN DE GUADALUPE	F	2	ALTO
AA.HH VIRGEN DE GUADALUPE	F	3	ALTO
AA.HH VIRGEN DE GUADALUPE	F	4	ALTO
AA.HH VIRGEN DE GUADALUPE	F	5	ALTO
AA.HH VIRGEN DE GUADALUPE	F	6	ALTO
AA.HH VIRGEN DE GUADALUPE	F	7	ALTO
AA.HH VIRGEN DE GUADALUPE	F	8	ALTO
AA.HH VIRGEN DE GUADALUPE	F	9	ALTO
AA.HH VIRGEN DE GUADALUPE	F	10	ALTO
AA.HH VIRGEN DE GUADALUPE	F	11	ALTO
AA.HH VIRGEN DE GUADALUPE	F	12	ALTO
AA.HH VIRGEN DE GUADALUPE	F	13	ALTO
AA.HH VIRGEN DE GUADALUPE	F	14	ALTO
AA.HH VIRGEN DE GUADALUPE	 F	15	ALTO
AA.HH VIRGEN DE GUADALUPE	 F	16	ALTO
AA.HH VIRGEN DE GUADALUPE	 F	17	ALTO
AA.HH VIRGEN DE GUADALUPE	F	18	ALTO
AA.HH VIRGEN DE GUADALUPE	 F	19	ALTO
AA.HH VIRGEN DE GUADALUPE	 F	20	ALTO
AA.HH VIRGEN DE GUADALUPE	F	21	ALTO
AA.HH VIRGEN DE GUADALUPE	F	22	ALTO
AA.HH VIRGEN DE GUADALUPE	G	1	ALTO
AA.HH VIRGEN DE GUADALUPE	G	2	ALTO
AA.HH VIRGEN DE GUADALUPE	G	3	ALTO
AA.HH VIRGEN DE GUADALUPE	G	4	ALTO
AA.HH VIRGEN DE GUADALUPE	G	5	ALTO
AA.HH VIRGEN DE GUADALUPE	G	6	ALTO
AA.HH VIRGEN DE GUADALUPE	G	7	ALTO
AA.HH VIRGEN DE GUADALUPE	G	8	ALTO
AA.HH VIRGEN DE GUADALUPE	G	9	ALTO
AA.HH VIRGEN DE GUADALUPE	G	10	ALTO
AA.HH VIRGEN DE GUADALUPE	G	11	ALTO
AA.HH VIRGEN DE GUADALUPE	G	12	ALTO
AA.HH VIRGEN DE GUADALUPE	G	13	ALTO
AA.HH VIRGEN DE GUADALUPE	G	14	ALTO
AA.HH VIRGEN DE GUADALUPE	G	15	ALTO
AA.HH VIRGEN DE GUADALUPE	G	16	ALTO
AA.HH VIRGEN DE GUADALUPE	G	17	ALTO
AA.HH VIRGEN DE GUADALUPE	G	18	ALTO
AA.HH VIRGEN DE GUADALUPE	G	19	ALTO
AA.HH VIRGEN DE GUADALUPE	G	20	ALTO
AA.HH VIRGEN DE GUADALUPE	G	21	ALTO
AA.HH VIRGEN DE GUADALUPE	G	22	ALTO
AA.HH VIRGEN DE GUADALUPE	G	23	ALTO
AA.HH VIRGEN DE GUADALUPE	A G	24	ALTO



CTGGO Neges Tocerts Proces Screes
company Evaluador de Riesgos
R J Nº 141-2021 CENEPREDID



•	STRITO DE MILFERO, FR		010/12 222
AA.HH VIRGEN DE GUADALUPE	Н	1	ALTO
AA.HH VIRGEN DE GUADALUPE	Н	2	ALTO
AA.HH VIRGEN DE GUADALUPE	Н	3	ALTO
AA.HH VIRGEN DE GUADALUPE	Н	4	ALTO
AA.HH VIRGEN DE GUADALUPE	Н	5	ALTO
AA.HH VIRGEN DE GUADALUPE	Н	6	ALTO
AA.HH VIRGEN DE GUADALUPE	Н	7	ALTO
AA.HH VIRGEN DE GUADALUPE	Н	8	ALTO
AA.HH VIRGEN DE GUADALUPE	Н	9	ALTO
AA.HH VIRGEN DE GUADALUPE	Н	10	ALTO
AA.HH VIRGEN DE GUADALUPE	Н	11	ALTO
AA.HH VIRGEN DE GUADALUPE	Н	12	ALTO
AA.HH VIRGEN DE GUADALUPE	Н	13	ALTO
AA.HH VIRGEN DE GUADALUPE	I	1	ALTO
AA.HH VIRGEN DE GUADALUPE	1	2	ALTO
AA.HH VIRGEN DE GUADALUPE	I	3	ALTO
AA.HH VIRGEN DE GUADALUPE	1	4	ALTO
AA.HH VIRGEN DE GUADALUPE	I	5	ALTO
AA.HH VIRGEN DE GUADALUPE	I	6	ALTO
AA.HH VIRGEN DE GUADALUPE	I	7	ALTO
AA.HH VIRGEN DE GUADALUPE	I	8	ALTO
AA.HH VIRGEN DE GUADALUPE	I	9	ALTO
AA.HH VIRGEN DE GUADALUPE	I	10	ALTO
AA.HH VIRGEN DE GUADALUPE	I	11	ALTO
AA.HH VIRGEN DE GUADALUPE	I	12	ALTO
AA.HH VIRGEN DE GUADALUPE	I	13	ALTO
AA.HH VIRGEN DE GUADALUPE	l	14	ALTO
AA.HH VIRGEN DE GUADALUPE	l	15	ALTO
AA.HH VIRGEN DE GUADALUPE	1	16	ALTO
AA.HH VIRGEN DE GUADALUPE	I	17	ALTO
AA.HH VIRGEN DE GUADALUPE	I	18	ALTO
AA.HH VIRGEN DE GUADALUPE	J	1	ALTO
AA.HH VIRGEN DE GUADALUPE	J	2	ALTO
AA.HH VIRGEN DE GUADALUPE	J	3	ALTO
AA.HH VIRGEN DE GUADALUPE	J	4	ALTO
AA.HH VIRGEN DE GUADALUPE	J	5	ALTO
AA.HH VIRGEN DE GUADALUPE	J	6	ALTO
AA.HH VIRGEN DE GUADALUPE	J	7	ALTO
AA.HH VIRGEN DE GUADALUPE	J	8	ALTO
AA.HH VIRGEN DE GUADALUPE	J	9	ALTO
AA.HH VIRGEN DE GUADALUPE	J	10	ALTO
AA.HH VIRGEN DE GUADALUPE	J	11	ALTO
AA.HH VIRGEN DE GUADALUPE	J	12	ALTO
AA.HH VIRGEN DE GUADALUPE	J	13	ALTO
AA.HH VIRGEN DE GUADALUPE	J	14	ALTO
AA.HH VIRGEN DE GUADALUPE	J	15	ALTO
AA.HH VIRGEN DE GUADALUPE	August J	16	ALTO



CTGGO Negra Fixterta Procepe Stricta combina Evaluador de Riesgos R J Nº 141-2321-CENEPREDIS



GOADALOF L, DIS	TRITO DE MILFERO, FR	OVINCIA CONSTITUCI	ONAL DEL
AA.HH VIRGEN DE GUADALUPE	J	17	ALTO
AA.HH VIRGEN DE GUADALUPE	J	18	ALTO
AA.HH VIRGEN DE GUADALUPE	J	19	ALTO
AA.HH VIRGEN DE GUADALUPE	J	20	ALTO
AA.HH VIRGEN DE GUADALUPE	K	1	ALTO
AA.HH VIRGEN DE GUADALUPE	K	2	ALTO
AA.HH VIRGEN DE GUADALUPE	K	3	ALTO
AA.HH VIRGEN DE GUADALUPE	K	4	ALTO
AA.HH VIRGEN DE GUADALUPE	K	5	ALTO
AA.HH VIRGEN DE GUADALUPE	K	6	ALTO
AA.HH VIRGEN DE GUADALUPE	K	7	ALTO
AA.HH VIRGEN DE GUADALUPE	K	8	ALTO
AA.HH VIRGEN DE GUADALUPE	K	9	ALTO
AA.HH VIRGEN DE GUADALUPE	K	10	ALTO
AA.HH VIRGEN DE GUADALUPE	K	11	ALTO
AA.HH VIRGEN DE GUADALUPE	K	12	ALTO
AA.HH VIRGEN DE GUADALUPE	K	13	ALTO
AA.HH VIRGEN DE GUADALUPE	K	14	ALTO
AA.HH VIRGEN DE GUADALUPE	K	15	ALTO
AA.HH VIRGEN DE GUADALUPE	K	16	ALTO
AA.HH VIRGEN DE GUADALUPE	K	17	ALTO
AA.HH VIRGEN DE GUADALUPE	K	18	ALTO
AA.HH VIRGEN DE GUADALUPE	K	19	ALTO
AA.HH VIRGEN DE GUADALUPE	K	20	ALTO
AA.HH VIRGEN DE GUADALUPE	L	1	ALTO
AA.HH VIRGEN DE GUADALUPE	L	2	ALTO
AA.HH VIRGEN DE GUADALUPE	L	3	ALTO
AA.HH VIRGEN DE GUADALUPE	L L	4	ALTO
AA.HH VIRGEN DE GUADALUPE	L	5	ALTO
AA.HH VIRGEN DE GUADALUPE	L	6	ALTO
AA.HH VIRGEN DE GUADALUPE	L	7	ALTO
AA.HH VIRGEN DE GUADALUPE	<u>-</u>	8	ALTO
AA.HH VIRGEN DE GUADALUPE	L	9	ALTO
AA.HH VIRGEN DE GUADALUPE	L	10	ALTO
AA.HH VIRGEN DE GUADALUPE	L	11	ALTO
AA.HH VIRGEN DE GUADALUPE	L	12	ALTO
AA.HH VIRGEN DE GUADALUPE	L	13	ALTO
AA.HH VIRGEN DE GUADALUPE	L	14	ALTO
AA.HH VIRGEN DE GUADALUPE	L	15	ALTO
AA.HH VIRGEN DE GUADALUPE	L	16	ALTO
AA.HH VIRGEN DE GUADALUPE	L	17	ALTO
AA.HH VIRGEN DE GUADALUPE	L	18	ALTO
AA.HH VIRGEN DE GUADALUPE	 М	1	ALTO
AA.HH VIRGEN DE GUADALUPE	M	2	ALTO
AA.HH VIRGEN DE GUADALUPE	M	3	ALTO
AA.HH VIRGEN DE GUADALUPE	M	4	ALTO
AA.HH VIRGEN DE GUADALUPE	A M //	5	ALTO



CTGGO Negra Fixterta Procepe Stricta combina Evaluador de Riesgos R J Nº 141-2321-CENEPREDIS



GONDALGI L, DIG	TRITO DE IVII FERO, F		
AA.HH VIRGEN DE GUADALUPE	M	6	ALTO
AA.HH VIRGEN DE GUADALUPE	M	7	ALTO
AA.HH VIRGEN DE GUADALUPE	М	8	ALTO
AA.HH VIRGEN DE GUADALUPE	М	9	ALTO
AA.HH VIRGEN DE GUADALUPE	М	10	ALTO
AA.HH VIRGEN DE GUADALUPE	М	11	ALTO
AA.HH VIRGEN DE GUADALUPE	М	12	ALTO
AA.HH VIRGEN DE GUADALUPE	М	13	ALTO
AA.HH VIRGEN DE GUADALUPE	М	14	ALTO
AA.HH VIRGEN DE GUADALUPE	М	15	ALTO
AA.HH VIRGEN DE GUADALUPE	М	16	ALTO
AA.HH VIRGEN DE GUADALUPE	M	17	ALTO
AA.HH VIRGEN DE GUADALUPE	M	18	ALTO
AA.HH VIRGEN DE GUADALUPE	M	19	ALTO
AA.HH VIRGEN DE GUADALUPE	M	20	ALTO
AA.HH VIRGEN DE GUADALUPE	N	1	ALTO
AA.HH VIRGEN DE GUADALUPE	N	2	ALTO
AA.HH VIRGEN DE GUADALUPE	N	3	ALTO
AA.HH VIRGEN DE GUADALUPE	N	4	ALTO
AA.HH VIRGEN DE GUADALUPE	N	5	ALTO
AA.HH VIRGEN DE GUADALUPE	N	6	ALTO
AA.HH VIRGEN DE GUADALUPE	N	7	ALTO
AA.HH VIRGEN DE GUADALUPE	N	8	ALTO
AA.HH VIRGEN DE GUADALUPE	N	9	ALTO
AA.HH VIRGEN DE GUADALUPE	N	10	ALTO
AA.HH VIRGEN DE GUADALUPE	N	11	ALTO
AA.HH VIRGEN DE GUADALUPE	N	12	ALTO
AA.HH VIRGEN DE GUADALUPE	N	13	ALTO
AA.HH VIRGEN DE GUADALUPE	N	14	ALTO
AA.HH VIRGEN DE GUADALUPE	N	15	ALTO
AA.HH VIRGEN DE GUADALUPE	N	16	ALTO
AA.HH VIRGEN DE GUADALUPE	N	17	ALTO
AA.HH VIRGEN DE GUADALUPE	N	18	ALTO
AA.HH VIRGEN DE GUADALUPE	0	1	ALTO
AA.HH VIRGEN DE GUADALUPE	0	2	ALTO
AA.HH VIRGEN DE GUADALUPE	0	3	ALTO
AA.HH VIRGEN DE GUADALUPE	0	4	ALTO
AA.HH VIRGEN DE GUADALUPE	0	5	ALTO
AA.HH VIRGEN DE GUADALUPE	0	6	ALTO
AA.HH VIRGEN DE GUADALUPE AA.HH VIRGEN DE GUADALUPE	0	7	ALTO
AA.HH VIRGEN DE GUADALUPE	0	8	
AA.HH VIRGEN DE GUADALUPE AA.HH VIRGEN DE GUADALUPE	0	9	ALTO
AA.HH VIRGEN DE GUADALUPE AA.HH VIRGEN DE GUADALUPE	0	10	ALTO ALTO
AA.HH VIRGEN DE GUADALUPE AA.HH VIRGEN DE GUADALUPE	0	10	
			ALTO
AA.HH VIRGEN DE GUADALUPE	0	12	ALTO
AA HILVIRGEN DE GUADALUPE	0	13	ALTO
AA.HH VIRGEN DE GUADALUPE	0	14	ALTO



CTGGG Helefa Tiscerta Prospie Suricas compans Evaluador de Riesgos R J Nº 141-2021 CENEPREDIA



OUNDALUI L, DIO	TRITO DE IVII FERO, FR	COVINCIA CONSTITUCI	ONAL DEL
AA.HH VIRGEN DE GUADALUPE	0	15	ALTO
AA.HH VIRGEN DE GUADALUPE	0	16	ALTO
AA.HH VIRGEN DE GUADALUPE	0	17	ALTO
AA.HH VIRGEN DE GUADALUPE	0	18	ALTO
AA.HH VIRGEN DE GUADALUPE	0	19	ALTO
AA.HH VIRGEN DE GUADALUPE	0	20	ALTO
AA.HH VIRGEN DE GUADALUPE	Р	1	ALTO
AA.HH VIRGEN DE GUADALUPE	Р	2	ALTO
AA.HH VIRGEN DE GUADALUPE	Р	3	ALTO
AA.HH VIRGEN DE GUADALUPE	Р	4	ALTO
AA.HH VIRGEN DE GUADALUPE	Р	5	ALTO
AA.HH VIRGEN DE GUADALUPE	Р	6	ALTO
AA.HH VIRGEN DE GUADALUPE	P	7	ALTO
AA.HH VIRGEN DE GUADALUPE	P	8	ALTO
AA.HH VIRGEN DE GUADALUPE	P	9	ALTO
AA.HH VIRGEN DE GUADALUPE	 P	10	ALTO
AA.HH VIRGEN DE GUADALUPE	 P	11	ALTO
AA.HH VIRGEN DE GUADALUPE	 P	12	ALTO
AA.HH VIRGEN DE GUADALUPE	 P	13	ALTO
AA.HH VIRGEN DE GUADALUPE	P	14	ALTO
AA.HH VIRGEN DE GUADALUPE	 P	15	ALTO
AA.HH VIRGEN DE GUADALUPE	Р	16	ALTO
AA.HH VIRGEN DE GUADALUPE	P	17	ALTO
AA.HH VIRGEN DE GUADALUPE	P	18	ALTO
AA.HH VIRGEN DE GUADALUPE	P	19	ALTO
AA.HH VIRGEN DE GUADALUPE	P	20	ALTO
AA.HH VIRGEN DE GUADALUPE	Q	1	ALTO
AA.HH VIRGEN DE GUADALUPE	Q	2	ALTO
AA.HH VIRGEN DE GUADALUPE	Q	3	ALTO
AA.HH VIRGEN DE GUADALUPE	Q	4	ALTO
AA.HH VIRGEN DE GUADALUPE	Q	5	ALTO
AA.HH VIRGEN DE GUADALUPE	Q	6	ALTO
AA.HH VIRGEN DE GUADALUPE	Q	7	ALTO
AA.HH VIRGEN DE GUADALUPE	Q	8	ALTO
AA.HH VIRGEN DE GUADALUPE	Q	9	ALTO
AA.HH VIRGEN DE GUADALUPE	Q	10	ALTO
AA.HH VIRGEN DE GUADALUPE	Q	11	ALTO
AA.HH VIRGEN DE GUADALUPE	Q	12	ALTO
AA.HH VIRGEN DE GUADALUPE	Q	13	ALTO
AA.HH VIRGEN DE GUADALUPE	Q	14	ALTO
AA.HH VIRGEN DE GUADALUPE	Q	15	ALTO
AA.HH VIRGEN DE GUADALUPE	Q	16	ALTO
AA.HH VIRGEN DE GUADALUPE	Q	17	ALTO
AA.HH VIRGEN DE GUADALUPE	Q	18	ALTO
AA.HH VIRGEN DE GUADALUPE	Q	19	ALTO
AA.HH VIRGEN DE GUADALUPE	Q	20	ALTO
AA.HH VIRGEN DE GUADALUPE		1	ALTO



CTGGO Negra Fixterta Procepe Stress combina Evaluador de Riesgos R J Nº 141-2321-CENEPREDIS



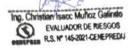
OONDREOF E, D	NOTKITO DE IMI FERO, FI	COTINOIA CONCTITOO	OHAL BLL
AA.HH VIRGEN DE GUADALUPE	R	2	ALTO
AA.HH VIRGEN DE GUADALUPE	R	3	ALTO
AA.HH VIRGEN DE GUADALUPE	R	4	ALTO
AA.HH VIRGEN DE GUADALUPE	R	5	ALTO
AA.HH VIRGEN DE GUADALUPE	R	6	ALTO
AA.HH VIRGEN DE GUADALUPE	R	7	ALTO
AA.HH VIRGEN DE GUADALUPE	R	8	ALTO
AA.HH VIRGEN DE GUADALUPE	R	9	ALTO
AA.HH VIRGEN DE GUADALUPE	R	10	ALTO
AA.HH VIRGEN DE GUADALUPE	R	11	ALTO
AA.HH VIRGEN DE GUADALUPE	R	12	ALTO
AA.HH VIRGEN DE GUADALUPE	R	13	ALTO
AA.HH VIRGEN DE GUADALUPE	R	14	ALTO
AA.HH VIRGEN DE GUADALUPE	R	15	ALTO
AA.HH VIRGEN DE GUADALUPE	R	16	ALTO
AA.HH VIRGEN DE GUADALUPE	R	17	ALTO
AA.HH VIRGEN DE GUADALUPE	R	18	ALTO
AA.HH VIRGEN DE GUADALUPE	R	19	ALTO
AA.HH VIRGEN DE GUADALUPE	R	20	ALTO
AA.HH VIRGEN DE GUADALUPE	S	1	ALTO
AA.HH VIRGEN DE GUADALUPE	S	2	ALTO
AA.HH VIRGEN DE GUADALUPE	S	3	ALTO
AA.HH VIRGEN DE GUADALUPE	S	4	ALTO
AA.HH VIRGEN DE GUADALUPE	S	5	ALTO
AA.HH VIRGEN DE GUADALUPE	S	6	ALTO
AA.HH VIRGEN DE GUADALUPE	S	7	ALTO
AA.HH VIRGEN DE GUADALUPE	S	8	ALTO
AA.HH VIRGEN DE GUADALUPE	S	9	ALTO
AA.HH VIRGEN DE GUADALUPE	S	10	ALTO
AA.HH VIRGEN DE GUADALUPE	Т	1	ALTO
AA.HH VIRGEN DE GUADALUPE	Т	2	ALTO
AA.HH VIRGEN DE GUADALUPE	Т	3	ALTO
AA.HH VIRGEN DE GUADALUPE	Т	4	ALTO
AA.HH VIRGEN DE GUADALUPE	Т	5	ALTO
AA.HH VIRGEN DE GUADALUPE	Т	6	ALTO
AA.HH VIRGEN DE GUADALUPE	Т	7	ALTO
AA.HH VIRGEN DE GUADALUPE	Т	8	ALTO
AA.HH VIRGEN DE GUADALUPE	Т	9	ALTO
AA.HH VIRGEN DE GUADALUPE	Т	10	ALTO
AA.HH VIRGEN DE GUADALUPE	U	1	ALTO
AA.HH VIRGEN DE GUADALUPE	U	2	ALTO
AA.HH VIRGEN DE GUADALUPE	U	3	ALTO
AA.HH VIRGEN DE GUADALUPE	U	4	ALTO
AA.HH VIRGEN DE GUADALUPE	U	5	ALTO
AA.HH VIRGEN DE GUADALUPE	U	6	ALTO
AA.HH VIRGEN DE GUADALUPE	U	7	ALTO
AA.HH VIRGEN DE GUADALUPE	, A U	8	ALTO



CTGGO Heles Trocerts Proces Sonoza company Evaluador de Ruesgos R J Nº 141-2021 CENEPREDIS



	KITO DE WII FERO, FI		
AA.HH VIRGEN DE GUADALUPE	U	9	ALTO
AA.HH VIRGEN DE GUADALUPE	U	10	ALTO
AA.HH VIRGEN DE GUADALUPE	U	11	ALTO
AA.HH VIRGEN DE GUADALUPE	U	12	ALTO
AA.HH VIRGEN DE GUADALUPE	U	13	ALTO
AA.HH VIRGEN DE GUADALUPE	U	14	ALTO
AA.HH VIRGEN DE GUADALUPE	U	15	MUY ALTO
AA.HH VIRGEN DE GUADALUPE	U	16	MUY ALTO
AA.HH VIRGEN DE GUADALUPE	U	17	ALTO
AA.HH VIRGEN DE GUADALUPE	U	18	ALTO
AA.HH VIRGEN DE GUADALUPE	U	19	ALTO
AA.HH VIRGEN DE GUADALUPE	U	20	ALTO
AA.HH VIRGEN DE GUADALUPE	U	21	ALTO
AA.HH VIRGEN DE GUADALUPE	U	22	ALTO
AA.HH VIRGEN DE GUADALUPE	U	23	ALTO
AA.HH VIRGEN DE GUADALUPE	U	24	ALTO
AA.HH VIRGEN DE GUADALUPE	W	1	ALTO
AA.HH VIRGEN DE GUADALUPE	W	2	ALTO
AA.HH VIRGEN DE GUADALUPE	W	3	ALTO
AA.HH VIRGEN DE GUADALUPE	W	4	ALTO
AA.HH VIRGEN DE GUADALUPE	W	5	ALTO
AA.HH VIRGEN DE GUADALUPE	W	6	ALTO
AA.HH VIRGEN DE GUADALUPE	W	7	ALTO
AA.HH VIRGEN DE GUADALUPE	W	8	ALTO
AA.HH VIRGEN DE GUADALUPE	W	9	ALTO
AA.HH VIRGEN DE GUADALUPE	W	10	ALTO
AA.HH VIRGEN DE GUADALUPE	W	11	ALTO
AA.HH VIRGEN DE GUADALUPE	W	12	ALTO
AA.HH VIRGEN DE GUADALUPE	W	13	ALTO
AA.HH VIRGEN DE GUADALUPE	W	14	ALTO
AA.HH VIRGEN DE GUADALUPE	W	15	ALTO
AA.HH VIRGEN DE GUADALUPE	W	16	ALTO
AA.HH VIRGEN DE GUADALUPE	W	17	ALTO
AA.HH VIRGEN DE GUADALUPE	W	18	ALTO
AA.HH VIRGEN DE GUADALUPE	W	19	ALTO
AA.HH VIRGEN DE GUADALUPE	W	20	ALTO
AA.HH VIRGEN DE GUADALUPE	W	21	ALTO
AA.HH VIRGEN DE GUADALUPE	W	22	ALTO
AA.HH VIRGEN DE GUADALUPE	W	23	ALTO
AA.HH VIRGEN DE GUADALUPE	W	24	ALTO
AA.HH VIRGEN DE GUADALUPE	W	25	ALTO
AA.HH VIRGEN DE GUADALUPE	W	26	ALTO
AA.HH VIRGEN DE GUADALUPE	W	27	ALTO
AA.HH VIRGEN DE GUADALUPE	W	28	ALTO
AA.HH VIRGEN DE GUADALUPE	W	29	ALTO
AA.HH VIRGEN DE GUADALUPE	Χ	1	ALTO
AA.HH VIRGEN DE GUADALUPE	A X	2	ALTO



CTGGG Meeta Trocetta Proces Suncas cambina Evaluados de Riesgos R J Nº 141-2021 CENEPREDIS



00:12:120: 2,210	TRITO DE MILFERO, FR	OVIIIOIA GONOTITO	JOINAL DEL
AA.HH VIRGEN DE GUADALUPE	X	3	ALTO
AA.HH VIRGEN DE GUADALUPE	X	4	ALTO
AA.HH VIRGEN DE GUADALUPE	X	5	ALTO
AA.HH VIRGEN DE GUADALUPE	X	6	ALTO
AA.HH VIRGEN DE GUADALUPE	X	7	ALTO
AA.HH VIRGEN DE GUADALUPE	X	8	ALTO
AA.HH VIRGEN DE GUADALUPE	Χ	9	ALTO
AA.HH VIRGEN DE GUADALUPE	Χ	10	ALTO
AA.HH VIRGEN DE GUADALUPE	Χ	11	ALTO
AA.HH VIRGEN DE GUADALUPE	Χ	12	ALTO
AA.HH VIRGEN DE GUADALUPE	X	13	ALTO
AA.HH VIRGEN DE GUADALUPE	Χ	14	ALTO
AA.HH VIRGEN DE GUADALUPE	Χ	15	ALTO
AA.HH VIRGEN DE GUADALUPE	Χ	16	ALTO
AA.HH VIRGEN DE GUADALUPE	Χ	17	ALTO
AA.HH VIRGEN DE GUADALUPE	Х	18	ALTO
AA.HH VIRGEN DE GUADALUPE	Х	19	ALTO
AA.HH VIRGEN DE GUADALUPE	Х	20	ALTO
AA.HH VIRGEN DE GUADALUPE	Χ	21	ALTO
AA.HH VIRGEN DE GUADALUPE	Χ	22	ALTO
AA.HH VIRGEN DE GUADALUPE	Χ	23	MUY ALTO
AA.HH VIRGEN DE GUADALUPE	X	24	MUY ALTO
AA.HH VIRGEN DE GUADALUPE	X	25	MUY ALTO
AA.HH VIRGEN DE GUADALUPE	X	26	ALTO
AA.HH VIRGEN DE GUADALUPE	X	27	ALTO
AA.HH VIRGEN DE GUADALUPE	X	28	ALTO
AA.HH VIRGEN DE GUADALUPE	X	29	ALTO
AA.HH VIRGEN DE GUADALUPE	Υ	1	ALTO
AA.HH VIRGEN DE GUADALUPE	Υ	2	ALTO
AA.HH VIRGEN DE GUADALUPE	Υ	3	ALTO
AA.HH VIRGEN DE GUADALUPE	Υ	4	ALTO
AA.HH VIRGEN DE GUADALUPE	Υ	5	ALTO
AA.HH VIRGEN DE GUADALUPE	Υ	6	ALTO
AA.HH VIRGEN DE GUADALUPE	Υ	7	ALTO
AA.HH VIRGEN DE GUADALUPE	Υ	8	ALTO
AA.HH VIRGEN DE GUADALUPE	Υ	9	ALTO
AA.HH VIRGEN DE GUADALUPE	Υ	10	ALTO
AA.HH VIRGEN DE GUADALUPE	Υ	11	ALTO
AA.HH VIRGEN DE GUADALUPE	Υ	12	ALTO
AA.HH VIRGEN DE GUADALUPE	Υ	13	ALTO
AA.HH VIRGEN DE GUADALUPE	Υ	14	ALTO
AA.HH VIRGEN DE GUADALUPE	Υ	15	ALTO
AA.HH VIRGEN DE GUADALUPE	Υ	16	ALTO
AA.HH VIRGEN DE GUADALUPE	Υ	17	ALTO
AA.HH VIRGEN DE GUADALUPE	Υ	18	ALTO
AA.HH VIRGEN DE GUADALUPE	Υ	19	ALTO
AA.HH VIRGEN DE GUADALUPE	A Y	20	ALTO



CTGGO Negra Fixterta Procepe Stress combina Evaluador de Riesgos R J Nº 141-2321-CENEPREDIS



=======================================	THAT O DE MITT ERRO, THE		
AA.HH VIRGEN DE GUADALUPE	Υ	21	ALTO
AA.HH VIRGEN DE GUADALUPE	Υ	22	ALTO
AA.HH VIRGEN DE GUADALUPE	Υ	23	ALTO
AA.HH VIRGEN DE GUADALUPE	Υ	24	ALTO
AA.HH VIRGEN DE GUADALUPE	Υ	25	ALTO
AA.HH VIRGEN DE GUADALUPE	Υ	26	ALTO
AA.HH VIRGEN DE GUADALUPE	Υ	27	ALTO
AA.HH VIRGEN DE GUADALUPE	Υ	28	ALTO
AA.HH VIRGEN DE GUADALUPE	Υ	29	ALTO
AA.HH VIRGEN DE GUADALUPE	Υ	30	ALTO
AA.HH VIRGEN DE GUADALUPE	Υ	31	ALTO
AA.HH VIRGEN DE GUADALUPE	Υ	32	ALTO
AA.HH VIRGEN DE GUADALUPE	Υ	33	ALTO
AA.HH VIRGEN DE GUADALUPE	Υ	34	ALTO
AA.HH VIRGEN DE GUADALUPE	Z	1	ALTO
AA.HH VIRGEN DE GUADALUPE	Z	2	MUY ALTO
AA.HH VIRGEN DE GUADALUPE	Z	3	ALTO
AA.HH VIRGEN DE GUADALUPE	Z	4	ALTO
AA.HH VIRGEN DE GUADALUPE	Z	5	ALTO
AA.HH VIRGEN DE GUADALUPE	Z	6	ALTO
AA.HH VIRGEN DE GUADALUPE	Z	7	ALTO
7 V III II VIII GEIV DE GOT IDTEGE	_	,	/ (LTO







5.4.2. De orden no estructural

- Se recomienda difundir estratégicamente comunicacionales difundidas a través de las redes sociales, y capacitar a fin de difundir la cultura de prevención de toda la población del AA.HH. Virgen de Guadalupe.
- Incorporar la gestión del riesgo de desastres en las inversiones públicas y privadas, para ello, los formuladores de gestión pública deben ser capacitados en gestión del riesgo de desastres; a fin de conocer los mecanismos e importancia de reducir la probabilidad de que una situación de riesgo se convierta en un desastre, y garantizar la sostenibilidad del mismo.
- Se debe tener presente los resultados del presente informe para la actualización y/o
 elaboración de los siguientes documentos técnicos: (i) Planes de Desarrollo Urbano y
 habilitaciones urbanas, (ii) Planes de acondicionamiento Territorial (iii) Plan de
 prevención y reducción de riesgos (iii) Plan de Ordenamiento Territorial (iv) Plan de Uso
 de Suelo, (v) Zonificación, entre otros.
- Fiscalizar y restringir de manera periódica la construcción de viviendas en zonas de riesgo en el AA.HH. Virgen de Guadalupe, con la finalidad de evitar el crecimiento desordenado de la población en zonas inestables para la habilitación urbana con más de dos pisos.
- Se le recomienda a la entidad local realizar informe de estudio de suelo o geotécnica para los futuros proyectos del Asentamiento humano.
- Capacitar o realizar talleres a la población en temas de GRD y en la temática Ambiental; así como tener un registro de la participación de los talleres.
- Promover a la entidad local que el presente informe sirva de insumo para futuros proyectos de inversión pública y privada.
- Por parte de la entidad local se propone la difusión de fiches publicitarios y capacitaciones relacionadas a temas ambientales se propone promover el cultivo de plantas en zonas destinada a áreas verdes y recreación pública.
- Dejar libre las vías de tránsito al frente a las viviendas, evitando la presencia de obstáculos, por ejemplo: desmontes y autos.
- A través de su Gerencia de Habilitaciones Urbanas y Edificaciones se realice capacitaciones periódicas sobre el proceso de cómo obtener licencia de Habilitación Urbana y Licencia de las Christian Issoc Mario.

R J Nº 141-2021-CENEPREDIS

EVALUADOR DE RIESGOS

R.S. Nº 145-2021-CENEPREDIJ



Edificaciones, así como capacitar sobre sus edificaciones teniendo en cuenta la GRD; así como promover la participación y difusión del trabajo comunitario para la limpieza de las vías de acceso y calles.

 La autoridad competente debe restringir y regular la construcción de viviendas mayores a los 2 pisos a través del establecimiento de una zonificación con parámetros urbanísticos asociados a las zonas de alto riesgo de desastre, a fin de reducir el nivel de hacinamiento y por consiguiente reducir el nivel de riesgo.





CAPITULO VI: CONTROL DEL RIESGO



CAPITULO VI: CONTROL DEL RIESGO

6.1. ACEPTABILIDAD O TOLERANCIA DEL RIESGO

a) Valoración de consecuencias

Cuadro 122: Valoración de consecuencias

VALOR	NIVEL	DESCRIPCIÓN
4	Muy alta	Las consecuencias debido al impacto de un fenómeno natural son catastróficas.
3	Alta	Las consecuencias debido al impacto de un fenómeno natural pueden ser gestionadas con apoyo externo.
2	Medio	Las consecuencias debido al impacto de un fenómeno natural son gestionadas con los recursos disponibles.
1	Baja	Las consecuencias debido al impacto de un fenómeno natural pueden ser gestionadas sin dificultad.

Fuente: CENEPRED.

Del cuadro anterior obtenemos que las consecuencias debido al impacto de un fenómeno natural son catastróficas., es decir, posee el nivel 4 – MUY ALTA.

b) Valoración de frecuencias

Cuadro 123: Valoración de la frecuencia de la ocurrencia

VALOR	NIVEL	DESCRIPCIÓN		
4	Muy alta	Puede ocurrir en la mayoría de las circunstancias.		
3	Alta	Puede ocurrir en periodos de tiempo medianamente largos según las circunstancias.		
2	Medio	Puede ocurrir en periodos de tiempo largos según las circunstancias.		
1	Baja	Puede ocurrir en circunstancias excepcionales.		

Fuente: CENEPRED.

Del cuadro anterior, se obtiene que el evento Deslizamiento puede ocurrir en periodos de tiempo según las circunstancias largos según las circunstancias, es decir, posee el nivel 2 – MEDIO.



c) Nivel de consecuencia y daños

Cuadro 124: Nivel de consecuencia y daños

CONSECUENCIAS	NIVEL	ZONA DE CONSECUENCIAS Y DAÑOS			
Muy Alta	4	Alta	Muy Alta	Muy Alta	Muy Alta
Alta	3	Alta	Alta	Muy Alta	Muy Alta
Media	2	Medio	Alta	Alta	Alta
Bajo	1	Medio	Medio	Alta	Alta
	Nivel	1	2	3	4
	Frecuencia	Bajo	Media	Alta	Muy Alta

Fuente: CENEPRED.

De lo anterior se obtiene que el nivel de consecuencia y daño es de nivel 3 – ALTA.

d) Aceptabilidad y/o Tolerancia

Cuadro 125: Nivel de aceptabilidad y/o tolerancia

VALOR	DESCRIPTOR	DESCRIPCIÓN
4	Inadmisible	Se debe aplicar inmediatamente medidas de control físico y realizar la transferencia de riesgos.
3	Inaceptable	Se deben desarrollar actividades <u>inmediatas y</u> <u>prioritarias</u> para el manejo de riesgos.
2	Tolerable	Se deben desarrollar actividades para el manejo de riesgos.
1	Aceptable	El riesgo no representa un peligro significativo.

Fuente: CENEPRED.

De lo anterior se obtiene que la inaceptable y/o tolerancia del riesgo del área de influencia en la zona de estudio es de nivel ALTO – Inaceptable. La matriz de aceptabilidad y/o tolerancia del riesgo se indica a continuación:

Cuadro 126: Matriz de Aceptabilidad y/o Tolerancia

Riesgo inaceptable	Riesgo inadmisible	Riesgo inadmisible	Riesgo inadmisible
Riesgo inaceptable	Riesgo inaceptable	Riesgo inadmisible	Riesgo inadmisible







Riesgo tolerable	riesgo inaceptable	Riesgo inaceptable	Riesgo inaceptable
Riesgo tolerable	Riesgo tolerable	Riesgo inaceptable	Riesgo inaceptable

Fuente: CENEPRED.

e) Prioridad de intervención

Cuadro 127: Prioridad de intervención

VALOR	DESCRIPTOR	NIVEL DE PRIORIZACIÓN
4	Inadmisible	I
3	Inaceptable	II
2	Tolerable	III
1	Aceptable	IV

Fuente: CENEPRED.

Del cuadro anterior se obtiene que el nivel de priorización es de I, en el cual se deben aplicar inmediatamente medidas urgentes de control físico y realizar la transferencia de riesgos.







CAPITULO VII: CONCLUSIONES Y RECOMENDACIONES





CONCLUSIONES Y RECOMENDACIONES

7.1. CONCLUSIONES

- ✓ Se realizó el análisis y la caracterización del peligro por sismo mediante una metodología semi-cuantitativa, complementada con información técnica proveniente de instituciones especializadas. Adicionalmente, se evaluó el nivel de peligro utilizando fuentes existentes y se llevó a cabo un análisis de la vulnerabilidad a nivel de lote, a través de encuestas aplicadas a la población en abril de 2025.
- ✓ El A.H. Virgen de Guadalupe se ubica dentro de una unidad geológica que comprende las siguientes subunidades: depósito eólico (Q-eo) y depósito coluvio-aluvial (Q-clal). Asimismo, en cuanto a la unidad geomorfológica, se identifican las siguientes subunidades: lomada en roca sedimentaria (L-rs), lomada en roca volcanosedimentaria (L-rvs) y manto de arena (MN-ar).
- ✓ El nivel de riesgo resultante de los lotes en el AA.HH. Virgen de Guadalupe corresponde al nivel ALTO Y MUY ALTO.
- ✓ El cálculo de efectos probables ante el impacto del peligro por Sismo, asciende a un estimado total de S/ S/ 1 735 800.00 (un millón setecientos treinta y cinco mil ochocientos soles).

7.2. RECOMENDACIONES

- ✓ Se recomienda implementar las medidas de prevención y reducción del riesgo (medidas estructurales y no estructurales), desarrolladas en el capítulo 5.3.
- ✓ Fomentar el concepto de Gestión de Riesgo de Desastres en el AAHH Virgen de Guadalupe y que la población comprenda el riesgo por Sismo ante una probabilidad 8.0 a 9.0 grados de magnitud, las entidades competentes y las organizaciones de base deben trabajar de manera coordinada para lograr concientizar a la población sobre este peligro.
- ✓ Incorporar la gestión del riesgo de desastres en las inversiones públicas, para ello, los formuladores de gestión pública deben ser capacitados en gestión del riesgo de desastres; a fin de conocer los mecanismos e importancia de reducir la







probabilidad de que una situación de riesgo se convierta en un desastre, y garantizar la sostenibilidad del mismo.

- ✓ Tener en cuenta los resultados del presente informe para la actualización y/o elaboración de los planes PPRRD, así como para proyectos de inversión pública y privada entre otros estudios de importancia.
- ✓ Se deben considerar otros estudios como de geotecnia y otros escenarios multipeligros de la zona o/a nivel de distrito.
- ✓ Se recomienda establecer franjas de seguridad o zonas de amortiguamiento entre la cantera y las viviendas, las cuales deben mantenerse libres de construcciones y actividades humanas. Estas zonas deben estar debidamente delimitadas y señalizadas, identificando claramente los sectores de alto riesgo, con el fin de prevenir posibles invasiones o asentamientos informales. Asimismo, se debe prohibir la construcción de nuevas viviendas o ampliaciones dentro de esta franja de seguridad, salvo que se cuente con estudios geotécnicos y estructurales especializados que validen su factibilidad y seguridad.
- ✓ Es fundamental capacitar a la población sobre los peligros geológicos asociados a la actividad de cantera, tales como deslizamientos, desprendimientos de rocas o vibraciones. Además, se deben realizar simulacros periódicos de evacuación que preparen a la comunidad para actuar de manera organizada ante un evento de emergencia.





BIBLIOGRAFÍA

INGEMMET. (07/2024). Evaluación de Peligros Geológicos por caída de rocas en el Asentamiento Humano Los Jazmines. Obtenido de

 $\frac{https://sigrid.cenepred.gob.pe/sigridv3/storage/biblioteca//17858\ informe-tecnico-n0a7527-evaluacion-del-peligro-geologico-por-caida-de-rocas-en-el-asentamiento-humano-los-jazmines-distrito-mi-peru-provincia-constitu.pdf$

CENEPRED. (2019-2022). Plan de prevención y reducción del riesgo de desastres del distrito de comas. Obtenido de

http://sigrid.cenepred.gob.pe/sigridv3/storage/biblioteca//8023 plan-de-prevencion-y-reduccion-del-riesgo-de-desastres-del-distrito-de-comas-2019-2022.pdf

CENEPRED. (09/2017). Escenario de Riesgo por Sismo y Tsunami, para Lima Metropolitana y la Provincia Constitucional del Calla. Lima. Obtenido de http://sigrid.cenepred.gob.pe/sigridv3/storage/biblioteca//5192 escenario-de-riesgo- porsismo-y-tsunami-para-lima-metropolitana-y-la-provincia-constitucional-del- callao.pdf

CENEPRED. (09/2019). Escenario de riesgo por Sismo y Tsunami, para Lima Metropolitana y la provincia Constitucional del Callao. Lima. Obtenido de https://sigrid.cenepred.gob.pe/sigridv3/storage/biblioteca//9901_escenario-de-riesgo-por-sismo-y-tsunami-para-lima-metropolitana-y-la-provincia-constitucional-del-callao.pdf

CENEPRED. (2014). Manual para la evaluación de riesgos originados por fenómenos naturales (Vol. 02 Versión). Obtenido de https://www.cenepred.gob.pe/web/wp-content/uploads/Guia_Manuales/Manual-Evaluacion-de-Riesgos_v2.pdf

CENEPRED. (2015). Manual para la Evaluación de Riesgos Originados por Fenómenos Naturales – 2da Versión. Lima: CENEPRED.

IGP. (2014). Escenario de Sismo y Tsunami en el Borde Occidental de la Región Central del Perú. Lima. Obtenido de https://www.indeci.gob.pe/wp-content/uploads/2019/01/fil20140926131512.pdf

INDECI. (2017). Escenario sísmico para Lima Metropolitana y Callao: Sismo 8.8Mw. Lima. Obtenido de https://www.indeci.gob.pe/wp-content/uploads/2019/01/201711231521471.pdf

INDECI. (2019). Plan de contingencia Nacional ante sismo de gran magnitud seguido de Tsunami frente a la Costa Central del Perú. Lima. Obtenido de http://www.pcm.gob.pe/wp-content/uploads/2019/05/RM-N-187-2019-PCM.pdf

INGEMMET. (01/2010). Inspección Geológica del flujo de lodo del 02 de enero del 2010 que afectó al sector de Collique. Lima, Lima, Perú. Obtenido de http://sigrid.cenepred.gob.pe/docs/PARA%20PUBLICAR/INGEMMET/Inspeccion%20 geologica%20flujo%20de%20lodo%20del%2002-02-2010,%20sector%20Collique.pdf

MML. (2015). Plan de Prevención y reducción de Riesgo de desastres de Lima Metropolitana 2015-2018.

Obtenido de https://www.munlima.gob.pe/images/planes-contingencia/Plan%20%20de%20Prevencion%20y%20Reduccion%20de%20Riesgos%20de%20Desastres%20de%20Lima%20Metropolitana%202015-2018.pdf MVCS.

(2019). Manual de Gestión de riesgos y desastres, Anexo 3. Lima.

SIGRID. (2024). Informe de evaluación de riesgo por derrumbe y caída de roca en las laderas de los cerros del sector catastral 38 de la zona 06: horacio zevallos, distrito de ate, provincia de lima, departamento de Lima. Obtenido de

https://sigrid.cenepred.gob.pe/sigridv3/storage/biblioteca//17801 informe-de-evaluacion-de-riesgo-de-desastres-por-derrumbe-y-caida-de-roca-en-las-laderas-de-los-cerros-del-sector-catastral-38-de-la-zona-6-horacio-ze.pdf







ANEXO

Anexo I: Panel Fotográfico - Abril 2025





En la imagen se observa que la vivienda está construida con ladrillo tipo pandereta, un material no portante que, por sí solo, no proporciona resistencia estructural frente a eventos sísmicos, especialmente si no cuenta con elementos de confinamiento adecuados como columnas y vigas de concreto armado debidamente diseñadas y ejecutadas. Esta condición evidencia una alta vulnerabilidad sísmica, ya que la ausencia o deficiencia de estos elementos estructurales compromete seriamente la estabilidad de la edificación ante un sismo. Además, se verifica que la construcción no cumple con lo establecido en el Reglamento Nacional de Edificaciones (RNE), particularmente con lo señalado en la Norma Técnica E.030 – Diseño Sismorresistente, lo cual incrementa significativamente el riesgo para sus ocupantes.



Se puede apreciar en la imagen vivienda sin las columnas y con uso de ladrillo tipo pandereta (no estructural): Se está utilizando ladrillo pandereta, que es un material no portante, es decir, no adecuado para estructuras principales (muros portantes), ya que no resiste cargas verticales ni fuerzas sísmicas de forma segura.







Las viviendas expuestas en zona de Cantera donde se puede apreciar que no existe señalización del área de cantera como zona de muy alto riesgo no mitigable, si es que no es viable realizar obras de estabilización. Restringir nuevas construcciones en esta zona.





Durante las entrevistas en campo, se evidenció que una parte significativa de la población no cuenta con conocimientos adecuados sobre la Gestión del Riesgo de Desastres (GRD). Esto se refleja en el desconocimiento de las zonas peligrosas, la falta de preparación para eventos sísmicos y la ausencia de medidas de autoprotección en sus viviendas.











En las imágenes se observa las viviendas presenta alta vulnerabilidad estructural y geotécnica, al estar construida sobre un talud con base de rocas sueltas sin cimentación técnica, y utilizar materiales inadecuados como ladrillo pandereta sin elementos de refuerzo. Este tipo de construcción, común en zonas urbano-marginales, no cumple con el Reglamento Nacional de Edificaciones (RNE) y representa un riesgo inminente ante sismos o lluvias que puedan provocar deslizamientos.





En la imagen se observa la ausencia de muros de contención, sistemas de drenaje y estructuras de protección de taludes. La vegetación es escasa, lo que limita la estabilidad natural del suelo. Además, las viviendas están ubicadas sobre una ladera con pendiente pronunciada e inestable, aparentemente sin estudios geotécnicos previos que respalden su viabilidad constructiva. Esta situación incrementa significativamente el riesgo de deslizamientos y pone en peligro la seguridad de la población asentada en la zona.





Se debe Reubicar los contenedores de basura en una zona exclusiva y señalizada o en puntos estratégicos, fuera de la vereda. También se debe mejorar el ordenamiento del espacio público para garantizar la accesibilidad universal y la convivencia vial segura.





El ladrillo King Kong de 18 huecos es una opción adecuada construir estructuras resistentes a sismos en el Perú, cuando se usa correctamente y cumple con los estándares técnicos. Su efectividad depende del uso adecuado en la estructura: muros confinados con concreto armado, y diseño según el Reglamento Nacional Edificaciones (Norma E.030, Diseño Sismorresistente).

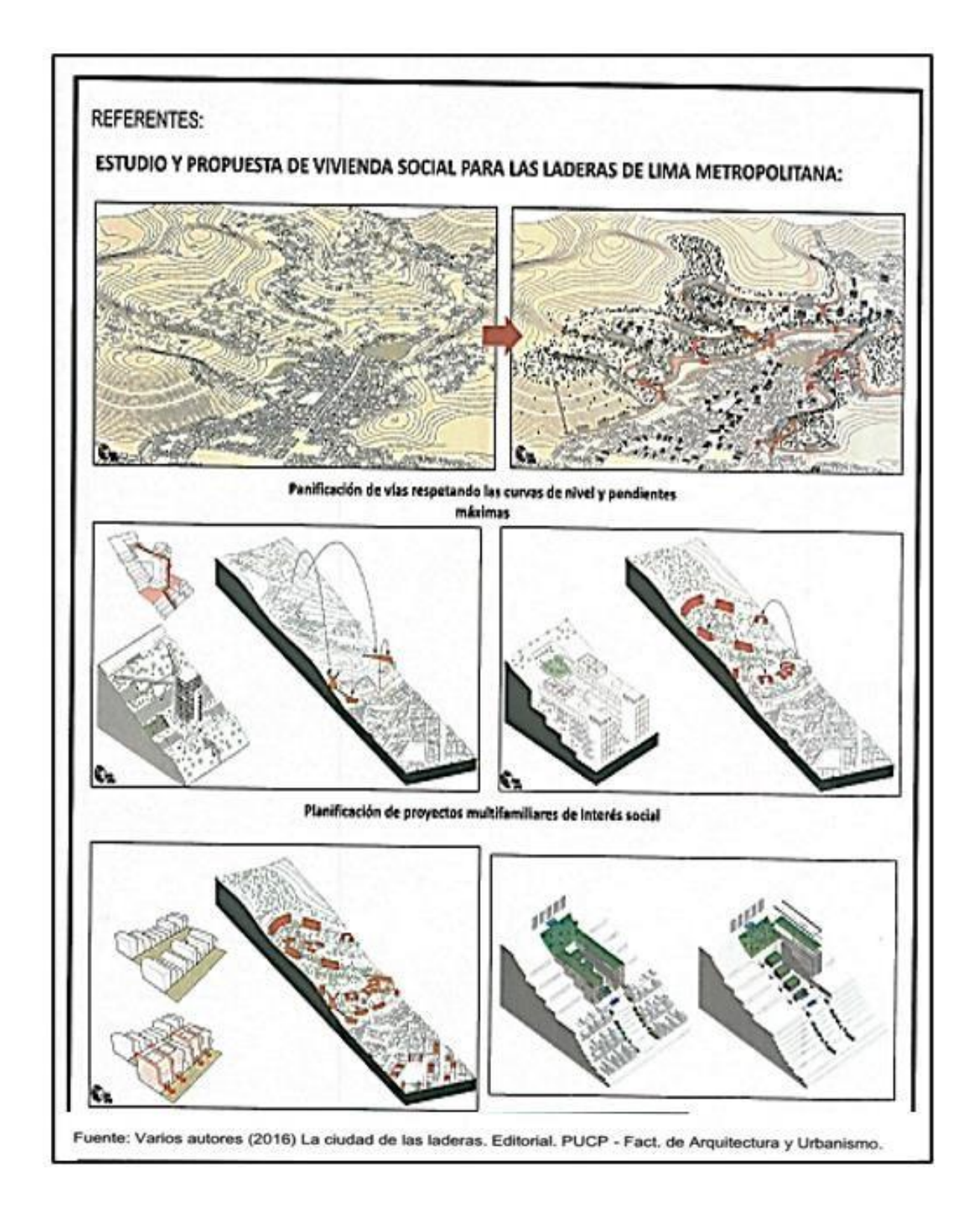
El ladrillo pandereta no esta permitido para muros portantes en ningún piso de la vivienda

Para garantizar una mayor seguridad estructural, el ladrillo King Kong es la mejor opción en comparación con el ladrillo pandereta, siempre que se emplee correctamente dentro de un sistema estructural reforzado y cumpliendo con las normativas técnicas vigentes. Es importante considerar las características técnicas de los ladrillos para garantizar la seguridad y resistencia de las construcciones, especialmente en zonas sísmicas.

Evaluador de Presgos

R J Nº 141-2021-CENEPREDIA











REFERENTES:

PROYECTO DE HABILITACION URBANA SOSTENIBLE:













Fuente: Arq. Bachiller Kateryn Cossio, Arq. Susy Muñoz (2012), Proyecto de Tesis "Habilitación Urbano Sostenible" Distrito Villa María del Triunfo -Lima, Perú...







GRÁFICOS, MAPAS Y CUADROS

A. Gráficos

GRAFICO 1: Tipo de vivienda GRAFICO 2: Número de pisos GRAFICO 3: Estado de conservación

GRAFICO 4: Material de construcción de la vivienda

GRAFICO 5: Grupo Etario GRAFICO 6: Servicios básicos GRAFICO 7: Discapacidad

GRAFICO 8: Actividades económicas

GRAFICO 9: Ingresos

GRAFICO 10: Metodología para determinar el nivel de peligro.

GRAFICO 11: Flujograma general del proceso de análisis de información. GRAFICO 12: Metodología para determinar el nivel de vulnerabilidad

GRAFICO 13: Flujograma de la dimensión Social GRAFICO 14: Flujograma de la dimensión Económica GRAFICO 15: Flujograma de la dimensión Ambiental

GRAFICO 16: Metodología para determinar el nivel de riesgo.

B. Mapas

MAPA 1: Ubicación del Asentamiento Humano Virgen Guadalupe

MAPA 2: Unidades geológicas MAPA 3: Unidades geomorfológicas

MAPA 4: Pendiente s

MAPA 5: Peligro ante deslizamiento MAPA 6: Elementos expuestos

MAPA 7: Vulnerabilidad ante deslizamiento

MAPA 8: Riesgo ante deslizamiento.

C. Cuadros

CUADRO 1: Coordenada UTM CUADRO 2: Grupo Etareo CUADRO 3: Servicios básicos CUADRO 4: Discapacidad CUADRO 5: Tipo de vivienda CUADRO 6: Número de pisos

CUADRO 7: Estado de conservación

CUADRO 8: Material de construcción de la vivienda

CUADRO 9: Actividades económicas

CUADRO 10: Ingresos

CUADRO 11: Unidades geológicas dentro del área de estudio (AA. HH VIRGEN DE GUADALUPE

CUADRO 12: Unidades geomorfológicas dentro del área de estudio (AA. HH VIRGEN DE GUADALUPE

CUADRO 13: Rango de pendiente dentro del área de estudio (AA. HH VIRGEN DE GADALUPE

CUADRO 14: Registro histórico de sismos de mayor magnitud en Lima

CUADRO 15: Escala de intensidades de Mercalli Modificada

CUADRO 16: Variables del peligro por caída de rocas

CUADRO 17: Parámetro de evaluación

CUADRO 18: Matriz de comparación de pares del parámetro de evaluación velocidad de desplazamiento de masas

CUADRO 19: Matriz de normalización del parámetro de evaluación velocidad de desplazamiento de masas





- CUADRO 20: Relación de consistencia
- CUADRO 21: Matriz de análisis de susceptibilidad
- CUADRO 22: Factor desencadenante
- CUADRO 23: Matriz de comparación de pares del factor desencadenante (magnitud sismo).
- CUADRO 24: Matriz de normalización del factor desencadenante (magnitud sismo).
- CUADRO 25: Relación de consistencia
- CUADRO 26: Matriz de comparación de pares del factor condicionante Volumen
- CUADRO 27: Matriz de normalización del factor condicionante Volumen
- CUADRO 28: Relación de consistencia
- CUADRO 29: Matriz de comparación de pares del factor condicionante pendiente.
- CUADRO 30: Matriz de normalización del factor condicionante pendiente.
- CUADRO 31: Relación de consistencia
- CUADRO 32: Matriz de comparación de pares del factor condicionante unidades geomorfológicas.
- CUADRO 33: Matriz de normalización del factor condicionante unidades geomorfológicas.
- CUADRO 34: Relación de consistencia
- CUADRO 35: Matriz de comparación de pares del factor condicionante unidades geológicas.
- CUADRO 36: Matriz de normalización del factor condicionante unidades geológicas.
- CUADRO 37: Relación de consistencia
- CUADRO 38: Matriz de comparación de pares de los factores condicionantes
- CUADRO 39: Matriz de normalización de los factores condicionantes
- CUADRO 40: Relación de consistencia
- CUADRO 41: Niveles de peligro
- CUADRO 42: Estratificación del peligro
- CUADRO 43: Elementos expuestos
- CUADRO 44: Parámetro de la dimensión social
- CUADRO 45: Ponderación de la fragilidad social
- CUADRO 46: Matriz de comparación de pares
- CUADRO 47: Matriz de normalización
- CUADRO 48: Relación de consistencia
- CUADRO 49: Matriz de comparación de pares
- CUADRO 50: Matriz de normalización
- CUADRO 51: Relación de consistencia
- CUADRO 52: Ponderación de la resiliencia social
- CUADRO 53: Matriz de comparación de pares
- CUADRO 54: Matriz de normalización
- CUADRO 55: Relación de consistencia
- CUADRO 56: Parámetro de la dimensión económica
- CUADRO 57: Ponderación de la exposición económica
- CUADRO 58: Matriz de comparación de pares
- CUADRO 59: Matriz de normalización
- CUADRO 60: Relación de consistencia
- CUADRO 61: Matriz de comparación de pares
- CUADRO 62: Matriz de normalización
- CUADRO 63: Relación de consistencia
- CUADRO 64: Matriz de comparación de pares
- CUADRO 65: Matriz de normalización
- CUADRO 66: Relación de consistencia
- CUADRO 67: Matriz de comparación de pares
- CUADRO 68: Matriz de normalización
- CUADRO 69: Relación de consistencia
- CUADRO 70: Matriz de comparación de pares
- CUADRO 71: Matriz de normalización
- CUADRO 72: Relación de consistencia
- CUADRO 73: Ponderación de la fragilidad económica
- CUADRO 74: Matriz de comparación de pares







CUADRO 75: Matriz de normalización

CUADRO 76: Relación de consistencia

CUADRO 77: Matriz de comparación de pares

CUADRO 78: Matriz de normalización

CUADRO 79: Relación de consistencia

CUADRO 80: Matriz de comparación de pares

CUADRO 81: Matriz de normalización

CUADRO 82: Relación de consistencia

CUADRO 83: Matriz de comparación de pares

CUADRO 84: Matriz de normalización

CUADRO 85: Relación de consistencia

CUADRO 86: Matriz de comparación de pares

CUADRO 87: Matriz de normalización

CUADRO 88: Relación de consistencia

CUADRO 89: Matriz de comparación de pares

CUADRO 90: Matriz de normalización

CUADRO 91: Relación de consistencia

CUADRO 92: Matriz de comparación de pares

CUADRO 93: Matriz de normalización

CUADRO 94: Relación de consistencia

CUADRO 95: Ponderación de la resiliencia económica

CUADRO 96: Matriz de comparación de pares

CUADRO 97: Matriz de normalización

CUADRO 98: Relación de consistencia

CUADRO 99: Matriz de comparación de pares

CUADRO 100: Matriz de normalización

CUADRO 101: Relación de consistencia

CUADRO 102: Parámetro de la dimensión ambiental

CUADRO 103: Ponderación de la exposición ambiental

CUADRO 104: Matriz de comparación de pares

CUADRO 105: Matriz de normalización

CUADRO 106: Relación de consistencia

CUADRO 107: Ponderación de la fragilidad ambiental

CUADRO 108: Matriz de comparación de pares

CUADRO 109: Matriz de normalización

CUADRO 110: Relación de consistencia

CUADRO 111 Ponderación de la resiliencia ambiental

CUADRO 112: Matriz de comparación de pares

CUADRO 113: Matriz de normalización

CUADRO 114: Relación de consistencia

CUADRO 115: Niveles de vulnerabilidad ante Sismo

CUADRO 116: Estratificación de la vulnerabilidad ante Sismo

CUADRO 117: Niveles de riesgo

CUADRO 118: Matriz de riesgo

CUADRO 119: Estratificación del riesgo ante Sismo

CUADRO 120: Efectos probables por Sismo en el área de estudio.

CUADRO 121: Lista de lotes con nivel de riesgo ALTO y MEDIO identificados en el área de estudio.

CUADRO 122: Valoración de consecuencias

CUADRO 123: Valoración de la frecuencia de ocurrencia

CUADRO 124: Nivel de consecuencia y daños

CUADRO 125: Nivel de aceptabilidad y/o tolerancia

CUADRO 126: Matriz de aceptabilidad y/o tolerancia

CUADRO 127: Prioridad de intervención







D. Imagen

IMAGEN N.º 1: Se evidencio rajadura en zona de cantera producto del sismo registrado el día 15 de julio.

IMAGEN N.º 2: Reporte complementario sismo de magnitud 6.1 con epicentro en el mar a 30 km al so de la provincia constitucional del callao – Lima.

